

UNIVERSIDAD NACIONAL AUTONOMA DE MEXICO  
FACULTAD DE QUIMICA

BALANCES DE ENERGIA EN  
FLUJO DE FLUIDOS



T E S I S

Que para obtener el Título de  
INGENIERO QUIMICO  
P r e s e n t a

JUAN CARLOS FERNANDEZ SOSSA

México, D. F.

1977



Universidad Nacional  
Autónoma de México



**UNAM – Dirección General de Bibliotecas**  
**Tesis Digitales**  
**Restricciones de uso**

**DERECHOS RESERVADOS ©**  
**PROHIBIDA SU REPRODUCCIÓN TOTAL O PARCIAL**

Todo el material contenido en esta tesis esta protegido por la Ley Federal del Derecho de Autor (LFDA) de los Estados Unidos Mexicanos (México).

El uso de imágenes, fragmentos de videos, y demás material que sea objeto de protección de los derechos de autor, será exclusivamente para fines educativos e informativos y deberá citar la fuente donde la obtuvo mencionando el autor o autores. Cualquier uso distinto como el lucro, reproducción, edición o modificación, será perseguido y sancionado por el respectivo titular de los Derechos de Autor.

...AS Tesis 1977  
...BO M-~~173~~ 1476  
...ECHA \_\_\_\_\_  
...REC \_\_\_\_\_  
... \_\_\_\_\_



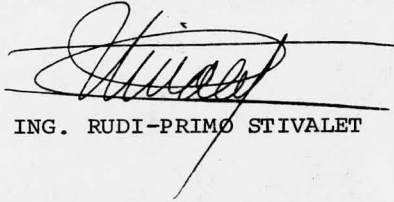
JURADO ASIGNADO

PRESIDENTE: PROF. RUDI P. STIVALET CORRAL  
V O C A L: " CARLOS BAZAN VILLEGAS  
SECRETARIO: " GUILLERMO ALCAYDE LACORTE  
1er. SUPLENTE: " CLAUDIO A. AGUILAR MARTINEZ  
2do. SUPLENTE: " ENRIQUE BRAVO MEDINA

SITIO DONDE SE DESARROLLO EL TEMA: MEXICO, D. F.



SUSTENTANTE: JUAN CARLOS FERNANDEZ SOSSA



ASESOR DEL TEMA: ING. RUDI-PRIMO STIVALET

CON AGRADECIMIENTO A MIS PADRES.

# I N D I C E

	Pág.
INTRODUCCION.....	1
NOMENCLATURA.....	2
CAPITULO 1.- PROPIEDADES DE LOS FLUIDOS	
- definición de fluido.....	6
- tipos de flúidos.....	8
- presión de vapor.....	9
- densidad.....	10
- densidad de los líquidos.....	10
- densidad de los gases.....	12
- densidad relativa.....	12
- volúmen específico.....	15
- capacidad calorífica.....	15
- tensión superficial.....	17
- transporte molecular.....	17
- viscosidad absoluta.....	18
- viscosidad cinemática.....	20
- conductividad térmica.....	21
- coeficiente de difusividad.....	21
CAPITULO 2.- PRESION Y ESTATICA DE LOS FLUIDOS.	
- unidades y escalas de medida de la presión.....	24
- deducción de la ecuación fundamental de la hidrostática.....	24
- aplicaciones de los flúidos hidrostáticos.....	26
- la ecuación barométrica.....	26
- manómetros.....	27
CAPITULO 3.- EL TRANSPORTE MOLECULAR Y SU APLICACION A LOS FLUIDOS.	
- ecuación general del transporte molecular.....	30
- definición de estado estable.....	34
- aplicación al transporte de cantidad de movimiento.....	35
- transferencia simple en el estado estable.....	40
- transferencia de cantidad de movimiento.....	40
- transferencia de propiedad con generación interna.....	43
- transferencia de cantidad de movimiento con generación interna.....	44

- aplicación a un fluido incompresible en un ducto circular.....	48
CAPITULO 4.- TEORIA DEL FLUJO DE FLUIDOS EN TUBERIAS	
- flujo laminar y flujo turbulento.....	52
- otros tipos de flujo.....	54
- teoría de la longitud de mezclado de Prandtl.....	57
- esfuerzos cortantes laminar y turbulento	58
- ecuaciones logarítmicas de distribución de velocidades.....	59
- distribución universal de velocidades...	61
- teoría de la membrana de esfuerzo.....	64
- deducción del número de Reynolds y del factor de fricción.....	65
- teoría de la capa límite.....	69
CAPITULO 5.- BALANCES DE ENERGIA EN FLUJO DE FLUIDOS.	
- la ley de la conservación de la materia y la ecuación de continuidad.....	72
- velocidad media.....	72
- balance de energía.....	75
- tipos de energía.....	75
- ecuación de Bernoulli.....	78
- la fricción en los fluidos.....	78
- análisis de las pérdidas por fricción...	80
- trabajo de la bomba.....	83
- la rugosidad.....	83
- pérdidas por fricción en expansiones súbitas.....	84
- pérdidas por contracción súbita.....	85
- número de Kármán.....	85
- longitud equivalente total.....	88
- tuberías, válvulas y accesorios.....	88
CAPITULO 6.- MEDIDORES DE FLUJO.	
- tipos de medidores.....	119
- medidor Venturi.....	119
- medidor de orificio.....	123
- tubo de Pitot.....	128
- tobera.....	130
CAPITULO 7.- TRANSPORTE DE FLUIDOS.	
- tipos de bombas.....	133
- bombas centrífugas.....	134
- bombas centrífugas tipo turbina.....	136

	Pág.
- bombas reciprocantes.....	136
- bombas rotatorias.....	138
- bombas en serie.....	138
- bombas en paralelo.....	139
- método de las cabezas para calcular el -- trabajo de una bomba.....	141
- cabeza neta de succión positiva y la po-- tencia al freno.....	142
CAPITULO 8.- BALANCES DE ENERGIA EN FLUJO DE FLUIDOS - COMPRESIBLES.	
- flujo de gases a baja y media velocidad....	145
- flujo de gases a alta velocidad.....	146
- ecuación de Weymouth.....	148
- número de Mach.....	150
- velocidad del sonido.....	150
- temperatura estacionaria.....	151
- procesos de flujo compresible.....	151
- toberas.....	151
- flujo isentrópico.....	152
- flujo adiabático.....	154
- flujo isotérmico.....	156
CAPITULO 9.- FLUJO EN DOS FASES LIQUIDO - GAS.	
- tipos de trayectorias de flujo líquido - -- gas para tuberías horizontales.....	165
- cálculo de la caída de presión.....	166
- correlación de Lockhart - Martinelli.....	166
- correlación de Baker.....	167
BIBLIOGRAFIA.....	173



## INTRODUCCION

La tesis que se presente pretende que sea de máxima utilidad principalmente a los estudiantes técnicos que abordan por primera vez el tema de flujo de fluidos.

Como es de conocimiento general existe una escasez de libros sobre ingeniería química en español y el estudiante afronta el problema de que la información sobre -- flujo de fluidos se encuentra dispersa siendo difícil encontrar en un solo texto el material que se imparte en la facultad de química.

En la presente tesis se ha reunido material de diversos libros y publicaciones que versan sobre el tema y se los ha enfocado para una fácil comprensión.

Se tienen algunos problemas de ejemplo en el capítulo sobre balances de energía en los que se plantean primero las ecuaciones a utilizar; estos problemas están resueltos a un nivel elemental para mejor entendimiento del estudiante. La nomenclatura que se utiliza es la que generalmente se maneja en las operaciones unitarias y es la que imparten la mayoría de los maestros de la Facultad.

Quiero agradecer la gran ayuda que me prestó el -- Ing. Químico Rudi P. Stivalet destacado maestro de la Facultad de Química.

## NOMENCLATURA

A	área de flujo en $m^2$ .
BHP	potencia al freno de la bomba en HP.
C	coeficiente del orificio
$C_o$	coeficiente del orificio en la garganta
$C_p$	capacidad calorífica a presión constante en $Kcal/Kg^\circ C$ .
$C_v$	Capacidad calorífica a volumen constante en $Kcal/Kg^\circ C$ .
$C_v$	Coefficiente del Venturi
D	diámetro nominal del tubo en in.
$D_e$	diámetro equivalente en in.
$D_i$	diámetro interno del tubo en in.
E	energía interna en $Kcal/Kg$ .
$f'$	factor de fricción fanning adimensional
$f_D$	factor de fricción D'arcy adimensional
F	fuerza en Newtons
$F_e$	factor de elevación
$F_{Re}$	corrección por viscosidad
G	flujo másico de gas en $Kg/hr$ .
$\underline{G}$	flujo volumétrico de gas en $m^3/hr$ .
$G_u$	masa velocidad de gas en $Kg/m^2-hr$ .
h	altura promedio de todas las elevaciones verticales en ft.
H	entalpia en $Kcal/Kg$ .
$H_D$	cabeza de descarga de la bomba en ft. de líquido
$H_s$	entalpia estacionaria en $Kcal/Kg$ .

$H_S$	cabeza de succión de la bomba en ft de líquido
$H_T$	cabeza total de la bomba en ft de líquido
$J$	equivalente mecánico de calor $778 \frac{\text{lb} \cdot \text{ft}}{\text{BTU}}$
$K$	conductividad térmica en Kcal/hr.m.°C
$L$	flujo másico de líquido en Kg/hr.
$\underline{L}$	flujo volumétrico de líquido en m <sup>3</sup> /hr.
$Le$	longitud equivalente del tubo en m.
$L_u$	masa velocidad de líquido en Kg/hr-m <sup>2</sup>
$L/D$	longitud equivalente de una resistencia al flujo en diámetro metros de tubería
$m$	masa en gr.
$n$	número de elevaciones verticales en la tubería
$n$	número de moles
$N_m$	velocidad de difusión molar en Kgmol/hr.
$N_{Ma}$	número de Mach. adimensional
$N_{Re}$	número de Reynolds adimensional
$P$	presión en $\frac{\text{Kg}}{\text{cm}^2}$
$P^\circ$	presión de vapor en $\frac{\text{Kg}}{\text{cm}^2}$
$PM$	peso molecular Kg/Kgmol
$q$	velocidad de flujo de calor en Kcal/hr
$q'$	calor transferido desde los alrededores en Kcal/hr
$r$	radio del tubo en cm
$r_H$	radio hidráulico en cm

$R_0$	constante de los gases en atm-lit/mol °K
$S$	área de la sección transversal del tubo en in <sup>2</sup> , m <sup>2</sup>
$So$	área de la sección transversal del orificio en in <sup>2</sup>
$t$	tiempo en seg.
$T$	temperatura en °C
$Ts$	temperatura estacionaria en °F
$\bar{u}$	velocidad lineal media en m/seg
$u_0$	velocidad en el orificio en m/seg
$u_s$	velocidad del sonido en m/seg
$v$	volumen en litros
$\tilde{v}$	volumen molar en litros/mol
$V$	volumen específico en m <sup>3</sup> /Kg
$V_m$	volumen molecular de un gas
$w$	trabajo efectuado por el fluido en Kcal
$w'f$	trabajo de flecha de la bomba en HP
$Z$	factor de compresibilidad adimensional
$\Delta P_{Tph}$	caída de presión total debido a la fricción en Psi/ft.
$\Delta P_{PT}$	caída de presión de la porción horizontal en Psi/ft.
$\beta$	relación de diámetros $D_2/D_1$
$D$	coeficiente de difusividad en cm <sup>2</sup> /seg.
$\epsilon$	rugosidad absoluta en ft.
$\epsilon/D$	rugosidad relativa adimensional
$\tau$	esfuerzo cortante
$\rho$	densidad en Kg/m <sup>3</sup>

- $\rho_r$  densidad relativa adimensional  
 $\sigma$  tensión superficial en dina/cm.  
 $\mu$  viscosidad absoluta en centipoises  
 $\nu$  viscosidad cinemática en centistokes

## CAPITULO I

## PROPIEDADES DE LOS FLUIDOS

DEFINICION DE FLUIDO.- Un fluido es una sustancia que se deforma continuamente cuando se somete a una tensión de -- cortadura, por muy pequeña que ésta sea. Una fuerza cortante es la componente tangente a la superficie de la fuerza y esta fuerza, dividida por el área de la superficie, es la tensión de cortadura media sobre el área considerada. La tensión de -- cortadura en un punto es el límite del cociente de la fuerza -- cortante por el área cuando el área se reduce a cero en el -- punto.

Representando una sustancia que se ha colocado entre -- dos placas paralelas muy próximas lo suficientemente largas -- para que puedan despreciarse las condiciones en los bordes, -- figura 1.1. Si la placa inferior está quieta y sobre la supe -- rior se aplica una fuerza  $F$ , que origina una tensión de corta -- dura  $F/A$  en la sustancia colocada entre las placas; donde  $A$  -- es el área de la placa superior. Cuando esta fuerza  $F$ , por -- muy pequeña que sea, hace mover a la lámina superior con una -- velocidad constante, siempre que ésta no sea nula. Podemos de -- cir que la sustancia situada entre las láminas es un fluido. -- El fluido en inmediato contacto con la pared sólida tiene la -- misma velocidad que la pared en vista de que no hay ningún -- deslizamiento del fluido sobre la pared. Esto se ha comproba -- do experimentalmente en innumerables ensayos con varios tipos -- de fluidos y materiales de la pared. Volviendo a la figura -- (1.1), el fluido del área  $mnop$  se mueve hasta ocupar una nueva -- posición  $mn'o'p$ , de tal forma que cada partícula fluida se -- mueva paralelamente a la lámina y la velocidad  $u$  varía unifor -- memente desde cero en la placa en reposo hasta  $u$  en la lámina -- superior. La experiencia demuestra que si las otras magnitu -- des se mantienen constantes,  $F$  es directamente proporcional a  $A$  y a  $u$  e inversamente proporcional a  $t$ , de manera que

$$F = \mu \frac{Au}{t} \quad (1.1)$$

donde  $\mu$  es el factor de proporcionalidad que hace interve -- nir el efecto del fluido de que se trate.

Sabemos que la tensión de cortadura es

$$\tau = \frac{F}{A}$$

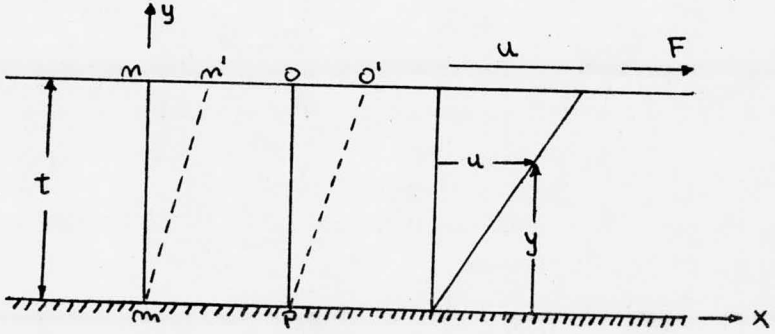


Figura (1.1).- Deformación resultante de la aplicación de una fuerza de cortadura constante.

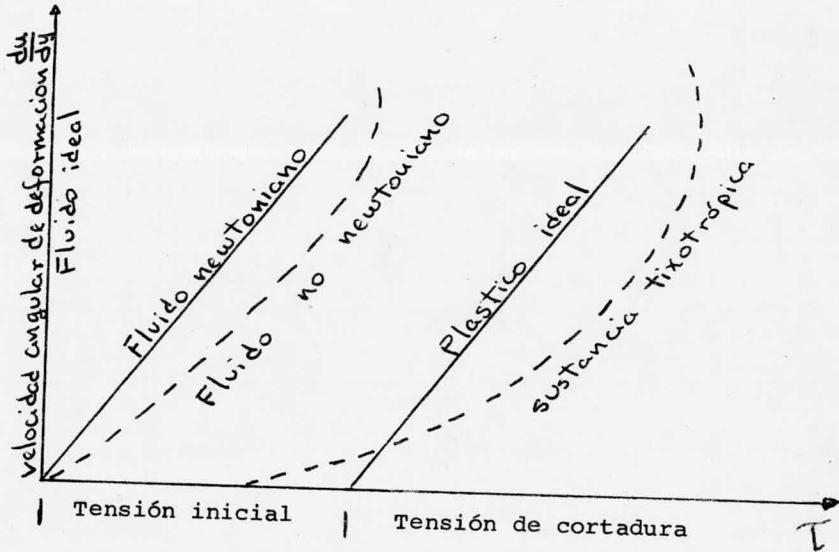


Figura (1.2)

por lo que resulta

$$\tau = \mu \frac{u}{t} \quad (1.2)$$

La relación  $u/t$  es la velocidad angular de la línea  $mn$ , o la velocidad angular de deformación del fluido, en la figura viene a ser la disminución del ángulo  $nmp$  en la unidad de tiempo. La velocidad angular puede también escribirse  $du/dy$  y ambas,  $u/t$  y  $du/dy$ , expresan la variación de la velocidad dividida por la distancia en la que se produce dicha variación. De las dos formas  $du/dy$  es más general y sirve en todos los casos, aún en aquellos en que la velocidad angular y la tensión de cortadura varían. El gradiente de velocidad  $du/dy$  puede también ser considerado como el cociente de la velocidad con que una capa de fluido se mueve en relación con la capa adyacente. En forma diferencial se puede escribir

$$\tau = \mu \frac{du}{dy} \quad (1.3)$$

Esta ecuación nos representa la ley de Newton de la viscosidad, donde el factor de proporcionalidad se llama viscosidad del fluido. La ecuación (1.3) nos dice que existe una proporcionalidad entre la tensión de cortadura y la velocidad de deformación angular de un movimiento unidimensional de un fluido.

Un plástico no cumple la definición de fluido porque para producir una deformación continua en la sustancia plástica debe sobrepasarse una cierta tensión de cortadura inicial.

TIPOS DE FLUIDOS.- De acuerdo a la ley de Newton de la velocidad los fluidos pueden clasificarse en Newtonianos y no-Newtonianos. En los fluidos Newtonianos existe una relación lineal entre la tensión de cortadura aplicada y la velocidad de deformación resultante.

En los fluidos no Newtonianos no existe tal relación lineal. Esto podemos observarlo en la figura (1.2). Un plástico ideal tiene una cierta tensión de cortadura inicial y por encima de ella existe una relación lineal constante entre  $\tau$  y  $du/dy$ . Las sustancias Thixotrópicas como por ejemplo la tinta de imprenta, tiene una viscosidad que depende de la deformación angular inmediatamente anterior y tiende a un cierto valor cuando la sustancia está en reposo.

Los gases y los líquidos ligeros se aproximan a los --



flúidos Newtonianos, mientras que los líquidos pesados y los gases en las cercanías de sus puntos críticos son no Newtonianos.

Para simplificar el estudio de los flúidos, es usual suponer que el flúido no es viscoso. Cuando la viscosidad es nula la tensión de cortadura es también nula cualquiera que sea el movimiento del flúido.

Un flúido ideal es un flúido de viscosidad nula e incompresible y está representado en la figura (1.2) por el eje de las ordenadas. Y los flúidos reales son los que tienen viscosidad y son también llamados flúidos viscosos y se dividen en Newtonianos y no Newtonianos. A continuación definimos las propiedades más importantes de los flúidos.

PRESION DE VAPOR.- Los líquidos se evaporan porque las moléculas se escapan de su superficie. Cuando el espacio por encima del líquido está limitado, las moléculas de vapor ejercen una presión parcial de dicho espacio llamada presión de vapor. Después de un tiempo suficiente, el número de moléculas de vapor que chocan contra la superficie del líquido que de nuevo se condensan es justamente igual al número de las que escapan en un intervalo de tiempo y existe, un equilibrio. Como este fenómeno depende únicamente de la actividad molecular, la cual es función de la temperatura, la presión de vapor de un flúido dado depende de la temperatura y aumenta con ella. Cuando la presión encima del líquido se iguala a la presión del vapor del líquido, éste hierve.

La presión de vapor es una función de la temperatura. Vemos en la figura (1.3), la curva AB. El área arriba de AB es líquido subenfriado. La curva termina en B, el cual es el punto crítico. En este punto, la energía translacional de las moléculas de el líquido viene a ser igual a la energía de atracción, y el líquido y el vapor vienen a ser idénticos. El área ABC es la región de vapor sobrecalentado. Un vapor es definido como un flúido que puede ser licuado por simple compresión.

El área a la derecha de BC es la región gaseosa. Un gas es un flúido el cual no puede ser licuado sin importar cuanto pueda ser comprimido. Por lo que la principal diferencia entre los líquidos y los gases en flujo de flúidos es su compresibilidad. Los líquidos a temperaturas relativamente bajas al punto crítico pueden ser comprimibles solo ligeramente y a muy altas presiones. Generalmente los líquidos son in-

compresibles para cualquier operación.



Figura(1.3)

Los gases y vapores son muy compresibles y en muchos problemas de flujo su compresibilidad debe tomarse en cuenta.

La presión de vapor se representa por  $P^{\circ}$  y está dado generalmente en  $\bar{\text{lb}}/\text{in}^2$ ,  $\bar{\text{kg}}/\text{cm}^2$ ,  $\bar{\text{kg}}/\text{m}^2$ .

DENSIDAD.- La densidad de una sustancia está expresada como la masa por unidad de volúmen.

$$\rho = \frac{\text{Masa}}{\text{Volúmen}} = \frac{m}{v} \quad (1.4)$$

La densidad del agua a  $4^{\circ}\text{C}$  y una atmósfera es  $62.4 \text{ lb}/\text{ft}^3$  ó  $1 \text{ g}/\text{cm}^3$ . La densidad del mercurio es  $13.6 \text{ g}/\text{cm}^3$ .

DENSIDAD DE LOS LIQUIDOS.- El efecto de las variaciones de la presión y la temperatura en las densidades de los líquidos es considerada insignificante en la mayoría de los casos en flujo de fluidos. La densidad de algunos líquidos sa

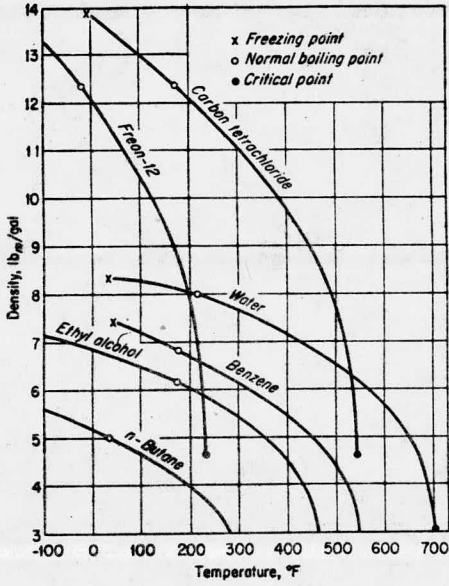


Figura 1.4 Densidad de varios líquidos saturados

turados es mostrada como una función de la temperatura en la figura 1.4. El punto de congelación, el punto de ebullición y el punto crítico son indicados en cada curva.

DENSIDAD DE LOS GASES.- La manera más común de obtener la densidad de un gas es a través de una ecuación de estado relacionando la presión, volúmen y la temperatura. Los gases perfectos obedecen la ecuación de estado

$$\begin{aligned} P \tilde{V} &= R_0 T \\ P V &= n R_0 T \end{aligned} \quad (1.5)$$

donde P es la presión

$\tilde{V}$  es el volúmen por mol  
 T es la temperatura absoluta  
 $R_0$  es la constante de los gases  
 n es el número de moles

Los gases reales siguen la ecuación 1.5 con relativa aproximación a temperaturas reducidas más grandes que dos y presiones reducidas menores que uno. Para gases reales han sido desarrolladas muchas ecuaciones de estado, las cuales son complicadas y difíciles de usar en cálculos de ingeniería. La ecuación más simple de estado hace uso de el factor de compresibilidad Z

$$P \tilde{V} = Z R_0 T \quad (1.6)$$

La ecuación (1.6) es usada para determinar densidades de gases bajo cualquier condición de presión y temperatura.

El factor de compresibilidad Z puede ser obtenido de una curva del factor de compresibilidad contra presión reducida a valores constantes de temperatura reducida. En la figura (1.5) vemos al factor de compresibilidad. Las densidades obtenidas usando la ecuación (1.6) y la figura (1.5) son aproximadas entre el 5 al 10 por ciento para todos los gases excepto para el hidrógeno y el helio. Para muchos compuestos orgánicos, la compresibilidad en el punto crítico es aproximadamente 0.26.

DENSIDAD RELATIVA.- La densidad relativa de una sustancia es la relación de su densidad a la densidad de alguna sustancia de referencia a una temperatura y presión determinada. Para líquidos y sólidos esta sustancia de referencia es -

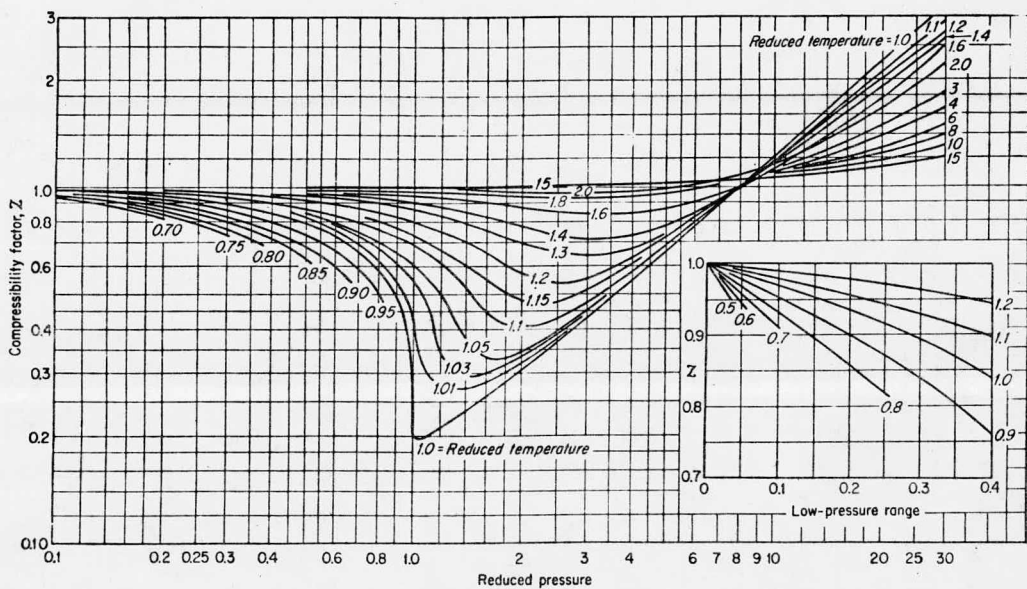


Figura 1.5

Factores de compresibilidad de gases y vapores

la densidad del agua tomada a 4°C, 25°C, 60°F ó 70°F y una atmósfera. En la mayoría de los manuales siempre se indican a - que temperatura se tomó la densidad del agua.

Para gases la sustancia de referencia es generalmente el aire pero a veces se usa el hidrógeno o el oxígeno como referencia.

$$\rho_R = \frac{\rho_A}{\rho_{H_2O}} = \frac{\text{Kg/m}^3 \text{ de } A}{\text{Kg/m}^3 \text{ de } H_2O} \quad (1.7)$$

$\rho_R$  - es la densidad relativa  
 $\rho_A$  - densidad de la sustancia A  
 $\rho_{H_2O}$  - densidad de la sustancia de referencia

Para gases a la misma presión y temperatura se utiliza la siguiente ecuación:

$$\rho_R = \frac{\text{Peso molecular de la sustancia A}}{\text{Peso molecular de la sustancia de referencia}} \quad (1.8)$$

Algunas de las siguientes escalas son usadas en diversas industrias:

Grados Baumé

$${}^{\circ}\text{Bé}_l \frac{60}{60} = \frac{140}{\rho_R} - 130 \quad \text{más liviano que el agua} \quad (1.9)$$

$${}^{\circ}\text{Bé}_h \frac{60}{60} = 145 - \frac{145}{\rho_R} \quad \text{más pesado que el agua} \quad (1.10)$$

°API

$${}^{\circ}\text{API} \frac{70}{60} = \frac{141.5}{\rho_R} - 131.5 \quad \text{más liviano que el agua} \quad (1.11)$$

°Twadell

$${}^{\circ}\text{Tw} \frac{60}{60} = 200 (\rho_R - 1) \quad \text{más pesado que el agua} \quad (1.12)$$

°Brix

$${}^{\circ}\text{Bx}_l \frac{60}{60} = \frac{400}{\rho_R} - 400 \quad \text{más liviano que el agua} \quad (1.13)$$

$${}^{\circ}\text{Bx}_h \frac{60}{60} = \text{escala arbitraria} \quad \text{más pesado que el agua} \quad (1.14)$$

Los números de arriba y de abajo se refieren a las temperaturas de medición y de referencia respectivamente. °F

VOLUMEN ESPECIFICO.- Esta propiedad es el recíproco de la densidad. El volúmen específico para el agua a 4°C y una atmósfera es:

$$V = \frac{1}{\rho} = \frac{1}{62.4} = \frac{ft^3}{lb} = \frac{m^3}{Kg} \quad (1.15)$$

Para el aire:

$$V = \frac{1}{\rho} = \frac{359}{29} = \frac{ft^3}{lb} = \frac{m^3}{Kg}$$

CAPACIDAD CALORIFICA.- La capacidad calorífica  $C_p$  está definida como la cantidad de calor requerido para aumentar la temperatura de un material un grado. Si el material es calentado a presión constante, la capacidad calorífica viene a ser

$$C_p = \left( \frac{\partial H}{\partial T} \right)_p \quad (1.16)$$

y cuando el calentamiento es llevado a cabo a volúmen constante

$$C_v = \left( \frac{\partial E}{\partial T} \right)_v \quad (1.17)$$

donde  $H$  = entalpia

$E$  = energía interna

$C_p$  = capacidad calorífica a presión constante

$C_v$  = capacidad calorífica a volúmen constante

Las dimensiones de la capacidad calorífica son energía por unidad de masa por unidad de cambio de temperatura.

Para gases perfectos

$$R_0 = C_p - C_v \quad (1.18)$$

Mientras que para líquidos y sólidos  $C_p$  y  $C_v$  son casi iguales. Para muchos cálculos en flujo de fluidos  $C_p$  es utilizado aún cuando puedan haber variaciones en el fluido.

Para un cambio de temperatura a presión constante

$$H_2 - H_1 = \left( \int_{T_1}^{T_2} C_p dT \right)_p \quad (1.19)$$

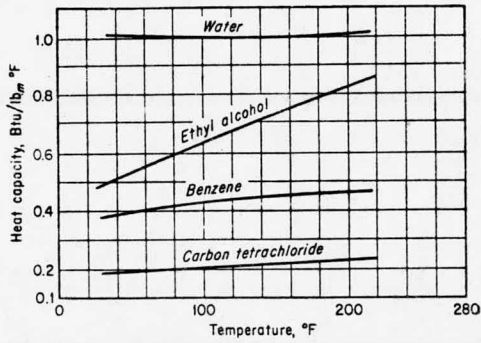


Figura 1.6

Capacidad calorífica de varios líquidos a 1 atmósfera

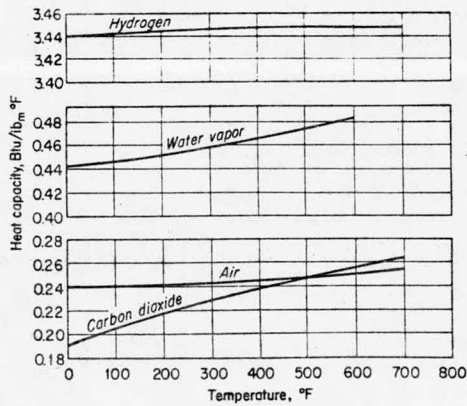


Figura 1.7

Capacidad calorífica de varios gases a 1 atmósfera



Cuando la presión y la temperatura cambian, la entalpia está dada por

$$dH = C_P dT + \left[ -\frac{T\alpha}{\rho} \left( \frac{1}{\rho} \right) + \frac{1}{\rho} \right] dP \quad (1.20)$$

El último término de la ecuación (1.20) nos da el cambio en la entalpia debido a cambios en la presión. Usualmente no es significativo excepto cuando se tienen grandes cambios de presión. Capacidades caloríficas a presión constante de algunos líquidos y gases son mostrados en las figuras 1.6 y 1.7.

TENSION SUPERFICIAL.- La tensión superficial está definida como la cantidad de trabajo requerida para aumentar el área superficial de un líquido por una unidad de área. La unidad más usual de tensión superficial es la dina/cm.

La naturaleza de el fluido en contacto con la superficie de el líquido afecta la tensión superficial, pero este efecto es leve para superficies líquidas en contacto con gases.

La tensión interfacial de dos líquidos inmiscibles en contacto es aproximadamente la diferencia de sus tensiones superficiales individuales cuando ellos están en contacto con aire.

Se representa por  $\sigma$

TRANSPORTE MOLECULAR.- Las propiedades de transporte molecular de los fluidos son aquellas propiedades que corresponden a la velocidad de transferencia de cantidad de movimiento, calor y masa por movimiento molecular.

Las velocidades de transferencia de cantidad de movimiento, calor y masa en fluidos pueden ser expresadas mediante ecuaciones análogas. En general, la velocidad es proporcional a el gradiente potencial, siendo la constante de proporcionalidad una propiedad física de la sustancia. Las ecuaciones de transferencia de cantidad de movimiento, calor y masa son:

1.- Transferencia de cantidad de movimiento

$$\frac{F}{A} = \mu \frac{du}{dy} \quad (1.21)$$

Transferencia de cantidad de movimiento  
(Unidad de área) (Unidad de tiempo) = (viscosidad) (gradiente velocidad)

2.- Transferencia de calor

$$\frac{q}{A} = -k \frac{dT}{dy} \quad (1.22)$$

Transferencia de calor  
(unidades de área) (unidad de tiempo) = (conductividad térmica) (gradiente temperatura)

3.- Transferencia de masa

$$\frac{N_m}{A_{Nm}} = -D \frac{dc_m}{dy} \quad (1.23)$$

Transferencia de masa  
(unidad de área) (unidad de tiempo) = (coeficiente de difusión) (gradiente de concentración)

El signo negativo aparece en las ecuaciones 1.22 y -- 1.23 donde la transferencia de masa y calor ocurre solo en la dirección de decrecimiento de temperatura y concentración respectivamente.

VISCOSIDAD.- La viscosidad es la propiedad del fluido en virtud de la cual el fluido ofrece resistencia a las tensiones de cortadura. La ley de Newton de la viscosidad que es la ecuación 1.1 establece que para una velocidad angular de deformación dada del fluido la tensión de cortadura es directamente proporcional a la viscosidad. Ejemplo de fluidos muy viscosos tenemos al alquitrán y las melazas y de fluidos poco viscosos tenemos al agua y el aire.

La viscosidad de un gas aumenta con la temperatura, - en cambio la viscosidad de un líquido disminuye con la temperatura. Este comportamiento distinto con las variaciones de la temperatura puede explicarse al examinar las causas de la viscosidad. La resistencia de un fluido a la tensión de cortadura depende de cantidades de su cohesión y del grado de - transferencia de cantidades de movimiento de sus moléculas, - por lo que un líquido con moléculas mucho más cercanas que - un gas tiene unas fuerzas de cohesión mayores que el gas, la cohesión viene a ser la causa principal de la viscosidad en un líquido, y como la cohesión disminuye con la temperatura, a la viscosidad le sucederá lo mismo.

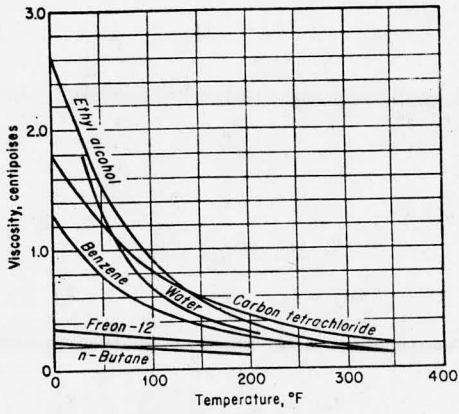


Figura 1.8

Viscosidad de varios líquidos

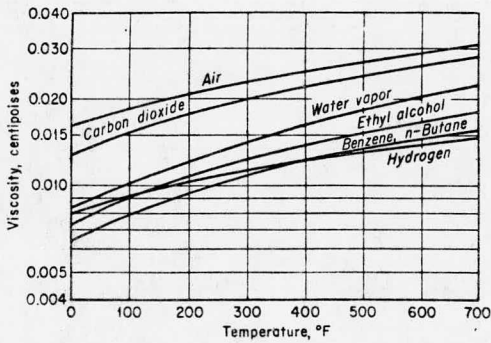


Figura 1.9

Viscosidad de varios gases a 1 atm.

Los movimientos moleculares en los gases dan lugar a una tensión de cortadura aparente que es más importante que las fuerzas cohesivas y como los movimientos moleculares se incrementan con la temperatura, la viscosidad de un gas aumenta con la temperatura. Para presiones ordinarias la viscosidad es independiente de la presión y depende únicamente de la temperatura.

Las dimensiones de la viscosidad se determinan por la ley de Newton de la viscosidad.

$$\mu_b = \frac{T}{dw/dy} \quad (1.24)$$

$$\mu_b = \frac{FL^{-2}}{LT^{-1}/L} = FL^{-2}T$$

A la viscosidad  $\mu_b$  se le llama viscosidad absoluta o dinámica. En el sistema técnico de unidades la unidad de viscosidad es 1 kg. seg/m<sup>2</sup>. En el sistema cgs, la unidad de viscosidad se llama poise y es 1 dina seg/cm<sup>2</sup> ó 1 g/cm seg.

Es generalmente dada en centipoise. El centipoise es la centésima parte del poise.

El agua a 20°C tiene una viscosidad de 1.002 centipoises que en la mayoría de los casos se toma como 1 cp.

VISCOSIDAD CINEMATICA.- La viscosidad cinemática  $\nu$  es el cociente de la viscosidad absoluta por la densidad.

$$\nu = \frac{\mu_b}{\rho} \quad (1.25)$$

La viscosidad cinemática interviene en muchas aplicaciones tales como en el número de Reynolds.

La unidad en el sistema cgs es el stoke y es 1 cm<sup>2</sup>/seg.

Las viscosidades de algunos líquidos y gases están graficadas en las figuras 1.8 y 1.9 como función de la temperatura. A temperaturas arriba del punto normal de ebullición, la presión en los líquidos es la presión de saturación. Para muchos líquidos la viscosidad aumenta con la presión a temperatura constante; sin embargo, debajo de la presión crítica, el efecto de la presión sobre la viscosidad es pequeño. La viscosidad de los gases también aumenta con la presión. De acuerdo con la teoría cinética, la viscosidad de los gases debería --

ser independiente de la presión. Esto es verdad para los gases reales a altas temperaturas reducidas y a bajas presiones reducidas.

CONDUCTIVIDAD TERMICA.- La conductividad térmica es una medida de la capacidad de una sustancia para transferir calor por conducción molecular. La ecuación diferencial para la conducción molecular unidimensional de calor en una sustancia es

$$\frac{q}{A_q} = -K \frac{dT}{dy} \quad (1.26)$$

donde  $q$  = velocidad de flujo de calor por unidad de tiempo  
 $A_q$  = área de flujo  
 $\frac{dT}{dy}$  = gradiente de temperatura en el material  
 $K$  = conductividad térmica de la sustancia

El signo - en la ecuación 1.26 es negativo porque el calor es conducido desde una temperatura alta hasta una temperatura baja.

La conductividad térmica está dada en  $\text{Kcal/hr. m.}^\circ\text{C}$

En las figuras 1.10 y 1.11 tenemos la conductividad térmica de algunos líquidos y gases a 1 atmósfera de presión.

COEFICIENTE DE DIFUSIVIDAD.- El coeficiente de difusión en un sistema de 2 componentes es una medida de la velocidad de difusión molecular (transferencia de masa) de ambos componentes bajo la influencia de una diferencia de concentración.

La difusión toma lugar en la dirección en que disminuye la concentración.

La ecuación diferencial para una difusión unidimensional es:

$$\frac{N_{m}}{A_{Nm}} = -D \frac{dc_m}{dy} \quad (1.27)$$

donde

$N_m$  = velocidad de difusión molar  
 $A_{Nm}$  = área  
 $\frac{dc_m}{dy}$  = gradiente de concentración de la sustancia que se difunde.

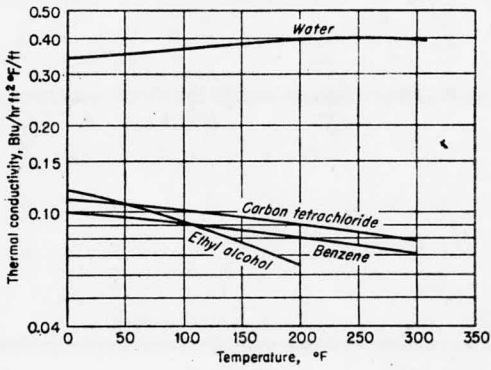


Figura 1.10

Conductividad térmica de varios líquidos a 1 atm.

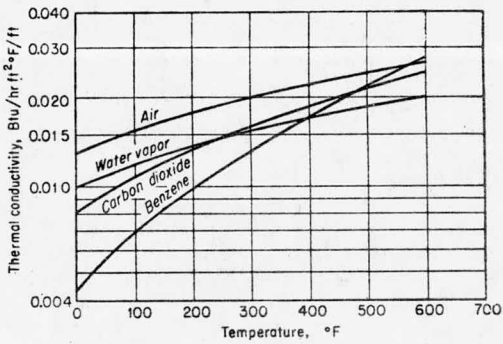


Figura 1.11

Conductividad térmica de varios gases a 1 atm.

$D$  = coeficiente de difusividad

El coeficiente de difusividad es dependiente de ambos componentes en el sistema.

Para gases se utiliza la ecuación de Gilliland para predecir los coeficientes de difusividad.

$$D = 0.0043 \frac{T^{3/2}}{P(V_{m1}^{1/3} + V_{m2}^{1/3})} \sqrt{\frac{1}{PM_1} + \frac{1}{PM_2}} \quad (1.28)$$

donde  $V_{m1}, V_{m2}$  = volúmenes moleculares de los gases 1 y 2  
 $P$  = presión en atmósferas  
 $T$  = temperatura en °K  
 $D$  = difusividad en  $\text{cm}^2/\text{seg}$   
 $PM_1, PM_2$  = pesos moleculares de los gases 1 y 2

## CAPITULO II

## PRESION Y ESTATICA DE LOS FLUIDOS

La presión está definida como una fuerza por unidad de área. La presión atmosférica standard puede ser expresada en cualquiera de las siguientes formas:

- 1 atmósfera
- 760 mm. de mercurio
- 29.92 in. de Hg.
- 33.91 ft. de H<sub>2</sub>O
- 14.7 psia
- 1.013 x 10<sup>6</sup> dinas/cm<sup>2</sup>
- 1.013 x 10<sup>6</sup> bars.

En ingeniería, la presión es generalmente medida como presión manométrica.

La presión absoluta se expresa como:

Presión absoluta = Presión manométrica + presión barométrica.

La presión barométrica es generalmente tomada como --- 14.7 psia ó  $\overline{1b}/in^2$  absolutas. En la figura (2.1) están graficadas las unidades y escalas para medida de la presión.

DEDUCCION DE LA ECUACION FUNDAMENTAL DE LA HIDROSTATICA.- Bases de la deducción.- En el modelo de la figura (2.2):

- 1.- El área de la columna es S. Sus unidades son ft<sup>2</sup> - ó m<sup>2</sup>.
- 2.- A una altura Z sobre la base de la columna la presión vale P y está dada en  $\frac{\overline{1b}}{ft^2}$  ó  $\frac{\overline{Kg}}{m^2}$
- 3.- La densidad  $\rho$  está dada en  $\frac{lb}{ft^3}$ .

ANALISIS DE LAS FUERZAS QUE ACTUAN.-

- 1.- Una fuerza de presión P que actúa hacia arriba

$$F = P \times S \quad (2.1)$$



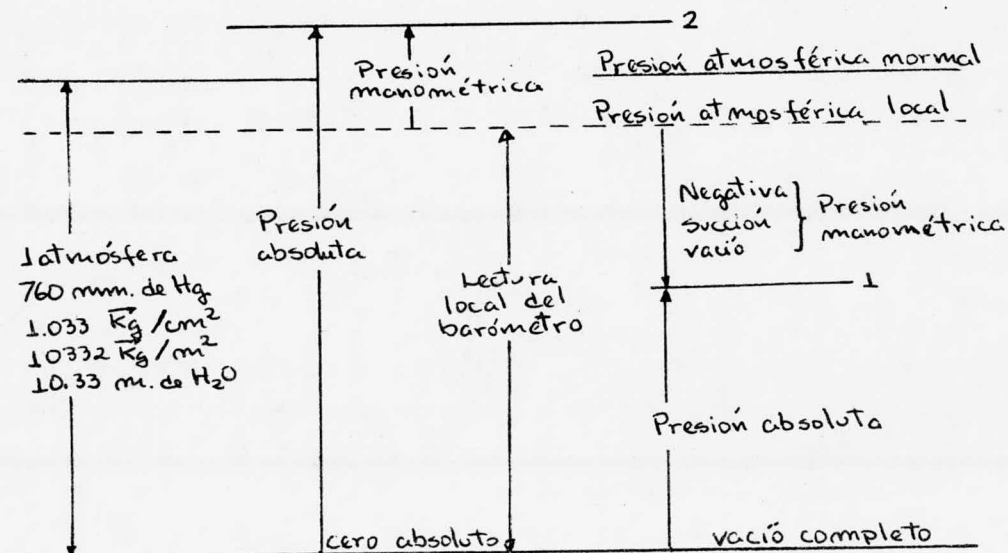


Figura (2.1) Unidades y escalas para medida de la presión.

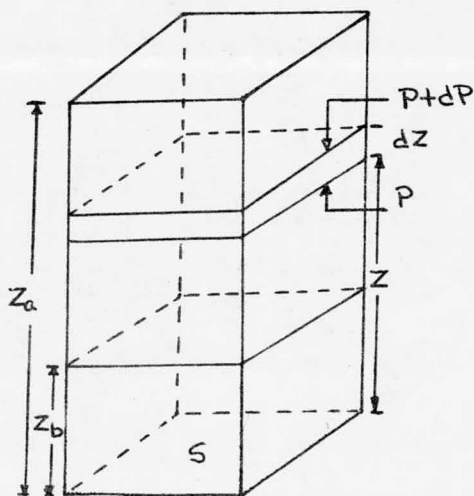


Figura (2.2)

2.- La fuerza  $P + dP$  que actúa hacia abajo

$$F = (P + dP)S \quad (2.2)$$

3.- La fuerza debida a la gravedad que actúa hacia abajo.

$$F = \frac{g}{gc} \rho S dz \quad (2.3)$$

La sumatoria de las fuerzas debe ser igual a cero.

$$P S - (P + dP) S - \frac{g}{gc} \rho S dz = 0 \quad (2.4)$$

$$P S - P S - dP S - \frac{g}{gc} \rho S dz = 0$$

$$- dP S - \frac{g}{gc} \rho S dz = 0 \quad (2.5)$$

dividiendo entre  $S$  la ecuación (2.5) tenemos:

$$- dP - \frac{g}{gc} \rho dz = 0 \quad (2.6)$$

La ecuación (2.6) la podemos integrar cuando:

1.- La densidad es constante o sea cuando tenemos flujo incompresible

2.- Cuando la densidad no es constante, es decir cuando tenemos flujo compresible.

$$- \frac{dP}{\rho} - \frac{g}{gc} dz = 0 \quad (2.7)$$

$$\int_{Pa}^{Pb} - \frac{dP}{\rho} - \int_{Za}^{Zb} \frac{g}{gc} dz = 0 \quad (2.8)$$

$$- \frac{1}{\rho} (Pb - Pa) - \frac{g}{gc} (Zb - Za) = 0 \quad (2.9)$$

$$- \frac{1}{\rho} (Pb - Pa) = \frac{g}{gc} (Zb - Za) \quad (2.10)$$

$$\frac{Pa - Pb}{\rho} = \frac{g}{gc} (Zb - Za) \quad (2.11)$$

La ecuación (2.11) es la ecuación de equilibrio hidrostático.

### APLICACIONES DE LOS FLUIDOS HIDROSTATICOS.-

1.- Ecuación Barométrica.-

Base del Análisis:

$$\text{El gas ideal } PV = nRT$$

$$\rho = \frac{PM}{R_0 T}$$

donde  $P$  es la presión y  $R_0$  es la constante de los gases.

Reemplazando el valor de  $\rho$  en la ecuación (2.7)

$$dP + \frac{g}{gc} \rho dz = 0 \quad (2.7)$$

$$dP + \frac{g}{gc} \frac{PM}{R_0 T} dz = 0 \quad (2.12)$$

dividiendo la ecuación (2.12) entre  $P$

$$\frac{dP}{P} + \frac{g}{gc} \frac{PM}{R_0 T} dz = 0 \quad (2.13)$$

si la temperatura es constante

$$\int_{Pa}^{Pb} \frac{dP}{P} + \int_{Za}^{Zb} \frac{g}{gc} \frac{PM}{R_0 T} dz = 0 \quad (2.14)$$

$$\ln P_b - \ln P_a + \frac{g}{gc} \frac{PM}{R_0 T} (Z_b - Z_a) = 0 \quad (2.15)$$

$$\ln \frac{P_b}{P_a} + \frac{g}{gc} \frac{PM}{R_0 T} (Z_b - Z_a) = 0 \quad (2.16)$$

$$\ln \frac{P_b}{P_a} = - \frac{g}{gc} \frac{PM}{R_0 T} (Z_a - Z_b) \quad (2.17)$$

la ecuación (2.17) se aplica para calcular presiones en pozos de petróleo.

## 2.- Manómetros.-

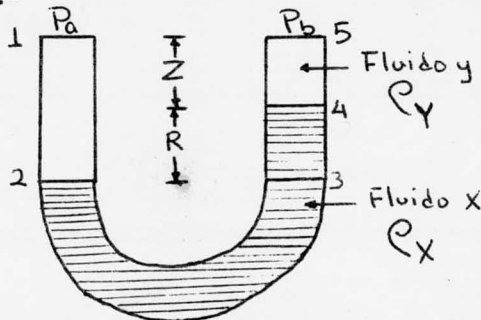


Figura (2.3)

## Bases de la Deducción.-

- 1.- Una parte del tubo en U está llena de un fluido X con una densidad  $\rho_x$
- 2.- La parte no sombreada está llena de un fluido Y con densidad  $\rho_y$
- 3.- Los fluidos X y Y son inmiscibles.
- 4.- Se ejercen unas presiones  $P_a$  y  $P_b$  y como resultado de la diferencia de presiones un menisco es mayor que el otro. La medida de las diferencias de presiones es R.

$$\text{En el punto 1} \quad P_1 = P_a \quad (2.18)$$

$$\text{En el punto 2} \quad P_2 = P_1 + \frac{g}{gc} (Z + R) \rho_y \quad (2.19)$$

$$\text{En el punto 3} \quad P_3 = P_2 \quad (2.20)$$

$$\text{En el punto 4} \quad P_4 = P_3 - \frac{g}{gc} R \rho_x \quad (2.20)$$

$$P_4 = P_2 - \frac{g}{gc} R \rho_x$$

$$P_4 = P_1 + \frac{g}{gc} (Z + R) \rho_y - \frac{g}{gc} R \rho_x$$

$$\text{En el punto 5} \quad P_5 = P_4 - \frac{g}{gc} Z \rho_y$$

$$P_5 = P_b$$

$$P_5 = P_b = P_1 + \frac{g}{gc} (Z + R) \rho_y - \frac{g}{gc} R \rho_x$$

$$- \frac{g}{gc} Z \rho_y$$

$$P_b = P_a + \frac{g}{gc} \left[ (Z + R) \rho_y - R \rho_x - Z \rho_y \right]$$

$$P_b = P_a + \frac{g}{gc} \left[ Z \rho_y + R \rho_y - R \rho_x - Z \rho_y \right]$$

$$P_b = P_a + \frac{g}{gc} \left[ R \rho_y - R \rho_x \right]$$

$$P_b - P_a = \frac{g}{gc} \left[ R (\rho_y - \rho_x) \right]$$

$$P_a - P_b = \frac{g}{gc} R (\rho_x - \rho_y) \quad (2.20)$$

La ecuación (2.20) representa la presión de flujos estáticos aplicada al caso de manómetros. Esta ecuación es independiente de las dimensiones del tubo y de la distancia  $Z$ .

## C A P I T U L O III

EL TRANSPORTE MOLECULAR Y SU APLICACION A LOS FLUIDOS

Se denomina transporte al movimiento de una propiedad que se lleva a cabo en una fase.

El transporte molecular depende del movimiento de las moléculas individuales para realizar el transporte, ya sea de masa, de color o de cantidad de movimiento que puede tener lugar en un sólido, en un líquido o en un gas.

El transporte de cantidad de movimiento en un fluido depende de la transferencia de la cantidad de movimiento macroscópico de las moléculas presentes en el sistema. Si un fluido está en movimiento, las moléculas poseerán una cantidad de movimiento macroscópico en la dirección de flujo. Si existe una variación de la velocidad del flujo, las moléculas que se muevan más rápidamente tendrán una cantidad de movimiento mayor en la dirección del flujo y pueden transferir el exceso de cantidad de movimiento a aquellas moléculas vecinas que se muevan más lentamente.

Se efectúa flujo de propiedad cuando existe sólo una fase simple y existe transferencia de propiedad cuando un sistema está en una fase compleja.

El transporte de cantidad de movimiento se tiene en el flujo laminar; para el caso de flujo turbulento tenemos transporte turbulento.

ECUACION GENERAL DEL TRANSPORTE MOLECULAR

Caso ideal: Base del Análisis  
Teoría cinética de los gases

Postulados:

- 1.- Las moléculas que integran el gas se consideran esféricas de diámetro  $\phi$  y no existen fuerzas de repulsión o atracción entre ellas.
- 2.- El volúmen de las moléculas se considera despreciable con respecto al volúmen entre ellas.

- 3.- Las moléculas se mueven al azar a una velocidad promedio y se considera que los choques entre ellas son -- completamente elásticos.
- 4.- Toda molécula se mueve una distancia  $\lambda$  llamada la trayectoria libre media entre choque y choque y el tiempo que emplean las moléculas en viajar esta trayectoria a la velocidad promedio se le llama el tiempo medio.
- 5.- El número de moléculas es lo suficientemente grande -- como para que los valores estadísticos promedio representen a todas las moléculas.

En la figura (3.1) tenemos un elemento volúmen de le gas-modelo en el que nos basamos para el análisis. El análisis se -- basa sobre el eje coordenada X o sea será el eje + X y -X.

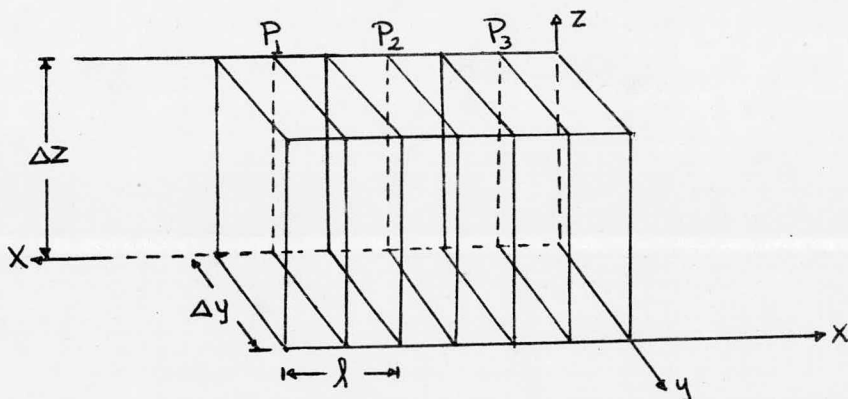


Figura 3.1

1/6 de las moléculas viajan en la dirección +X, 1/6 en -X, 1/6 en +y, 1/6 en -y, 1/6 en +z y 1/6 en -z.

Bases de la Deducción:

- 1.- Existen 3 bloques uniformes en propiedades y cuyas dimensiones son  $\Delta y$ ,  $\Delta z$  y  $\lambda$ .
- 2.- El punto medio de cada bloque corresponde a un plano-

de area  $\Delta y \Delta z$  y que representa las propiedades de cada bloque.

- 3.- La distancia entre planos es igual al espesor de cada bloque.
- 4.- Las moléculas tienen ciertas propiedades asociadas -- con ellas en términos de una concentración que pueden ser cantidad de movimiento, masa o calor.

P es la propiedad que se transfiere y está en términos de concentración y sus unidades están en cantidad de propiedad por unidad de volúmen.

$$P = \frac{\text{cantidad de propiedad}}{\text{unidad de volúmen}} \quad (3.1)$$

Como punto de referencia tenemos al plano Z porque le llega material en la dirección +X -X.

La concentración de propiedad en el plano 1 será

$$P_1 = P_2 + \frac{dP}{dx} (-\lambda) \quad (3.2)$$

y en el plano 3

$$P_3 = P_2 + \frac{dP}{dx} (+\lambda) \quad (3.3)$$

En un tiempo  $\Theta$  se mueven  $1/6$  en la dirección +X y  $1/6$  en la dirección -X.

Vamos a tomar el movimiento de las moléculas en los planos  $1 \rightarrow 2$ ,  $2 \rightarrow 1$ ,  $3 \rightarrow 2$  y  $2 \rightarrow 3$ .

$$\text{Cantidad de propiedad} = \text{concentración de propiedad} \times \text{volúmen unitario} \quad (3.4)$$

Cantidad de propiedad en los planos 1, 2 y 3

$$\text{Cantidad de propiedad} \left| \begin{array}{l} 1 \\ 2 \end{array} \right. = P_1 \times \Delta y \Delta z \lambda \quad (3.5)$$

$$\text{Cantidad de propiedad} \left| \begin{array}{l} 2 \\ 3 \end{array} \right. = P_2 \times \Delta y \Delta z \lambda \quad (3.6)$$

$$\text{Cantidad de propiedad} \left| \begin{array}{l} 3 \\ 2 \end{array} \right. = P_3 \times \Delta y \Delta z \lambda \quad (3.7)$$



El flujo unitario o flujo de propiedad  $\Psi$  es igual a la velocidad de transporte de propiedad dividido entre el área unitaria de transporte.

$$\Psi_{1 \rightarrow 2} = \frac{\frac{1}{6} \frac{P_1 \Delta y \Delta z}{\Theta}}{\Delta y \Delta z}$$

En esta ecuación el numerador es la cantidad de propiedad por unidad de tiempo; y el denominador es el área unitaria de transporte.

$$\Psi_{1 \rightarrow 2} = \frac{1}{6\Theta} P_1 \lambda \text{ en la dirección } +X \quad (3.8)$$

$$\Psi_{2 \rightarrow 1} = \frac{1}{6\Theta} P_2 (-\lambda) \text{ en la dirección } -X \quad (3.9)$$

$$\Psi_{2 \rightarrow 3} = \frac{1}{6\Theta} P_2 \lambda \text{ en la dirección } +X \quad (3.10)$$

$$\Psi_{3 \rightarrow 2} = \frac{1}{6\Theta} P_3 (-\lambda) \text{ en la dirección } -X \quad (3.11)$$

El flujo neto de propiedad es el movimiento en las direcciones  $+X$  y  $-X$  o sea  $\Psi_{1 \rightarrow 2}$  y  $\Psi_{2 \rightarrow 1}$

$$\Psi_{\text{neto } 1-2} = \Psi_{1 \rightarrow 2} + \Psi_{2 \rightarrow 1}$$

$$\Psi_{\text{neto } 1-2} = \frac{P_1 \lambda}{6\Theta} + \left( -\frac{P_2 \lambda}{6\Theta} \right) = \frac{P_1 \lambda}{6\Theta} - \frac{P_2 \lambda}{6\Theta}$$

$$\Psi_{\text{neto } 1-2} = \frac{\lambda}{6\Theta} (P_1 - P_2) \quad (3.12)$$

reemplazando la ecuación (3.2) en la ecuación (3.12)

$$P_1 = P_2 + \frac{dP}{dx} (-\lambda) \quad (3.2)$$

$$\Psi_{\text{neto } 1-2} = \frac{\lambda}{6\Theta} \left[ P_2 + \frac{dP}{dx} (-\lambda) - P_2 \right]$$

$$= \frac{\lambda}{6\Theta} \left[ \frac{dP}{dx} (-\lambda) \right]$$

$$= -\frac{\lambda^2}{6\Theta} \frac{dP}{dx} \quad (3.13)$$

$$\begin{aligned}
 \Psi_{\text{neto } 2-3} &= \Psi_{2 \rightarrow 3} + \Psi_{3 \rightarrow 2} \\
 &= \frac{P_2 \lambda}{6\theta} - \frac{P_3 \lambda}{6\theta} \\
 &= \lambda^2 \frac{dP}{6\theta dx}
 \end{aligned}
 \tag{3.14}$$

$\frac{dP}{dx}$  es la variación de la cantidad de propiedad con respecto a  $-dx$  la posición.

El flujo neto sólo depende del gradiente individual en ambos lados. Gradiente de propiedad de la primera rebanada a la segunda y a la tercera.

$$\begin{aligned}
 \Psi_{1-2 \text{ neto}} &= \Psi_{1 \rightarrow 2} + \Psi_{2 \rightarrow 1} \\
 \Psi_{1-2 \text{ neto}} &= \Psi_{2-3 \text{ neto}}
 \end{aligned}
 \tag{3.15}$$

DEFINICION DE ESTADO ESTABLE. - El estado estable o régimen permanente es aquel en el cual no existe acumulación de propiedad con el tiempo.

Balance de Propiedad:

$$\begin{aligned}
 \text{Acumulación} &= \text{flujo de entrada} - \text{flujo de salida} \\
 \text{Acumulación} &= \left[ -\frac{\lambda^2}{6\theta} \frac{dP}{dx} \right] - \left[ -\frac{\lambda^2}{6\theta} \frac{dP}{dx} \right] = 0
 \end{aligned}
 \tag{3.16}$$

El estado estable se representa graficamente en la figura (3.2) cuando el gradiente de concentración es constante.

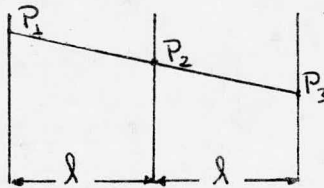


Figura (3.2)

En el que  $P_1 > P_2 > P_3$

Pendiente  $m_a = \frac{dP}{dx}$

$$m_b = \frac{dP}{dx}$$

Cuando se tiene un estado inestable se tiene una acumulación de propiedad con respecto al tiempo.

APLICACION AL TRANSPORTE DE CANTIDAD DE MOVIMIENTO. - En el transporte de cantidad de movimiento tomando como base el modelo gaseoso, cada molécula tiene una masa  $m$  y una velocidad promedio  $c$ , su resultado es que tiene un movimiento asociado de  $m\bar{c}$  y se está moviendo al azar. En la figura (3.3) representamos al modelo.

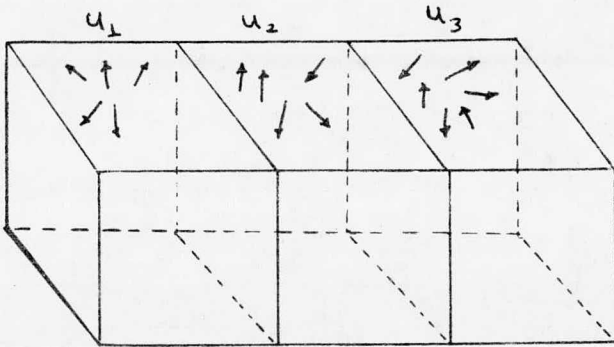


Figura (3.3)

**Observaciones:**

- 1.- Debido a que la cantidad de movimiento de las moléculas se encuentra en dirección al azar. Se considera que la suma vectorial de todas las cantidades de movimiento vale cero.
- 2.- Un gas contiene cantidad de movimiento transferible si y solo si existen regiones de concentración que tengan diferentes valores de cantidad de movimiento, esto sólo ocurre cuando hay diferencias de velocidad o sea  $u_1 > u_2 > u_3$ .

- 3.- Se considera que cada molécula tiene dos componentes de cantidad de movimiento debido a que uno es al azar dado por  $m\bar{c}$  y la otra por  $mu$  que es el componente de velocidad de flujo.

Si la velocidad de flujo fuera constante; y en las 3 rebanadas, la concentración de cantidad de movimiento de cada una sería la misma. Y no existiría transporte neto de cantidad de movimiento de rebanada a rebanada.

#### Análisis de las rebanadas.-

En la rebanada 1 si las moléculas fluyen a velocidad  $u_1$ , cada molécula tiene dos componentes, una  $m\bar{c}$  y una  $mu_1$  en la rebanada 2,  $m\bar{c}$  y  $mu_2$  y en la rebanada 3,  $m\bar{c}$  y  $mu_3$ . Debido a que en el modelo gaseoso  $m\bar{c}$  es uniforme através del elemento de volumen total y la suma vectorial de todas las  $mu$  vale cero, se considera que este tipo de velocidad  $\bar{c}$  promedio no contribuye al exceso de cantidad de movimiento necesario para el transporte.

Consideraciones para la deducción.

- 1.- El modelo gaseoso fluye de manera regular en la dirección (+y).
- 2.- Los grupos de moléculas fluyen paralelos a los planos Xy y yz.
- 3.- Las moléculas individuales se mueven al azar pero el movimiento promedio es uniforme en la dirección de flujo. Al movimiento uniforme macroscópico se le llama flujo laminar.

La concentración de cantidad de movimiento es igual a -- cantidad de movimiento total entre el volumen unitario.

Si hay n moléculas la concentración de cantidad de movimiento será:

$$\text{Concentración de cant. de mov.} = \frac{n m u}{\Delta y \Delta z \lambda} \quad (3.17)$$

la densidad de un gas está definida como  $\rho = \frac{\text{masa}}{\text{volumen}} = \frac{n m}{\Delta y \Delta z \lambda}$

$$\text{Concentración de cantidades de movimiento} = \rho u$$

En los planos 1 y 3 tenemos que de acuerdo a las ecuaciones (3.2) y (3.3) tenemos

$$(\rho u)_1 = (\rho u)_2 + \frac{d(\rho u)}{dx} (-l) \quad (3.18)$$

$$(\rho u)_3 = (\rho u)_2 + \frac{d(\rho u)}{dx} (l) \quad (3.19)$$

Flujo de cant. de mov. =  $\frac{\text{vel. de transporte de cant. de mov}}{\text{área de transporte}} \quad (3.20)$

$$\Psi_{c.m. 1 \rightarrow 2} = \frac{1}{6\theta} \frac{(\rho u)_1 \Delta y \Delta z l}{\Delta y \Delta z} = \frac{(\rho u)_1 l}{6\theta} \quad (3.21)$$

$$\Psi_{c.m. 2 \rightarrow 1} = \frac{(\rho u)_2 (-l)}{6\theta} \quad (3.22)$$

$$\Psi_{c.m. 2 \rightarrow 3} = \frac{(\rho u)_2 l}{6\theta} \quad (3.23)$$

$$\Psi_{c.m. 3 \rightarrow 2} = \frac{(\rho u)_3 (-l)}{6\theta} \quad (3.24)$$

Flujo neto de cantidad de movimiento.

$$\begin{aligned} \Psi_{c.m. \text{ neto}} \Big|_{1-2} &= \Psi_{c.m. 1 \rightarrow 2} + \Psi_{c.m. 2 \rightarrow 1} \\ &= \frac{(\rho u)_1 l}{6\theta} - \frac{l(\rho u)_2}{6\theta} \\ &= \frac{l}{6\theta} [(\rho u)_1 - (\rho u)_2] \end{aligned}$$

reemplazando  $(\rho u)_1$  por su valor

$$\begin{aligned} \Psi_{c.m. \text{ neto}} \Big|_{1-2} &= \frac{l}{6\theta} \left[ (\rho u)_2 + \frac{d(\rho u)}{dx} (-l) - (\rho u)_2 \right] \\ &= -\frac{l^2}{6\theta} \frac{d(\rho u)}{dx} \quad (3.25) \end{aligned}$$

$$\Psi_{c.m. \text{ neto}} \Big|_{2-3} = -\frac{l^2}{6\theta} \frac{d(\rho u)}{dx} \quad (3.26)$$

sabemos que la velocidad  $\bar{c}$  es igual al espacio  $l$  recorrido -- entre el tiempo. O sea

$$\bar{c} = l/\theta \quad (3.27)$$

$$\begin{aligned}
 \lambda &= \bar{c} \times \Theta \\
 \Psi_{\text{c.m. neto}} \Big|_{2-3} &= - \frac{\lambda(\bar{c} \times \Theta)}{6\Theta} \frac{d(\rho u)}{dx} \\
 &= - \frac{\lambda \bar{c}}{6} \frac{d(\rho u)}{dx} \quad (3.28)
 \end{aligned}$$

Estas ecuaciones representan el transporte de la cantidad de movimiento.

Mecánica del flujo.

Bases para el análisis.- En la figura (3.4):

- 1.- Se considera  $u_1 > u_2 > u_3$
- 2.- La dirección de la cantidad de movimiento se encuentra en el eje positivo de las X.
- 3.- Las fuerzas positivas se encuentran en la dirección - positiva de los ejes.
- 4.- La aceleración produce una fuerza negativa y la desaceleración produce una fuerza positiva.

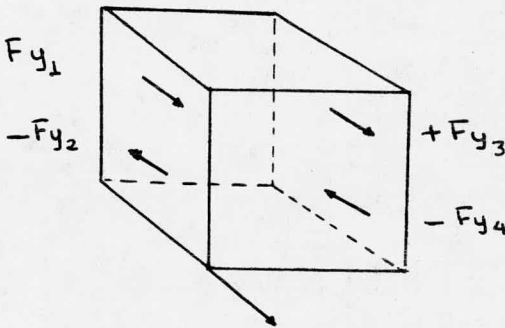


Figura 3.4

Cuando las moléculas de la rebanada 2 pasan a la rebanada 1 las moléculas deben acelerarse y existe una fuerza inversa a  $F_{y1}$ .  $+ F_{y1}$  es una fuerza externa debido a que ejerce la rebanada 1 sobre la 2 y a que su origen es la rebanada 1.  $-F_{y2}$  es una fuerza interna de la rebanada 2 porque la ejerce la 2 sobre la 1.  $+ F_{y3}$  es una fuerza interna, la ejerce la 2 sobre la 3.  $- F_{y4}$  es una fuerza externa porque la ejerce la rebanada 3 sobre la 2.

Balace de fuerzas.-

a) Sobre las fuerzas internas  $- F_{y2} + F_{y3} = 0$

b) Sobre las fuerzas externas  $F_{y1} - F_{y4} = 0$

La fuerza que actúa entre dos superficies como  $F$  en la figura se llama fuerza cortante debido a que tiende a deformar al fluido. Se define la fuerza cortante como la velocidad de cambio de cantidad de movimiento en una superficie.

$$F_y = \frac{d(\mu)}{d\theta}$$

$$F_y \text{ gc} = \frac{d(\mu)}{d\theta} \quad (3.29)$$

El esfuerzo cortante lo representamos por  $\tau_y$ .

$$\tau_y = \frac{F_y}{\Delta y \Delta z} \quad (3.30)$$

reemplazando  $F_y$  por su valor en la ecuación (3.29) tenemos:

$$F_y = \tau_y \Delta y \Delta z$$

$$\tau_y \Delta y \Delta z \text{ gc} = \frac{d(\mu)}{d\theta}$$

$$\tau_y A \text{ gc} = \frac{d(\mu)}{d\theta}$$

$$\tau_y \text{ gc} = \frac{1}{A} \frac{d(\mu)}{d\theta} \quad (3.31)$$

El esfuerzo cortante es igual al flujo de cantidad de movimiento de las moléculas.

$$\Psi_{c.m. 1-2} = - \frac{\rho \bar{c}}{6} \frac{d(C_u)}{dx} \quad (3.28)$$

$$\tau_{y \text{ gc}} = - \frac{\rho \bar{c}}{6} \frac{d(cu)}{dx} \quad (3.32)$$

En el transporte de fluidos al término  $\frac{\rho \bar{c}}{6}$  se le denomina difusividad de cantidad de movimiento  $\nu$ ).

$$\tau_{y \text{ gc}} = - \nu \frac{d(cu)}{dx} \quad (3.33)$$

Esta ecuación se aplica al transporte de cantidad de movimiento en forma laminar para velocidades bajas. Esta difusividad se conoce con el nombre de viscosidad cinemática.

La viscosidad absoluta  $\mu$  está definida por

$$\tau_{y \text{ gc}} = - \mu \frac{du}{dx} \quad (3.34)$$

TRANSFERENCIA SIMPLE EN EL ESTADO ESTABLE. - Para todos los casos de aplicaciones del transporte molecular se aplica el siguiente procedimiento.

- 1.- Hace un balance de propiedad que se transfiere.
- 2.- Sustituir la ecuación diferencial del transporte en la ecuación del balance de propiedad.
- 3.- Integrar la ecuación diferencial con sus condiciones a la frontera y la geometría del sistema.

Para que se cumpla el estado estable o régimen permanente

$\Psi_A = \text{constante}$  en la dirección de flujo

$$\frac{d(\Psi_A)}{dx} = 0 \quad (3.35)$$

El área media de transferencia. -

Si  $y = f(x)$

El valor medio de  $y$  en el intervalo de  $x_1$  a  $x_2$  viene a ser:

$$\bar{y} = \frac{\int_{x_1}^{x_2} y dx}{\Delta x} \quad (3.36)$$

TRANSFERENCIA DE CANTIDAD DE MOVIMIENTO. - Cuando se tiene transporte de cantidad de movimiento



$$\tau_y \text{ gc } A = \text{constante} \quad (3.37)$$

$$\tau_y = \frac{\text{velocidad de transporte de cantidad de movimiento}}{\text{area unitaria de transporte}}$$

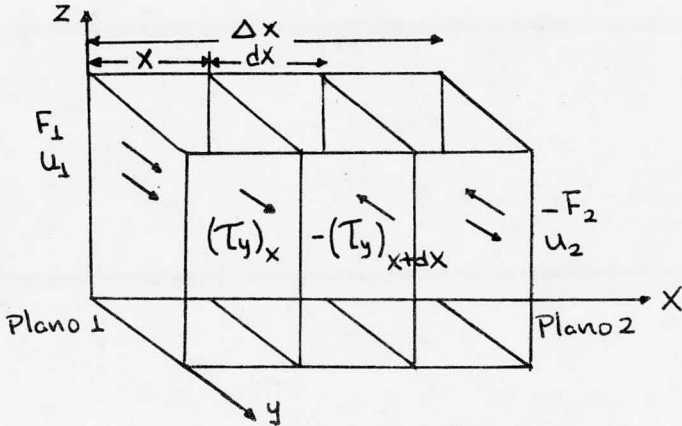


Figura (3.5)

En la figura (3.5) los planos 1 y 2 se mueven a velocidad  $u_1$  y  $u_2$  como resultado de la aplicación de las fuerzas  $F_1$  y  $F_2$ .

Si los planos se mueven a velocidad constante se necesitan fuerzas constantes para vencer la resistencia al flujo que ofrece el fluido que se encuentra entre los planos, Se considera -- que el sistema está a régimen permanente (estado estable) y por tanto un balance de fuerzas externas nos dará 0.

$$\sum F = F_1 + (-F_2) = 0 \quad (3.38)$$

En cualquier plano en el fluido se tiene un esfuerzo en la dirección +y como resultado de la entrada de cantidad de movimiento al plano y un esfuerzo en la dirección -y y como resultado de la salida de cantidad de movimiento.

Balace de fuerzas externas entre el plano 1 y el plano  $x + dx$

$$\sum F = F_1 + (-\tau_y A)_{x+dx} = 0 \quad (3.39)$$

Balance de fuerzas externas entre el plano 2 y el plano X

$$\sum F = -F_2 + (\tau_Y A)_X = 0 \quad (3.40)$$

$$\tau_Y = \frac{F_Y}{A}$$

de (3.39)  $F_1 = (\tau_Y A)_X + dx$

de (3.40)  $F_2 = (\tau_Y A)_X$

al reemplazarlas en (3.38)

$$(\tau_Y A)_{X+dx} - (\tau_Y A)_X = 0$$

$$\tau_Y \text{ gc } \frac{A}{A} = -\mu \frac{du}{dx}$$

$$\tau_Y \text{ gc } A \frac{dx}{dA} = -\mu du$$

$$\int_{X_1}^{X_2} (\tau_Y \text{ gc } A) \frac{dx}{A} = \int_{u_1}^{u_2} -\mu du \quad (3.41)$$

si  $\mu$  = constante se tiene flujo Newtoniano

si  $\mu$  = variable se tiene flujo no Newtoniano

Existen varias formas de escribir esta ecuación de acuerdo a la geometría y a la viscosidad.

1.- Si la  $\mu$  = constante y el area = constante

$$(\tau_Y \text{ gc } A) \frac{X_2 - X_1}{A} = -\mu(u_2 - u_1)$$

$$\tau_Y \text{ gc } (X_2 - X_1) = -\mu(u_2 - u_1)$$

$$\tau_Y \text{ gc} = -\mu \frac{u_2 - u_1}{X_2 - X_1} \quad (3.42)$$

2.- Si la  $\mu$  = constante y el área = variable

en este caso se introduce el concepto de area media.

3.- Si  $\mu$  = variable y A = constante

$$\mu = f(X) \text{ y } \mu = f(u)$$

4.-  $M = \text{variable}$  y  $A = \text{variable}$

$$M = f(x) \text{ y } M = f(u)$$

En este caso se introduce el concepto de area media.

TRANSFERENCIA DE PROPIEDAD CON GENERACION INTERNA.- Base de la deducción.- Parte de la propiedad que se transfiere se genera dentro del medio y aparece en todos los puntos del medio y para conservar el régimen permanente toda propiedad que se genera debe de salir por los límites.

Como conclusión podemos decir que la velocidad de transferencia o flujo de transferencia no es constante con la distancia y aumenta conforme se acerca al límite. En la figura (3.6)-  $G$  es la generación interna de propiedad que está dada como la relación de cantidad de propiedad entre la unidad de tiempo y la unidad de volúmen. Toda la cantidad que se genera debe de salir por un límite.

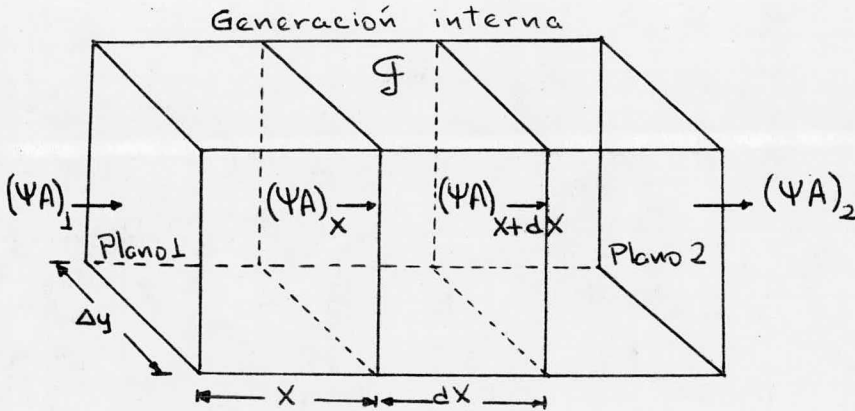


Figura (3.6)

Balace de propiedad.-

Propiedad que entra + propiedad que se genera = cantidad de propiedad que sale

$$(\Psi A)_{X + \Delta x} + \int \Delta v = (\Psi A)_X + \Delta x \quad (3.43)$$

diferencial volumen  $\Delta v = \Delta y \Delta z \Delta x$

área de transporte  $= \Delta y \Delta z$

$$(\Psi A)_{X + \Delta x} - (\Psi A)_X = \int \Delta v$$

$$d(\Psi A) = (\Psi A)_{X + \Delta x} - (\Psi A)_X$$

$$d(\Psi A) = \int \Delta v \quad (3.44)$$

Esta es la ecuación de transferencia con generación interna de propiedad. Esta ecuación establece que el aumento en la velocidad de transferencia a través de un elemento volumen es igual a la velocidad de generación dentro del elemento.

TRANSFERENCIA DE CANTIDAD DE MOVIMIENTO CON GENERACION INTERNA. - La transferencia de cantidad de movimiento con generación interna ocurre en todos los fluidos que fluyen en ductos estacionarios. La ecuación (3.44) viene a ser

$$d(\tau_y \text{ gc } A) = \int \tau \Delta v$$

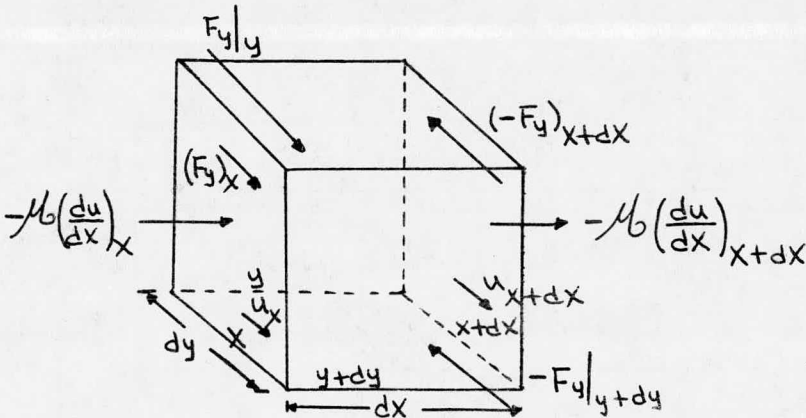


Figura (3.7)

Plano X

$$\text{Entrada: } -\rho \left( \frac{du}{dx} \right)_x$$

$$F_y|_x \quad , \quad u_x$$

Plano y

$$\text{Entrada: } F_y|_y$$

Plano X + dx

$$\text{Sale: } -\rho \left( \frac{du}{dx} \right)_{x+dx}$$

$$- F_y|_{x+dx} \quad , \quad u_{x+dx}$$

Plano y + dy

$$\text{Sale: } - F_y|_{y+dy}$$

Bases de la deducción.- En la figura (3.7)

- 1.- La velocidad en el plano X es mayor que en el plano X + dx para que haya flujo de cantidad de movimiento- Existe un gradiente de velocidad dentro del elemento-diferencial.
- 2.- No existe ningún cambio en el valor de la cantidad -- de movimiento en la dirección z.
- 3.- Existe una area de transporte la cual equivale en diferencias finitas a  $\Delta y \Delta z$ .

$$\text{En el plano X: } F_y|_y = (\tau_{yA})_x$$

$$\text{En el plano X + dx: } F_y|_{x+dx} = (\tau_{yA})_{x+dx}$$

$$\text{Las fuerzas externas son } F_y|_y - F_y|_{y+dy}$$

La presión del fluido en los planos y y y + dy produce - fuerzas que actúan en esta dirección y sobre el elemento considerado. Presión = Fuerza /Area.

$$\text{Area de transporte } A = \Delta y \Delta z$$

$$\text{Area donde se ejerce la presión } S = dx \Delta z$$

por lo que  $F_y = P_y S_y$

$$F_y|_{y+dy} = (P_y S_y)_{y+dy} \quad (3.45)$$

- 4.- No actúa ningún otro tipo de fuerzas sobre el plano.

- 5.- El área de Transferencia A es perpendicular al área - sobre la cual se ejerce la presión.

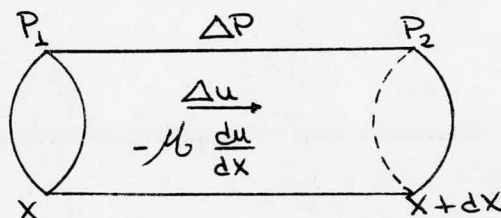


Figura (3.8)

El transporte de propiedad es radial y el flujo es longitudinal. El fluido fluye através de S y el transporte através - de A. Figura (3.8) Balance de fuerzas.

$$F_y|_X = (\tau_y A)_X$$

$$- F_y|_{X + dx} = (-\tau_y A)_{X + dx}$$

$$F_y|_Y = (PS)_Y$$

$$- F_y|_{Y + dy} = (-PS)_{Y + dy}$$

En el estado estable  $\sum F = 0$

$$\sum F = F_y|_X - F_y|_{X + dx} + F_y|_Y - F_y|_{Y + dy} = 0 \quad (3.46)$$

$$(\tau_y A)_X - (\tau_y A)_{X + dx} + (PS)_Y - (PS)_{Y + dy} = 0$$

$$(\tau_y A)_X - (\tau_y A)_{X + dx} = (PS)_{Y + dy} - (PS)_Y \quad (3.47)$$

La ecuación (3.47) establece que el cambio de la fuerza-cortante en la dirección X através del elemento considerado es igual a un cambio en fuerza de presión en el mismo elemento -- pero en la dirección y.

$$d(\tau_y A)_X - (\tau_y A)_{X + dx} = - \left[ (PS)_Y - (PS)_{Y + dy} \right]$$

$$d(\tau_y A) = - d(PS)$$

Si el diámetro es constante en un tubo circular, el área-  
S es también constante y la sacamos de la diferencial:

$$d(\tau_y A) = -S dP \quad (3.48)$$

se partió de la ecuación  $d(\psi A) = g_T dV$

Si multiplicamos el miembro derecho de la ecuación (3.48)  
por  $dy/dy$ .

$$d(\tau_y A) = -S dP \frac{dy}{dy} = -S dy \frac{dP}{dy} \quad (3.49)$$

El volumen del tubo es  $V = 0.785 d^2 h$   
donde  $d$  es el diámetro y  $h$  la longitud

$$S = 0.785 d^2$$

$$V = 0.785 d^2 h = Sy$$

Si el área  $S$  es constante  $dV = S dy$

$$d(\tau_y A) = -dV \frac{dP}{dy} \quad (3.50)$$

$$d(\tau_y A) = g_T dV$$

$$d(\psi A) = g_T dV$$

$$d(\tau_y g_c A) = g_T dV$$

$$g_c d(\tau_y A) = g_T dV$$

$$d(\tau_y A) = \frac{g_T dV}{g_c}$$

$$-dV \frac{dP}{dy} = \frac{g_T dV}{g_c}$$

$$-\frac{dP}{dy} = \frac{g_T}{g_c}$$

$$g_T = -g_c \frac{dP}{dy} \quad (3.52)$$

Este es el valor de mi generación interna y tiene valor-  
negativo porque se está perdiendo propiedad. La ecuación (3.52)  
indica que la velocidad de generación de cantidad de movimien-  
to es igual a una disminución de presión con la distancia. To-  
do lo que se pierde es la presión con respecto a la posición.

El gradiente en el estado estable debe ser constante. La ecuación (3.52) tiene dos aplicaciones para fluidos compresibles hay variación de  $dP/dy$  y en fluidos incompresibles.

APLICACION A UN FLUIDO INCOMPRESIBLE EN UN DUCTO CIRCULAR.

En la figura (3.9):  $L$  es la longitud,  $D$  el diámetro,  $r_1$  el radio interno,  $V$  el volúmen  $V = SL = 0.785 D^2L = r^2L$

$$V = \pi r^2L \quad (3.53)$$

$$dV = 2\pi Lrdr \quad (3.54)$$

$$\text{El área lateral del cilindro es } A = \pi DL = 2\pi rL \quad (3.55)$$

$$\frac{du}{dx} = \frac{du}{dr} \quad (3.56)$$

$$\text{la caída de presión } \Delta P = - (P_2 - P_1) \quad (3.57)$$

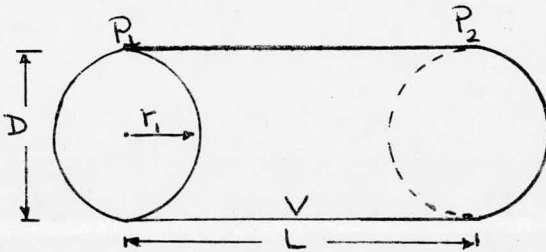


Figura (3.9)

Para un fluido incompresible la generación interna es:

$$G_T = -gc \frac{\Delta P}{\Delta y} \quad (3.58)$$

Ecuación del balance de cantidad de movimiento:

$$G_T dV = d \left( \mu A \frac{du}{dx} \right) \quad (3.59)$$

reemplazando las ecuaciones (3.54), (3.55), (3.56) y (3.58) en la ecuación (3.59)

$$d \left( -\mu 2\pi rL \frac{du}{dr} \right) = -gc \frac{\Delta P}{\Delta y} 2\pi Lrdr \quad (3.60)$$

integrando la ecuación (3.60):



$$-\mu 2\pi rL \frac{du}{dr} = -gc \frac{\Delta P}{\Delta y} 2\pi L \frac{r^2}{2} + C_1 \quad (3.61)$$

Evaluación de la constante de integración  $C_1$   
Condiciones a la frontera

$$\begin{aligned} u &= \text{velocidad máxima} \\ \text{Centro del ducto } r &= 0 \\ du/dr &= 0 \end{aligned}$$

reemplazando estos valores en la ecuación (3.61):

$$-\mu 2\pi (0)L(0) = -gc \frac{\Delta P}{\Delta y} \pi L (0)^2 + C_1 \quad (3.62)$$

$$C_1 = 0$$

$$-\mu 2\pi Lr \frac{du}{dr} = -gc \frac{\Delta P}{\Delta y} \pi Lr^2 \quad (3.63)$$

$$-\mu \frac{du}{dr} = -\frac{gc \Delta P}{2 \Delta y} r \quad (3.64)$$

Por la ecuación de transporte molecular:

$$\tau_y gc = -\mu \frac{du}{dr} \quad (3.65)$$

reemplazando la ecuación (3.65) en la ecuación (3.64)

$$\tau_y gc = -\frac{gc \Delta P}{2 \Delta y} r \quad (3.66)$$

$$\text{cuando } r = r_1 \quad (\tau_y gc) = (\tau_y gc)_1 \quad (3.67)$$

$$\frac{\tau_y gc}{(\tau_y gc)_1} = \frac{-\frac{gc \Delta P}{2 \Delta y} r}{-\frac{gc \Delta P}{2 \Delta y} r_1} = \frac{r}{r_1} \quad (3.68)$$

Por la ecuación (3.68) concluimos en que el esfuerzo cortante varía en forma lineal con la posición radial. Vale cero en el centro del ducto y adquiere su máxima valor en la pared del tubo.

De la ecuación (3.64) despejamos  $du/dr$

$$\frac{du}{dr} = \frac{gc \Delta P}{2\mu \Delta y} r \quad (3.69)$$

$$du = \frac{gc \Delta P}{2\mu \Delta y} r dr \quad (3.70)$$

$$u = \frac{gc \Delta P}{2\mu \Delta y} \frac{r^2}{2} + C_2 \quad (3.71)$$

Calculo de  $C_2$

Condiciones a la frontera  $r = r_1$  por lo que  $u = 0$  en la pared

$$0 = \frac{gc \Delta P}{2\mu \Delta Y} \frac{r^2}{2} + C_2 \quad (3.72)$$

$$C_2 = - \frac{gc \Delta P}{4\mu \Delta Y} r_1^2 \quad (3.73)$$

reemplazando el valor de  $C_2$  en la ecuación (3.71)

$$u = \frac{gc \Delta P}{2\mu \Delta Y} \frac{r^2}{2} - \frac{gc \Delta P}{4\mu \Delta Y} r_1^2 \quad (3.74)$$

$$u = \frac{gc \Delta P}{4\mu \Delta Y} (r^2 - r_1^2) \quad (3.75)$$

La ecuación (3.75) representa la función de distribución de velocidades y tiene la forma general de una parábola: se emplea para calcular velocidades puntuales.

Sabemos que la velocidad media es igual a:  $\bar{u} = \frac{L}{S}$

$S$  es el área total de la sección del tubo  $S_1 = 0.785 D_1^2 =$

$$\bar{u} = \frac{\int_0^{S_1} u dS}{S_1} \quad (3.76)$$

$$dS = 2\pi r dr \quad (3.77)$$

$$dS_1 = 2\pi r_1 dr_1 \quad (3.78)$$

introduciendo las ecuaciones (3.77) y (3.78) en (3.76)

$$\bar{u} = \frac{\int_0^{r_1} u 2\pi r dr}{\pi r_1^2} \quad (3.79)$$

$$\bar{u} \pi r_1^2 = \int_0^{r_1} u 2\pi r dr \quad (3.80)$$

reemplazando el valor de  $u$  de la ecuación (3.75) en (3.76)

$$\bar{u} \pi r_1^2 = \int_0^{r_1} - \frac{gc \Delta P 2\pi}{4\mu \Delta Y} (r_1^2 - r^2) r dr$$

$$\bar{u} \pi r_1^2 = - \frac{gc \Delta P 2\pi}{4\mu \Delta Y} \int_0^{r_1} r_1^2 r dr - r^3 dr$$

$$\bar{u} \pi r_1^2 = - \frac{gc \Delta P r_1^2}{8 \mu \Delta Y}$$

$$r_1 = \frac{D_1}{2} ; r_1^2 = \frac{D_1^2}{4}$$

$$\bar{u} = - \frac{gc \Delta P D_1^2}{32 \mu \Delta Y}$$

(3.81) - 29

Esta es la ecuación de Poiseuille para flujo laminar. Con esta ecuación calculamos la caída de presión para flujo laminar.

## CAPITULO IV

## TEORIA DEL FLUJO DE FLUIDOS EN TUBERIAS

TIPOS DE FLUJO.- Flujo es el movimiento de un fluido. Los fluidos en movimiento, a través de tuberías o conductos son frecuentemente vistos en la práctica. El flujo de un fluido se puede clasificar de muchas maneras como: flujo laminar y turbulento; real e ideal; reversible e irreversible; permanente y no permanente; uniforme y no uniforme.

FLUJO LAMINAR Y FLUJO TURBULENTO.- Dependiendo de las condiciones, un fluido puede moverse en dos tipos diferentes de flujo en cualquier punto de una corriente que está fluyendo. Estos dos tipos de flujo son el laminar y el turbulento, esta distinción entre estas dos trayectorias de flujo fué demostrada por el experimento realizado por Osborne Reynolds. El equipo utilizado en este experimento está en la figura 4.1. Dicho equipo consta de un tubo horizontal sumergido en un tanque de vidrio lleno de agua. Un flujo controlado de agua puede ser sostenido a través del tubo por una válvula. La entrada de el tubo fué ensanchada y se tomaron medidas de seguridad para introducir un filamento fino de agua coloreada desde la parte alta del tanque en la corriente de entrada al tubo. Reynolds encontró que, a bajas velocidades de flujo, el chorro de agua coloreada flota intacta a lo largo con la corriente principal y no hubo mezclado ni cruce de las corrientes. El comportamiento de la faja de color mostró claramente que el agua estaba fluyendo en líneas rectas paralelas. Este tipo de movimiento de fluido es el flujo laminar.

Cuando las velocidades de flujo fueron aumentadas, una velocidad llamada velocidad crítica, fué alcanzada en la cual el hilo de color desapareció y el color se difundió uniformemente a través de toda la sección transversal de el agua que estaba fluyendo. Este comportamiento del agua coloreada mostró que el agua fluyó muy poco en movimiento laminar y al poco tiempo se movió críticamente en forma de corriente cruzadas y turbulencias. Este tipo de movimiento de fluido es el flujo turbulento.

El flujo turbulento es el más frecuente en las aplicaciones prácticas de ingeniería. Muchos métodos de mediciones han sido utilizadas para seguir experimentalmente las turbulencias o remolinos y las fluctuaciones de velocidad que ocurren en el flujo turbulento.

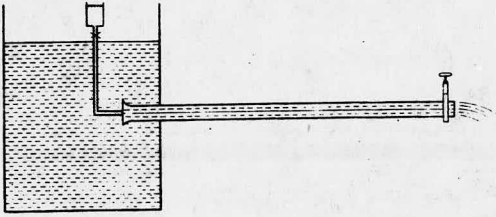


Figura (4.1) Experimento de Reynolds

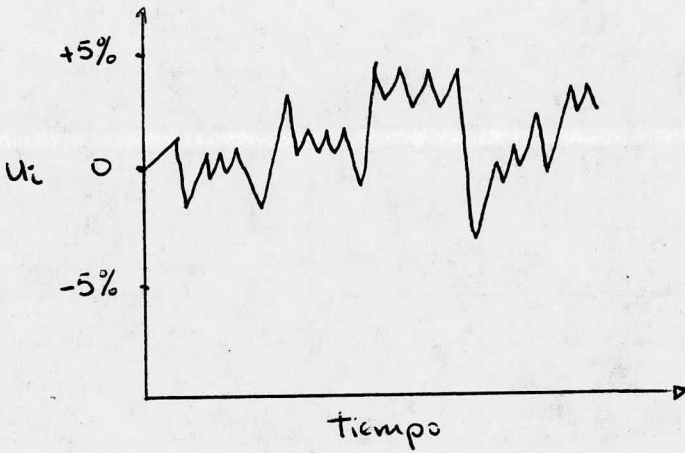


Figura (4.2) Fluctuaciones de velocidad en flujo turbulento.

En la figura 4.2 tenemos una forma de medir estas fluctuaciones de velocidad, esta medición nos muestra que en un flujo turbulento, la velocidad instantánea en un punto dado varía rápidamente con el tiempo en dirección y magnitud. Donde el fluido tiene un flujo neto en una dirección definida, el componente de la velocidad instantánea en la dirección de flujo puede ser separada en dos partes, una parte constante que iguala la velocidad neta de flujo y una parte fluctuante, llamada velocidad de desviación, la cual representa el componente de la velocidad variable en la dirección de flujo. Escribiendo esto en una ecuación tenemos:

$$u_i = u + u' \quad (4.1)$$

$u_i$  = Componente de velocidad instantánea en la dirección de flujo.

$u$  = Velocidad neta constante en la dirección de flujo.

$u'$  = Velocidad de desviación en la dirección de flujo.

Sobre un intervalo de tiempo suficiente, la velocidad de desviación  $u'$  pasa a través de una larga sucesión de valores positivos y negativos y su tiempo promedio es cero. El tiempo promedio de la velocidad instantánea  $u_i$  es entonces igual a la velocidad neta  $u$ . En flujo laminar no hay remolinos o turbulencias, las velocidades de desviación no existen y la velocidad total en la dirección de flujo es a todos los tiempos  $u$ .

En los casos en que el flujo puede ser unas veces turbulento y otras laminar, el flujo turbulento origina una mayor tensión de cortadura en el fluido y produce más pérdidas.

Es así que en flujo turbulento, la pérdida de energía mecánica varía aproximadamente con el cuadrado de la velocidad, mientras que en el laminar lo hace con la primera potencia. En el flujo laminar las partículas del fluido se mueven a lo largo de trayectorias lisas en capas o láminas, deslizándose una capa sobre la adyacente. En el flujo laminar se cumple la ley de Newton de la viscosidad que relaciona la tensión de cortadura con la velocidad angular de deformación. En el flujo laminar la acción de la viscosidad frena la tendencia a la turbulencia. El flujo laminar no es estable cuando es pequeña la viscosidad, o grande la velocidad y se rompe transformándose en turbulento.

Fluido ideal es el que carece de rozamiento y es incomprensible se supone que tiene viscosidad nula.

La capa de fluido en la inmediata vecindad de un contorno

de flujo real, en que se ve afectada la velocidad relativa respecto al contorno por la cortadura viscosa, se llama capa límite.

Las capas límites pueden ser laminares o turbulentas, dependiendo generalmente de su longitud, la viscosidad, la velocidad de flujo próximo a ellas y la rugosidad del contorno.

Cuando el flujo es tal que no entra ni sale calor através de los límites del fluido, el flujo es adiabático. El flujo --- adiabático reversible o sea sin rozamiento se llama flujo isoen trópico.

Cualquiera que sea la naturaleza del flujo, todas las situaciones de flujo están sometidas a los siguientes principios-fundamentales:

- 1.- Los principios de Newton del movimiento se deben cumplir para toda partícula y en cualquier instante.
- 2.- La ecuación de continuidad o sea la ley de conservación de la masa.
- 3.- El primer y segundo principio de la termodinámica.
- 4.- Las condiciones de contorno.
- 5.- Ecuaciones de estado.

El flujo es permanente cuando las propiedades del fluido y las condiciones del movimiento en cualquier punto no cambian con el tiempo.

El flujo es no permanente cuando las condiciones en cualquier punto cambian con el tiempo.

Cuando bombeamos agua por una tubería a un gasto constante se tiene flujo permanente y si el agua se bombea através de una tubería y el gasto de agua fuese creciente con el tiempo se tiene flujo no permanente.

El flujo es uniforme cuando la velocidad en cualquier punto del fluido es constante, es decir que el vector velocidad es idéntico, con igual módulo, dirección y sentido en un instante dado. Esta definición puede aplicarse para el flujo de un fluido real en un conducto abierto o cerrado con un pequeño error en muchos casos.

El flujo es no uniforme cuando el vector velocidad varía - en un instante dado de un punto a otro.

Un ejemplo de flujo uniforme a un líquido que se bombea -- a través de una tubería recta de sección uniforme. Y un líquido - que fluye a través de una tubería de sección variable es un flujo no uniforme.



TEORÍA DE LA LONGITUD DE MEZCLADO DE PRANDTL. - Esta teoría describe en forma cuantitativa al flujo turbulento. Las pérdidas por fricción o rozamiento no son debidas al flujo laminar sino - al intercambio de cantidad de movimiento entre las partículas -- del fluido.

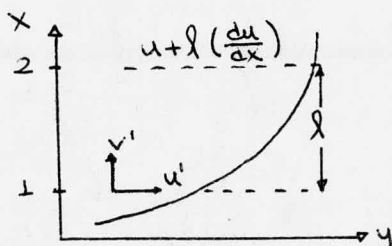


Figura (4.3)

En la región 1 de la figura (4.3) la velocidad media del - fluido es  $u$  y la fluctuación de velocidad en la dirección  $y$  es -  $u'$  y la fluctuación transversal es  $v'$ . En la región 2 y a una -- distancia de la región 1 la velocidad está dada por esta expe-- sión:

$$u + \lambda \frac{du}{dx} \quad (4.2)$$

Prandtl definió la longitud de mezclado como:

$$u' = \lambda \frac{du}{dx} \quad (4.3)$$

La ecuación (4.3) es una velocidad de fluctuación y es -- del orden de la diferencia de dos capas separadas por una dis-- tancia  $\lambda_i$  en donde  $\lambda_i$  es la longitud instantánea de mezclado. - El esfuerzo cortante turbulento instantáneo está dado por la -- expresión:

$$\tau_t | _i = \frac{\rho v' \lambda_i}{gc} \frac{du}{dx} \quad (4.4)$$

donde  $\tau_t | _i$  es el esfuerzo cortante turbulento instantáneo. Reem-- plazando la ecuación (4.3) en (4.4)

$$\tau_t | _i = \frac{\rho v'}{gc} u' \quad (4.5)$$

El esfuerzo cortante turbulento medio queda expresado:

$$\tau_t = \frac{\rho v' u'}{gc} \quad (4.6)$$

Prandtl consideró que  $v'$  y  $u'$  son del mismo orden

$$\tau_t = \frac{\rho v'^2}{gc} = \frac{\rho u'^2}{gc}$$

reemplazando  $u'$  por su valor de la ecuación (4.3)

$$\tau_t = \frac{\rho}{gc} \lambda \frac{du^2}{dx} \quad (4.7)$$

donde  $\lambda$  es la longitud de mezclado de Prandtl y físicamente es la distancia medida en un campo de gradiente  $du/dx$  entre el punto de origen y el punto de decaimiento de una turbulencia.

ESFUERZOS CORTANTES LAMINAR Y TURBULENTO. - El esfuerzo cortante laminar está dado por:

$$\tau_\lambda = - \frac{\mu}{gc} \frac{du}{dx} \quad (4.8)$$

el esfuerzo cortante turbulento está dado por:

$$\tau_t = \frac{\rho}{gc} \left( \lambda \frac{du}{dx} \right)^2 \quad (4.9)$$

$$\tau_{total} = \tau_{turbulento} + \tau_{laminar}$$

$$\tau_{total} = \frac{\rho}{gc} \left( \lambda \frac{du}{dx} \right)^2 + \frac{\mu}{gc} \frac{du}{dx}$$

$$\tau_{total} = \frac{\rho}{gc} \lambda^2 \frac{du}{dx} \frac{du}{dx} + \frac{\mu}{gc} \frac{du}{dx}$$

$$\tau_{total}^{gc} = \rho \lambda^2 \frac{du}{dx} \frac{du}{dx} + \mu \frac{du}{dx} \quad (4.10)$$

Se define  $E_\tau$  como la viscosidad de la turbulencia o remolino y está dado por la expresión:

$$E_\tau = \rho \lambda^2 \frac{du}{dx} \quad (4.11)$$

reemplazando en la ecuación (4.10)

$$\tau_{total}^{gc} = (\mu + E_\tau) \frac{du}{dx} \quad (4.12)$$

$E_\tau$  es análogo a la viscosidad molecular  $\mu$  debido a que el producto de la viscosidad de la turbulencia y el gradiente de velocidad nos da el esfuerzo cortante turbulento.

La ecuación (4.12) da el esfuerzo cortante total sobre el fluido en cualquier sección de ducto como una función de la viscosidad molecular, viscosidad del remolino y gradiente de velocidad media.

ECUACIONES LOGARITMICAS DE DISTRIBUCION DE VELOCIDADES. - -

Si consideramos la ecuación del esfuerzo cortante total.

$$\tau = \frac{\mu_b}{gc} \frac{du}{dx} + \frac{C}{gc} \left( \lambda \frac{du}{dx} \right)^2 \quad (4.13)$$

y si se considera al esfuerzo cortante viscoso despreciable la ecuación queda:

$$\tau = \frac{C}{gc} \left( \lambda \frac{du}{dx} \right)^2 \quad (4.14)$$

esta ecuación expresa el esfuerzo cortante turbulento entre dos capas cualquiera de fluido en términos de la longitud de mezcla  $\lambda$  de Prandtl, la densidad y el gradiente de velocidades.

$$\frac{\tau}{\tau_1} = \frac{r}{r_1} \quad (4.15)$$

donde el esfuerzo a la pared es:

$$\tau = \tau_1 \frac{r}{r_1} \quad (4.16)$$

reemplazando la ecuación (4.16) en (4.14)

$$\tau_1 \frac{r}{r_1} = \frac{C}{gc} \left( \lambda \frac{du}{dx} \right)^2 \quad (4.17)$$

donde  $r$  es la posición radial en la pared del tubo y  $r_1$  es la posición radial en el centro del tubo.

$$\frac{r}{r_1} = \left( 1 - \frac{x}{r_1} \right)$$

$$\tau_1 \left( 1 - \frac{x}{r_1} \right) = \frac{C}{gc} \left( \lambda \frac{du}{dx} \right)^2$$

$$\frac{\tau_1 gc}{C} \left( 1 - \frac{x}{r_1} \right) = \left( \lambda \frac{du}{dx} \right)^2$$

$$\sqrt{\frac{\tau_1 gc}{C}} \sqrt{1 - \frac{x}{r_1}} = \lambda \frac{du}{dx}$$

donde  $\sqrt{\frac{\tau_1 gc}{C}}$  es la velocidad de fricción  $u^*$ , también se le de-

nomina cortante de velocidad.

cuando  $r \rightarrow r_1$

$$\sqrt{\frac{\tau_1}{\rho}} = \lambda \frac{du}{dx}$$

$$u^* = \lambda \frac{du}{dx} \quad (4.18)$$

Prandtl posteriormente consideró que ni la viscosidad ni la rugosidad de la pared tiene un efecto apreciable sobre la posición que se considere. De aquí que para cualquier punto que se encuentre a una distancia X no existe otra longitud característica más que X.

$$\lambda = KX \quad \text{donde } K \text{ es una constante} \quad (4.19)$$

$$u^* = KX \frac{du}{dx}$$

$$du = \frac{u^*}{K} \frac{dx}{X}$$

$$u = \frac{u^*}{K} \ln X + C \quad (4.20)$$

Prandtl y Nikuradse encontraron de datos experimentales que K vale 0.4

Cálculo de C en la ecuación (4.20).- condiciones a la frontera:  $u = u_{\text{máx.}}$  si y solo si  $X = r_1 = r$  cuando no existe la parte laminar

$$u_{\text{máx.}} = \frac{u^*}{K} \ln r_1 + C \quad (4.21)$$

$$C = \frac{u^*}{K} \ln X + u_{\text{máx.}} - \frac{u^*}{K} \ln r_1 \quad (4.22)$$

reemplazando la ecuación (4.22) en (4.20)

$$u = \frac{u^*}{K} \ln X + u_{\text{máx.}} - \frac{u^*}{K} \ln r_1$$

$$u = u_{\text{máx.}} + \frac{u^*}{K} \ln X - \frac{u^*}{K} \ln r_1$$

$$\frac{u^*}{K} = \frac{1}{0.4} = 2.5$$

$$u = u_{\text{máx.}} + 2.5 u^* \ln X - 2.5 u^* \ln r_1$$

$$u = u_{\text{máx.}} + 2.5 u^* (\ln X - \ln r_1)$$

$$u = u_{\text{máx.}} + 2.5 u^* \ln \frac{X}{r_1} \quad (4.23)$$

La ecuación (4.23) es la ecuación de distribución de velocidades.

DISTRIBUCION UNIVERSAL DE VELOCIDADES. - En la figura (4.4) Se considera el flujo en la vecindad de la pared del tubo en -- donde ambos flujos, laminar y turbulento existen aunque la transición de laminar a turbulento es gradual se considerará que la transición toma lugar a una distancia  $d_1$  de la pared del tubo - y que más allá de ese punto solo existen turbulencias totalmente desarrolladas debido a que el gradiente de velocidad es uniforme através de la capa laminar; esto se puede expresar como:

$$\left(\frac{\partial u}{\partial X}\right)_{X=d_1} = \frac{u}{d_1} \quad (4.24)$$

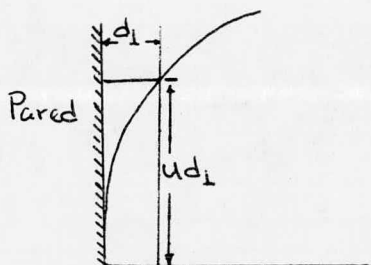


Figura (4.4)

Debido a que únicamente actúan las fuerzas de tipo viscoso en la capa laminar el esfuerzo en la pared se puede expresar en términos de la velocidad y la viscosidad.

$$\tau_{y \text{ gc}} = \mu \frac{du}{dx} \quad (4.25)$$

en la pared

$$\tau_{1 \text{ gc}} = \mu u \frac{d_1}{d_1} \quad (4.26)$$

la velocidad de fricción

$$u^* = \sqrt{\frac{\tau_{1gc}}{\rho}} \quad (4.27)$$

$$u^{*2} = \frac{\tau_{1gc}}{\rho} \quad (4.28)$$

$$\tau_{1gc} = u^{*2} \rho \quad (4.29)$$

reemplazando la ecuación (4.29) en (4.26) :

$$u^{*2} \rho = \mu \frac{u}{d_1} \quad (4.30)$$

$$u d_1 = \frac{u^{*2} \rho d_1}{\mu} \quad (4.31)$$

$$\frac{u}{u^*} d_1 = \frac{u^* \rho d_1}{\mu} \quad (4.32)$$

ambas expresiones de la ecuación (4.32) son adimensionales. Por definición la viscosidad cinemática esta dada por:

$$\nu = \frac{\mu}{\rho} = \frac{\text{viscosidad dinámica}}{\text{densidad}}$$

la ecuación (4.32) queda de la forma:

$$\frac{u}{u^*} d_1 = \frac{u^* d_1}{\nu} \quad (4.33)$$

La ecuación (4.33) establece que la relación de velocidad en el extremo de la capa laminar con respecto a la velocidad de fricción es igual a un número de Reynolds modificado.

$$\frac{u}{u^*} d_1 = \frac{u^* d_1}{\nu} = c \quad (4.34)$$

$$u = u_{\text{máx.}} + 2.5 u^* \ln \frac{x}{r_1} \quad (4.35)$$

dividiendo la ecuación (4.35) entre  $u^*$

$$\frac{u}{u^*} = \frac{u_{\text{máx.}}}{u^*} + 2.5 \ln \frac{x}{r_1} \quad (4.36)$$

$$\text{haciendo : } u = u d_1 \quad \text{y} \quad x = d_1 \quad (4.37)$$

$$\frac{u}{u^*} d_1 = \frac{u_{\text{máx.}}}{u^*} + 2.5 \ln \frac{d_1}{r_1} \quad (4.38)$$

de la ecuación (4.34)

$$d_1 = \frac{c \sqrt{\nu}}{u^*} \quad (4.39)$$

$$\frac{u}{u^*} d_1 = \frac{u_{\text{máx.}}}{u^*} + 2.5 \ln \frac{c \sqrt{\nu}}{u^* r_1} \quad (4.40)$$

$$\frac{u_{\text{máx.}}}{u^*} = \frac{u}{u^*} d_1 - 2.5 \ln \frac{c \sqrt{\nu}}{u^* r_1} \quad (4.41)$$

$$c = \frac{u_{\text{máx.}}}{u^*} + 2.5 \ln \frac{c \sqrt{\nu}}{u^* r_1} \quad (4.42)$$

$$\frac{u_{\text{máx.}}}{u^*} = c - 2.5 \ln \frac{c \sqrt{\nu}}{u^* r_1} \quad (4.43)$$

agrupando las dos constantes:

$$\frac{u_{\text{máx.}}}{u^*} = c_1 - 2.5 \ln \frac{\sqrt{\nu}}{u^* r_1} \quad (4.44)$$

La ecuación (4.44) nos relaciona la velocidad máxima con la velocidad de fricción, la posición y una sola característica del fluido.

Reemplazando la ecuación (4.36) en (4.44):

$$\frac{u}{u^*} = c_1 - 2.5 \ln \frac{\sqrt{\nu}}{u^* r_1} + 2.5 \ln \frac{x}{r_1}$$

$$\frac{u}{u^*} = c_1 + 2.5 \ln \frac{x}{r_1} - 2.5 \ln \frac{\sqrt{\nu}}{u^* r_1}$$

$$\frac{u}{u^*} = c_1 + 2.5 \ln \frac{x}{\sqrt{\nu}} \frac{u^*}{r_1} \quad (4.45)$$

$$u^+ = \frac{u}{u^*} \quad (4.46)$$

$$X^+ = \frac{x}{\sqrt{\nu}} \frac{u^*}{r_1} \quad (4.47)$$

$u/u^*$  es la relación de velocidad puntual con respecto a la velocidad de la fricción.

$\frac{x}{\nu} u^*$  es el Reynolds modificado, incluye la velocidad de fricción, la distancia a la pared y la viscosidad cinemática -- del fluido.

Reemplazando las ecuaciones (4.46) y (4.47) en (4.45):

$$u^+ = C_1 + 2.5 \ln x^+ \quad (4.48)$$

La ecuación (4.48) representa la distribución de velocidad des para flujo turbulento en ductos circulares.

Nikuradse y Von Kármán encontraron que:

- 1.- Para la primera capa de sistema de flujo turbulento - se tiene la subcapa laminar y ésta opera en regiones -- donde  $x^+ = 0$ ; esto es en la pared del tubo y donde  $x^+ = 5$  es a una corta distancia de la pared. La velocidad puntual y la posición están relacionadas por la pared. La velocidad puntual y la posición están relacionadas por la ecuación:

$$u^+ = x^+ \quad (4.49)$$

- 2.- Para la segunda parte la capa amortiguadora opera des de las posiciones radiales  $x^+ = 5$  y  $x^+ = 30$  y la ecuación que propusieron fué:

$$u^+ = - 3.05 + 5.0 \ln x^+ \quad (4.50)$$

- 3.- Para la tercera región que es la capa turbulenta ó el núcleo; los límites van de las posiciones radiales de  $x^+ = 30$  hasta el centro del tubo y la ecuación que se propone es:

$$u^+ = 5.5 + 2.5 \ln x^+ \quad (4.51)$$

### TEORIA DE LA MEMBRANA DE ESFUERZO

Base del análisis.- El flujo laminar.

En el movimiento laminar el fluido se mueve en la dirección de flujo sin ningún otro componente de velocidad en ninguna otra dirección.

$$\tau_{y \text{ gc}} = -\mu \frac{du}{dx} \quad (4.25)$$



La resistencia de las membranas o sea el esfuerzo del fluido aumenta en forma lineal desde cero en el centro del ducto -- hasta un valor máximo en la pared. Por lo que se puede decir que las membranas más resistentes estarán en la pared.

$$\frac{\tau_{y \text{ gc}}}{(\tau_{y \text{ gc}})_1} = \frac{r}{r_1} \quad (4.52)$$

Cuando eventualmente se forma una turbulencia, una parte del fluido está sujeta a una fuerza que tiende a dar una componente de velocidad en otra dirección. En oposición a esta fuerza la membrana tiende a limitar el flujo hacia un arreglo ordenado.

Si la energía cinética del elemento de fluido deformado es muy elevada, puede penetrar a otra membrana y entonces sí forma un verdadero remolino. Se puede decir que todo remolino que se forma encuentra una membrana lo suficientemente resistente, la cual vence la energía cinética del remolino. En este punto se absorbe el remolino y se reanuda el flujo laminar.

En la pared la membrana de esfuerzos está soportada por la pared y ésta es lo suficientemente fuerte como para que cualquier turbulencia la penetre. Este soporte se comunica al fluido y forma la subcapa laminar en la cual el remolino no tiene ninguna actividad.

#### DEDUCCION DEL NUMERO DE REYNOLDS Y DEL FACTOR DE FRICCIÓN

Partimos de la ecuación (3.75)

$$u = \frac{\Delta P}{4 \mu} \frac{g_c}{\Delta y} (r^2 - r_1^2) \quad (3.75)$$

$$\bar{u} = - \frac{\Delta P}{8 \mu} \frac{g_c}{\Delta y} r_1^2 \quad (3.81)$$

dividiendo la ecuación (3.75) entre (3.81):

$$\frac{u}{\bar{u}} = 2 \left( \frac{r^2 - r_1^2}{r_1^2} \right) \quad (4.53)$$

$$\frac{u}{\bar{u}} = 2 \left[ 1 - \left( \frac{r}{r_1} \right)^2 \right] \quad (4.54)$$

donde:

$u$  es la velocidad puntual.

$\bar{u}$  es la velocidad media del fluido.

$r_1$  es el radio al límite.

$r$  es el radio en cualquier posición.

$$u = 2 \bar{u} \left[ 1 - \left( \frac{r}{r_1} \right)^2 \right] \quad (4.55)$$

$$du = 2 \bar{u} \left[ 0 - 2 \left( \frac{r}{r_1} \right) \frac{r_1 dr}{r_1^2} \right] \quad (4.56)$$

$$du = 2 \bar{u} \left[ - 2 \frac{r dr}{r_1^2} \right] \quad (4.57)$$

$$du = - 4 \bar{u} \frac{r dr}{r_1^2} \quad (4.58)$$

$$\frac{du}{dr} = - 4 \frac{\bar{u} r}{r_1^2} \quad (4.59)$$

De la ecuación de flujo laminar:

$$\tau_{y \text{ gc}} = \mu \frac{du}{dr} \quad (4.25)$$

$$\frac{du}{dr} = - \frac{\tau_{y \text{ gc}}}{\mu} \quad (4.60)$$

igualando las ecuaciones (4.59) y (4.60):

$$\frac{\tau_{y \text{ gc}}}{\mu} = \frac{4 \bar{u} r}{r_1^2} \quad (4.61)$$

$$\tau_{y \text{ gc}} = \frac{4 \bar{u} r \mu}{r_1^2} \quad (4.62)$$

Condiciones a la frontera:

en la pared cuando  $r \rightarrow r_1$  por lo que  $\tau_{y \text{ gc}} \rightarrow (\tau_{y \text{ gc}})_1$

$$(\tau_{y \text{ gc}})_1 = \frac{4 \bar{u} \mu r_1}{r_1^2} = \frac{4 \bar{u} \mu}{r_1} \quad (4.63)$$

$$r_1 = D/2$$

$$(\tau_{Y \text{ gc}})_1 = \frac{4 \bar{u} \mu}{D/2} = \frac{8 \bar{u} \mu}{D} \quad (4.64) \quad (12)$$

La ecuación (4.64) establece que la transferencia total - de cantidad de movimiento en la pared es igual a la velocidad - de transferencia de cantidad de movimiento que se efectúa a través del fluido por transporte molecular. En este caso se incluyen dos mecanismos, transporte total hacia la pared y transporte por difusión molecular.

El área de la sección transversal del tubo es  $S_1$

$$S_1 = \pi D^2/4 = 0.785 D^2$$

El área lateral del cilindro es  $A_1 = \pi DL$

donde  $L$  es la longitud del tubo y  $D$  es el diámetro.

Haciendo un balance de fuerzas:

$$(\tau_Y A)_1 = (-\Delta P) S_1 \quad (4.65)$$

$$(\tau_Y \pi DL)_1 = (-\Delta P) \frac{\pi}{4} D^2 \quad (4.66)$$

$$(\tau_Y)_1 = \frac{(-\Delta P) \pi/4 D^2}{\pi DL} = \frac{(-\Delta P) D}{4L} \quad (4.67)$$

igualando las ecuaciones (4.64) y (4.67):

$$(\tau_Y \text{ gc})_1 = \frac{8 \bar{u} \mu}{D} = \frac{(-\Delta P) \text{ gc } D}{4L} \quad (4.68)$$

multiplicando la ecuación (4.68) por 4

$$4(\tau_Y \text{ gc})_1 = \frac{32 \bar{u} \mu}{D} = \frac{(-\Delta P) \text{ gc } D}{L} \quad (4.69)$$

Dividiendo la ecuación (4.69) entre  $\rho \bar{u}^2/2$  que representa la energía cinética del fluido.

$$\frac{4(\tau_Y \text{ gc})_1}{\rho \frac{\bar{u}^2}{2}} = \frac{32 \bar{u} \mu}{\frac{D \rho \bar{u}^2}{2}} = \frac{(-\Delta P) \text{ gc } D}{\rho \frac{\bar{u}^2}{2} L}$$

$$\frac{8 (\tau_y)_{gc}}{\rho \bar{u}^2} L = \frac{64 \bar{u} \mu}{D \rho \bar{u}^2} = \frac{2 (-\Delta P)_{gc} D}{\rho \bar{u}^2 L} \quad (4.70)$$

Los términos extremos de la ecuación (4.70) son la relación de dos mecanismos que son la transferencia total de cantidad de movimiento con respecto a la transferencia de cantidad de movimiento por mecanismo turbulento. Y estas dos expresiones representan el factor de fricción  $f'$ :

$$f' = \frac{8 (\tau_y)_{gc}}{\rho \bar{u}^2} = \frac{2 (-\Delta P)_{gc} D}{\rho \bar{u}^2 L} \quad (4.71)$$

El término del medio en la ecuación (4.70) representa la relación del transporte de cantidad de movimiento por mecanismo molecular con respecto al transporte de cantidad de movimiento por mecanismo turbulento. Al recíproco de esta relación se le llama el número de Reynolds.  $N_{Re}$ .

$$\frac{64 \mu}{D \rho \bar{u}} = \frac{64}{N_{Re}}$$

$$N_{Re} = \frac{D \bar{u} \rho}{\mu} \quad (4.72)$$

La expresión para el factor de fricción:

$$f' = \frac{64}{N_{Re}}$$

sólo se aplica para flujo laminar.

Para flujo turbulento:

$$f' = f(N_{Re}) = A (N_{Re})^B$$

De la ecuación (4.70):

$$\frac{64 \mu}{D \bar{u} \rho} = \frac{2 (-\Delta P)_{gc} D}{\rho \bar{u}^2 L}$$

$$-\Delta P = \frac{64 \mu \rho \bar{u}^2 L}{2 gc D^2 \bar{u}}$$

$$-\Delta P = \frac{32 \mu \bar{u} L}{gc D^2} \quad (4.73)$$

La ecuación (4.73) es similar a la ecuación de Poiseuille.

Al graficar el factor de fricción  $f'$  contra el número de Reynolds  $N_{Re}$ . Figura (4.5), en esta gráfica tenemos marcadas tres zonas; A B y C. La zona A es para números de Reynolds bajos y sus límites están entre 100 y 2100. Esta zona se conoce como la región laminar. La zona B se denomina de transición y sus límites son entre  $N_{Re}$  de 2100 y 3500. En esta región existe flujo laminar y flujo turbulento. La zona C es continua en donde la actividad de los remolinos es violenta y de acuerdo con la teoría de la membrana de esfuerzo rompe a ésta; transfiriéndose la cantidad de movimiento por actividad del remolino y la difusión molecular.

Las expresiones para el factor de fricción en la figura (4.4) son:

$$f' = \frac{64}{N_{Re}} \quad \text{para flujo laminar} \quad (4.74)$$

$$f' = \frac{0.184}{N_{Re}^{0.2}} \quad \text{para flujo turbulento} \quad (4.75)$$

la ecuación (4.75) es para valores de números de Reynolds desde 5,000 hasta 200,000.

$$f' = 0.00560 + \frac{0.5}{N_{Re}^{0.32}} \quad (4.76)$$

la ecuación (4.76) es para valores de números de Reynolds desde 3000 hasta 3000000.

**LA CAPA LIMITE.**- Prandtl desarrolló el concepto de la capa límite, que proporciona un importante enlace entre el flujo de un fluido ideal y el de un fluido real. Para fluidos con viscosidad pequeña el efecto de rozamiento interno en el fluido es apreciable solamente en una estrecha región a los límites del fluido. Cuando comienza un movimiento en un fluido de poca viscosidad y el fluido en las paredes tiene una velocidad de cero con relación a éstas paredes, existe un gradiente de velocidades muy grande desde la pared hacia el interior del flujo. Este gradiente de velocidad en un fluido real origina cerca de la pared unas fuerzas de cortadura que reducen la velocidad relativa a la pared. La capa de fluido que tiene su velocidad afectada por estas fuerzas de cortadura se llama capa límite. La velocidad en la capa límite tiende asintóticamente a la velocidad de flujo principal como se ve en la figura (4.6).

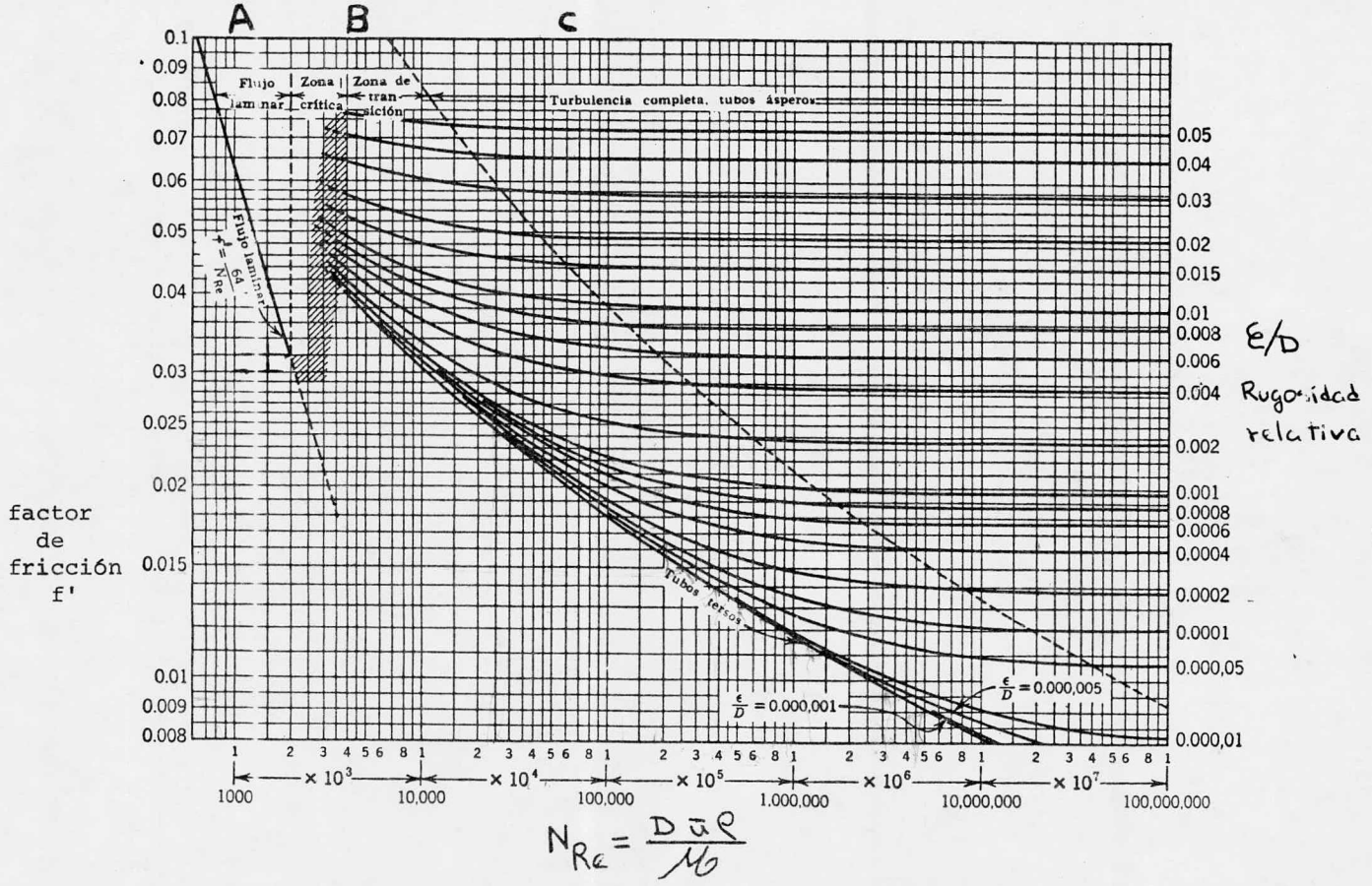


Figura (4.5) número de Reynolds

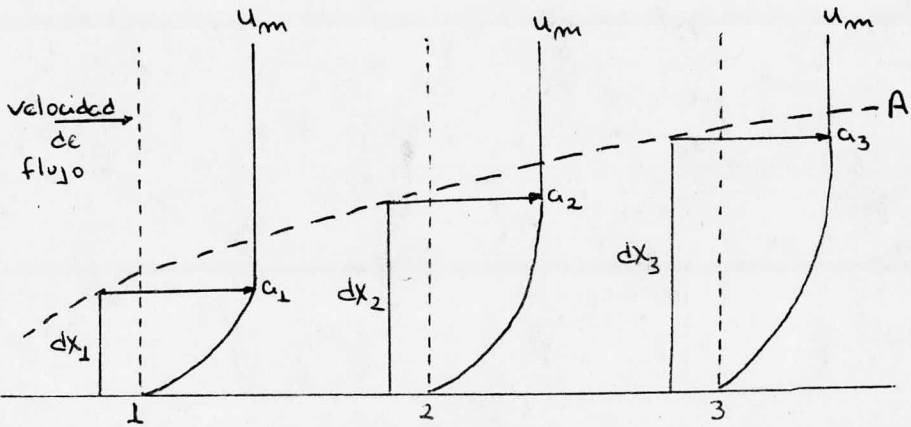


Figura (4.6).  $u_m$  es la velocidad de la corriente que no se revolvió,  $u$  es la velocidad local.  $dx$  es el grosor de la capa límite a una distancia  $X$ . La curva  $A$  es el límite externo de la capa límite.

En superficies lisas la capa límite empieza siendo una capa límite laminar en donde las partículas se mueven en finas capas. Al ir aumentando el espesor de la capa límite ésta se hace inestable y se transforma en una capa límite turbulenta -- con las partículas fluidas moviéndose en trayectorias al azar, aunque su velocidad se ve reducida por la acción de la viscosidad en la pared. Aún cuando la capa límite se haya vuelto turbulenta, existe todavía una subcapa laminar muy delgada próxima a la pared que tiene movimiento laminar.

## C A P I T U L O V

## BALANCES DE ENERGIA

LA LEY DE LA CONSERVACION DE LA MATERIA. - La ley de la conservación de la materia nos da una relación importante sobre el flujo a través de una tubería. La velocidad de flujo másico dentro de la tubería debe ser igual a la velocidad de flujo másico fuera de la tubería.

En la figura 5.1 tenemos la corriente que fluye a través de un tubo. El fluido entra en un punto donde el área de la sección transversal de el tubo es  $dS_a$  y sale del tubo en un punto donde el área de la sección transversal es  $dS_b$ . Siendo  $u_a$  y  $\rho_a$  la velocidad y la densidad a la entrada y  $u_b$  y  $\rho_b$  la velocidad y la densidad a la salida.

De donde la masa de fluido entrando al tubo y saliendo del tubo en unidad de tiempo es

$$dL = \rho_a u_a dS_a = \rho_b u_b dS_b \quad (5.1)$$

donde L es la velocidad de flujo en masa por unidad de tiempo.

La ecuación anterior es la llamada ecuación de continuidad. Se puede expresar como

$$dL = u \rho ds = cte \quad (5.2)$$

Ahora si suponemos la densidad constante a través de toda la sección transversal S. Al integrar esta ecuación tenemos:

$$L = \rho \int_0^S u ds \quad (5.3)$$

VELOCIDAD MEDIA. - Si tenemos una sección transversal --- de una corriente en un tubo bastante grande, la velocidad local  $u$  no puede ser la misma en todos los puntos en la sección transversal.



La velocidad local es cero en la pared y cambia a medida que se aleja de la pared de la tubería. Por esto es necesario distinguir entre velocidades locales y velocidad media. -- Ahora si el fluido es calentado o enfriado, la densidad del fluido varía de punto en punto en una sección transversal.

La velocidad media a través de una corriente en una tubería está definida como

$$\bar{u} = \frac{L}{S \rho} = \frac{L}{S} \quad (5.4)$$

$\frac{L}{S}$  = velocidad de flujo volumétrico  
 $S$  = área transversal del tubo

Si comparamos las ecuaciones (5.3) y (5.4) podemos ver la relación entre la velocidad local  $u$  y la velocidad media  $\bar{u}$ .

$$\bar{u} = \frac{L}{S \rho} = \frac{\int_0^S u \, ds}{S \rho} \quad (5.5)$$

Si suponemos que la densidad es constante a través de la sección transversal del tubo, las velocidades  $u$  y  $\bar{u}$  son iguales solo si la velocidad local es la misma en todos los puntos de la sección transversal de área.

La ecuación de continuidad viene a ser:

$$L = \rho_a \bar{u}_a S_a = \rho_b \bar{u}_b S_b = \rho \bar{u} S = \text{cte.} \quad (5.6)$$

En el caso de que el flujo sea a través de una tubería de sección transversal circular

$$L = \rho_a \bar{u}_a \frac{\pi}{4} D_a^2 = \rho_b \bar{u}_b \frac{\pi}{4} D_b^2 \quad (5.7)$$

la masa velocidad está definida por:

$$L_u = \frac{L}{S} = \bar{u} \rho \quad (5.8)$$

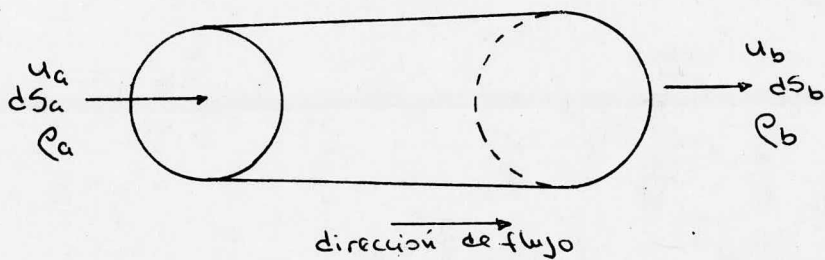


Figura (5.1)

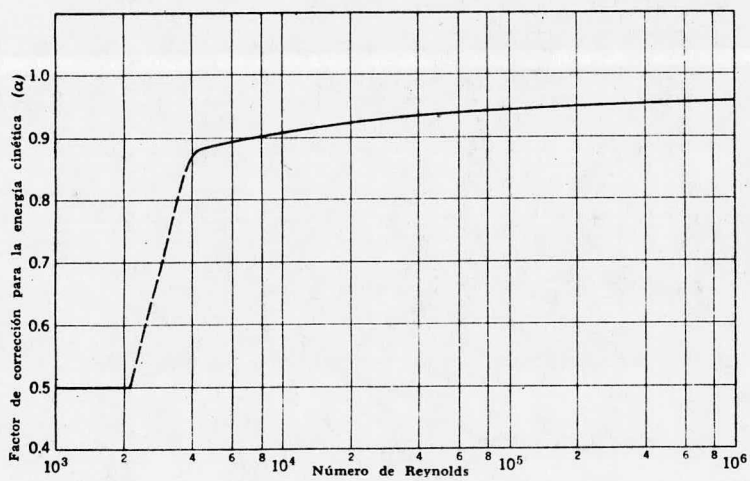


Figura (5.2)

La ventaja de usar  $L_u$  es que es independiente de la presión y la temperatura cuando el flujo es continuo o sea  $L$  - constante y la sección transversal es constante; esto es muy - útil cuando se tiene fluidos compresibles donde la velocidad - media y la densidad varían con la presión y la temperatura.

BALANCE DE ENERGIA. - Bases para su deducción:

- 1.- El sistema es abierto y a régimen permanente, por - lo que se considera que las propiedades físicas del fluido no se modifican con el tiempo.
- 2.- El gasto en masa a la entrada y a la salida es con - stante.
- 3.- La adición de calor y la producción de trabajo son - constantes.

El principio de conservación de la energía nos dice que la energía total que entra al sistema debe ser igual a la energ - gía total que sale del sistema.

TIPOS DE ENERGIA. - El fluido en movimiento lleva consig - go energía, y existe un intercambio de energía entre el fluido y sus alrededores o viceversa.

La energía transportada por el fluido comprende:

- 1.- La energía interna  $E$  que es la energía asociada con - a) el estado físico del fluido, por ejemplo la energía de los átomos y moléculas resultantes de su movi--- - miento y configuración. Sin considerar sus posicio--- - nes o movimientos relativos.
- 2.- La energía transportada por el fluido debido a su - estado de movimiento o de posición:
  - a) La energía potencial o de posición. - Esta es la - energía que el fluido tiene debido a su posición en el campo gravitacional de la tierra. Es el traba--- - jo requerido para elevar una unidad de masa de - fluido a una altura  $Z$  sobre un nivel de base es--- - cogido arbitrariamente. Esto es  $mgZ$  donde  $g$  es - la aceleración gravitacional.
  - b) La energía cinética. - Es la energía del fluido - en movimiento. La energía cinética de la unidad-

de masa del fluido es  $\frac{m}{2} \frac{\bar{u}^2}{\alpha gc}$ .  $\bar{u}$  es la velocidad media lineal del fluido en la tubería. Y  $\alpha$  es el factor de corrección adimensional que se toma en cuenta para la distribución de la velocidad a través de la tubería.

En la figura (5.2) tenemos graficado el factor de corrección  $\alpha$  para la energía cinética como una función del número de Reynolds.

- c) La energía de presión PV.- Es la energía o trabajo requerido para introducir el fluido en el sistema sin un cambio en volumen Si P es la presión y V es el volumen de una masa de fluido m, entonces  $\frac{PV}{m}$  es la energía de presión por unidad de masa de fluido. La relación  $m/V$  es la densidad del fluido y a veces se puede escribir la energía de presión como  $P/\rho$ .

La energía transferida entre el fluido en movimiento y sus alrededores es de dos clases:

- 1.- El calor q absorbido por el fluido de sus alrededores durante su desplazamiento. El valor de q es positivo si el calor se transfiere del medio ambiente al sistema.
- 2.- El trabajo w'f efectuado por el fluido sobre los alrededores durante su desplazamiento. Se le denomina también trabajo de flecha. Para que el fluido pueda dar trabajo a los alrededores se requiere de un equipo que puede ser una bomba, turbina, etc. w'f es positivo si el trabajo es efectuado por el fluido y se transfiere a los alrededores.

Un balance de energía de un sistema de flujo entre los puntos 1 y 2 como está en la figura (5.3) y sus alrededores, suponiendo que no haya acumulación de energía en ningún punto del sistema está dado por la siguiente ecuación, tomando como base una masa unitaria:

$$\bar{E}_1 + \frac{\bar{u}_1^2}{2\alpha gc} + Z_1 \frac{g}{gc} + P_1 V_1 + q = \bar{E}_2 + \frac{\bar{u}_2^2}{2\alpha gc} + Z_2 \frac{g}{gc} + P_2 V_2 + w'f$$

(5.9)

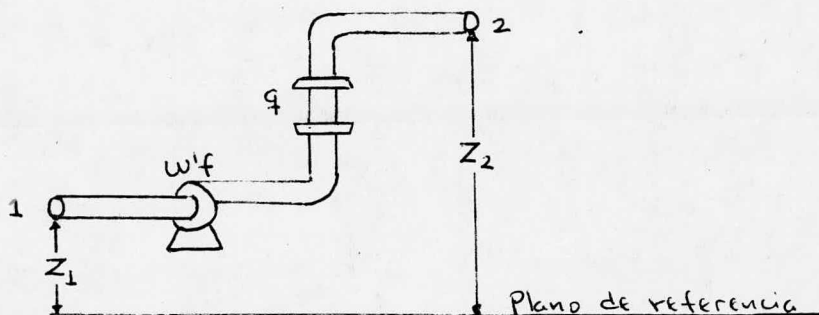


Figura (5.3)

Los términos de la izquierda de la ecuación (5.9) nos representa la energía transferida al sistema y los términos -- de la derecha nos representa la energía transferida por el sistema hacia los alrededores. La ecuación (5.9) es dimensionalmente homogénea.

La entalpia está definida como:

$$H = E + PV \quad (5.10)$$

La ecuación (5.9) queda de la siguiente manera:

$$H_1 + \frac{\bar{u}_1^2}{2 \times g_c} + Z_1 \frac{g}{g_c} + q = H_2 + \frac{\bar{u}_2^2}{2 \times g_c} + Z_2 \frac{g}{g_c} + w'f \quad (5.11)$$

$$\Delta H = H_2 - H_1 \quad (5.12)$$

$$\frac{\Delta \bar{u}^2}{2 \times g_c} = \frac{\bar{u}_2^2 - \bar{u}_1^2}{2 \times g_c} \quad (5.13)$$

$$\Delta Z \frac{g}{g_c} = \frac{(Z_2 - Z_1)g}{g_c} \quad (5.14)$$

El cambio de entalpia de un sistema con respecto a la temperatura se calcula por medio de la siguiente ecuación:

$$\Delta H = \int_{T_1}^{T_2} C_p dT \quad (5.15)$$

$C_p$  es la capacidad calorífica en BTU/lb. °F  
 $T_1$  y  $T_2$  temperaturas inicial y final en °F  
 $\Delta H$  es el cambio de entalpia en BTU/lb.

ECUACION DE BERNOULLI. - Esta ecuación es de un balance de energía mecánica en el que se hacen las siguientes consideraciones:

- 1.- El fluido no está sujeto a esfuerzos cortantes.
- 2.- El sistema es isotérmico y el volumen por unidad de masa es constante.

Estas dos condiciones son las que debe cumplir un fluido ideal. La ecuación (5.9) nos queda de la siguiente forma:

$$\frac{\bar{u}_1^2}{2\alpha g_c} + Z_1 \frac{g}{g_c} + \frac{P_1}{\rho} = \frac{\bar{u}_2^2}{2\alpha g_c} + Z_2 \frac{g}{g_c} + \frac{P_2}{\rho} \quad (5.16)$$

Esta es la ecuación de Bernoulli.

LA FRICCIÓN EN LOS FLUIDOS. - En el flujo de fluidos se presenta el fenómeno de la fricción y siempre existe un esfuerzo cortante sobre el fluido. La fricción convierte la energía mecánica en calor y por consiguiente no todo el trabajo que efectúa el fluido se transfiere a los alrededores y toda la energía que pierde el fluido aparece como calor.

$$q = q' + \sum Hfs \quad (5.17)$$

$$w = w'f + \sum Hfs \quad (5.18)$$

En estas ecuaciones

$q$  es el calor absorbido por el fluido

$q'$  es el calor transferido desde los alrededores

$w$  es el trabajo total hecho por el fluido

$w'f$  es el trabajo de flecha transferido hacia los alrededores

$Hfs$  son las pérdidas por fricción

Si tenemos la ecuación del balance de energía escrita en esta forma:

$$\Delta E + \Delta\left(\frac{\bar{u}^2}{2 \times gc}\right) + \Delta Z \frac{g}{gc} + \Delta(PV) = q' - w'f \quad (5.19)$$

de la ecuación (5.17)

$$q' = q - \sum Hfs$$

sustituyendo en la ecuación (5.19)

$$\Delta E + \Delta\left(\frac{\bar{u}^2}{2 \times gc}\right) + \Delta Z \frac{g}{gc} + \Delta(PV) = q - \sum Hfs - w'f \quad (5.20)$$

de acuerdo a la primera ley de la termodinámica

$$\Delta E = q - w \quad (5.21)$$

$$w = \int_1^2 PdV \quad (5.22)$$

$$\Delta E = q - \int_1^2 PdV \quad (5.23)$$

reemplazando (5.23) en (5.20)

$$q - \int_1^2 PdV + \Delta\left(\frac{\bar{u}^2}{2 \times gc}\right) + \Delta Z \frac{g}{gc} + \Delta(PV) = q - \sum Hfs - w'f \quad (5.24)$$

$$\Delta PV = \int_{V_1}^{V_2} PdV + \int_{P_1}^{P_2} VdP \quad (5.25)$$

reemplazando (5.25) en (5.24)

$$- \int_1^2 PdV + \Delta\left(\frac{\bar{u}^2}{2 \times gc}\right) + \Delta Z \frac{g}{gc} + \int_{V_1}^{V_2} PdV + \int_{P_1}^{P_2} VdP = - \sum Hfs - w'f$$

$$\Delta\left(\frac{\bar{u}^2}{2 \times gc}\right) + \Delta Z \frac{g}{gc} + \int_{P_1}^{P_2} VdP + \sum Hfs = - w'f$$

(5.26)



La ecuación (5.26) representa el balance de energía de un fluido en un sistema. Esta ecuación se aplica a fluidos incompresibles en tuberías o canales abiertos.

ANÁLISIS DE LA SUMA DE PERDIDAS POR FRICCIÓN. - En los cálculos de flujo de fluidos en tuberías debe de tomarse muy en cuenta las pérdidas por fricción y a continuación haremos un análisis de los mismos por unidad de longitud.

$$H_{fs} = f (K, \rho, \bar{u}, D, gc)$$

$$\left[ \frac{H_{fs}}{L} \right] = \frac{\frac{lb}{ft} - ft}{lb - ft} = \left[ \frac{F}{M} \right] \quad (5.27)$$

$$K = \frac{lb}{ft-hr} = \left[ \frac{M}{L\Theta} \right]$$

$$\bar{u} = \frac{ft}{seg} = \left[ \frac{L}{\Theta} \right]$$

$$D = ft. = [L]$$

$$\rho = \frac{lb}{ft^3} = \left[ \frac{M}{L^3} \right]$$

$$gc = \frac{lb-ft}{lb-seg^2} = \left[ \frac{ML}{F\Theta^2} \right]$$

	$K$	$\rho$	$\bar{u}$	$D$	$gc$
M	1	1	0	0	1
F	0	0	0	0	-1
L	-1	-3	1	1	1
$\Theta$	-1	0	-1	0	-2

$$\frac{F}{M} = \left[ \frac{M}{L\Theta} \right]^a \left[ \frac{M}{L^3} \right]^b \left[ \frac{L}{\Theta} \right]^c [L]^d \left[ \frac{ML}{F\Theta^2} \right]^e \quad (5.28)$$

$$[F] = 1 = -e \quad (5.29)$$

$$[M] = -1 = a + b + c \quad (5.30)$$

$$[L] = 0 = -a - 3b + c + d + e \quad (5.31)$$

$$[\Theta] = 0 = -a - c - 2e \quad (5.32)$$

de (5.29)  $e = -1$

reemplazando en (5.30) 2



$$\begin{aligned} -1 &= a + b - 1 \\ a &= -b \end{aligned}$$

en (5.32) 4

$$\begin{aligned} 0 &= b - c - 2e \\ 0 &= b - c + 2 \\ c &= b + 2 \end{aligned}$$

en (5.31) 3

$$\begin{aligned} 0 &= +b - 3b + b + 2 + c - 1 \\ 3 &= -b + d + 1 \\ d &= b - 1 \end{aligned}$$

$$\frac{\sum H_{fs}}{L} = (\mu_0^{-b}) (\rho^b) (\bar{u}^{b+2}) (D^{b-1}) (g_c^{-1}) \quad (5.33)$$

$$\frac{\sum H_{fs}}{L} = \left( \frac{\bar{u}^2}{D g_c} \right) \left( \frac{D \bar{u} \rho}{\mu_0} \right) = \left( \frac{\bar{u}^2}{D g_c} \right) (N_{Re}) \quad (5.34)$$

Existen 2 definiciones del factor de fricción:

el factor de D'Arcy  $f_D$

$$f_D = \frac{2 H_{fs} g_c D}{\bar{u}^2 L e} \quad (5.35)$$

$$H_{fs} = \frac{f_D \bar{u}^2 L e}{2 g_c D} \quad (5.36)$$

para flujo laminar

$$f_D = \frac{64}{N_{Re}} \quad (5.37)$$

para flujo turbulento

$$f_D = f(N_{Re}, E/D) \quad (5.38)$$

$$f' = \frac{2 H_{fs} g_c D}{\bar{u}^2 L} \quad (5.39)$$

$$H_{fs} = \frac{f' \bar{u}^2 L}{2 g_c D} \quad (5.40)$$

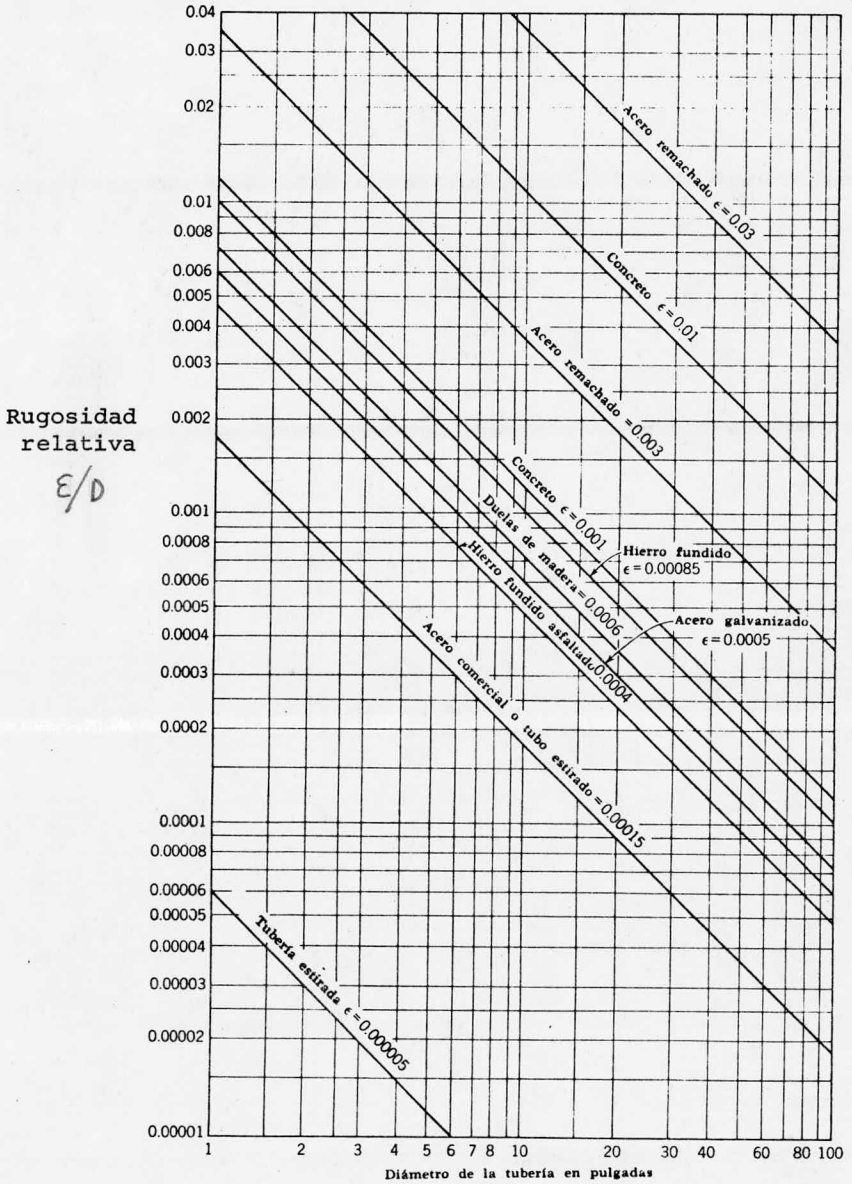


Figura (5.4)

para flujo laminar

$$f' = \frac{16}{N_{Re}} \quad (5.41)$$

para flujo turbulento

$$f' = f(N_{Re}, \epsilon/D) \quad (5.42)$$

$$f_D = 4 f' \quad (5.43)$$

TRABAJO DE LA BOMBA. - Una bomba es utilizada en un sistema de flujo para aumentar la energía mecánica del fluido. El aumento en la energía es utilizado para mantener el flujo. En la ecuación (5.26) el trabajo se efectúa sobre el fluido, por lo que el signo debe ser negativo.

La potencia requerida para el bombeo está dada en HP. 1-HP es equivalente a 550 lb.- ft./seg.

$$\mathcal{P} = \frac{L w'f}{550} \quad (5.44)$$

donde  $L$  es el gasto másico en  $\frac{\text{lb.}}{\text{seg.}}$ ,  $\frac{\text{kg}}{\text{seg.}}$ .

sabemos que  $w'f$  está dado en  $\frac{\text{ft.}}{\text{lb.}}$ ,  $\frac{\text{kg} \cdot \text{m}}{\text{kg}}$

$\mathcal{P}$  nos dá en HP

LA RUGOSIDAD. - Generalmente cuando se tiene flujo turbulento en una tubería rugosa el factor de fricción es mucho mayor que cuando se tiene una tubería lisa para un número de Reynolds dado. De aquí la importancia de la rugosidad.

Los factores de fricción Fanning y D'Arcy son funciones de la rugosidad y del número de Reynolds.

La rugosidad relativa está dada por la expresión  $\epsilon/D$  - donde  $\epsilon$  es la rugosidad absoluta y  $D$  es el diámetro interno de la tubería.

Para calcular la rugosidad relativa o absoluta y el factor de fricción lo hacemos de acuerdo al material de la tubería y por medio de la figura (5.4).

PERDIDAS POR FRICCIÓN EN EXPANSIONES SUBITAS.

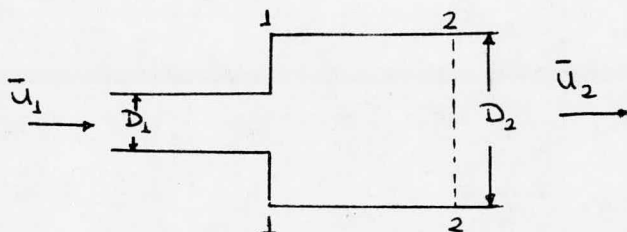


Figura (5.5)

Cuando la velocidad de un fluido cambia en dirección ó en magnitud ya sea porque cambia la dirección o el tamaño del ducto. Se genera otro tipo de fricción. Esta incluye la fricción de forma, que resulta de los remolinos o turbulencias que se desarrollan cuando el flujo se perturba y por ende existe una separación de la capa límite.

En la figura (5.5) tenemos una sección de un tubo que se expande súbitamente y cuando esto sucede tenemos que:

- 1.- La corriente de fluido se separa de la pared y forma un chorro en el tubo de mayor sección.
- 2.- A medida que el fluido avanza el chorro se expande y llena totalmente la sección del otro tubo.
- 3.- El espacio entre el chorro y la pared del conducto se llena de fluido con movimiento de remolino o turbulencia característica de la separación de la capa límite generándose en este espacio una fricción considerable.

PERDIDAS POR FRICCIÓN EN CONTRACCIONES SUBITAS.

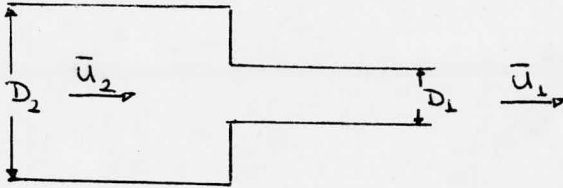


Figura (5.6)

Cuando la sección del tubo se reduce súbitamente. Figura (5.6). La corriente de fluido no puede seguir fluyendo en las esquinas y la corriente en contacto con la pared se separa formando un chorro que fluye hacia el tubo de menor sección. El chorro primero sufre una contracción y posteriormente una expansión hasta un punto en donde se restablece la distribución normal de fluido. La sección mínima en donde el chorro cambia de contracción a expansión se le llama vena de contracción.

La resistencia debida a ensanchamientos y contracciones bruscas la obtenemos por medio del coeficiente de resistencia en la figura (5.7) donde se tiene la relación  $D_1/D_2$ .  $D_1$  es el diámetro de la tubería menor de acuerdo a las figuras (5.5) y (5.6).

NUMERO DE KARMAN. - En ocasiones para simplificar cálculos en problemas de flujo de fluidos se utiliza el método del número de Kármán.

El número de Kármán está definido por:

$$N_{Re} \sqrt{f'} = \frac{D \rho}{\mu} \sqrt{\frac{2gc D Hfs}{L_e}} \quad (5.45)$$

El término  $N_{Re} \sqrt{f'}$  es el número de Kármán; este término se encuentra graficado en la figura (5.8). En esta gráfica el término  $1/\sqrt{f'}$  es un coeficiente de fricción y está definido por:

$$\frac{1}{\sqrt{f'}} = \frac{\bar{u}}{\sqrt{\frac{2gc D Hfs}{L_e}}} \quad (5.46)$$

RESISTENCIA DEBIDA A ENSANCHAMIENTO Y CONTRACCIONES  
BRUSCAS. (CRANE CO.)

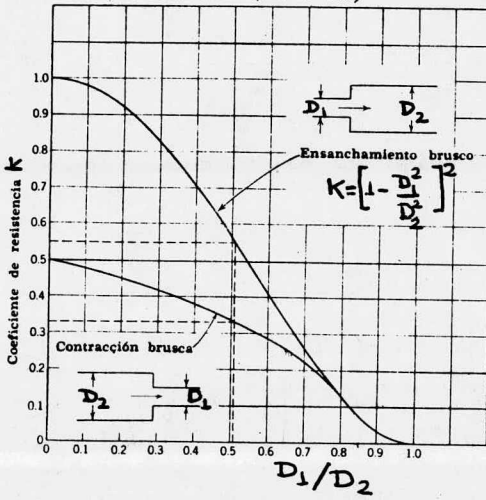
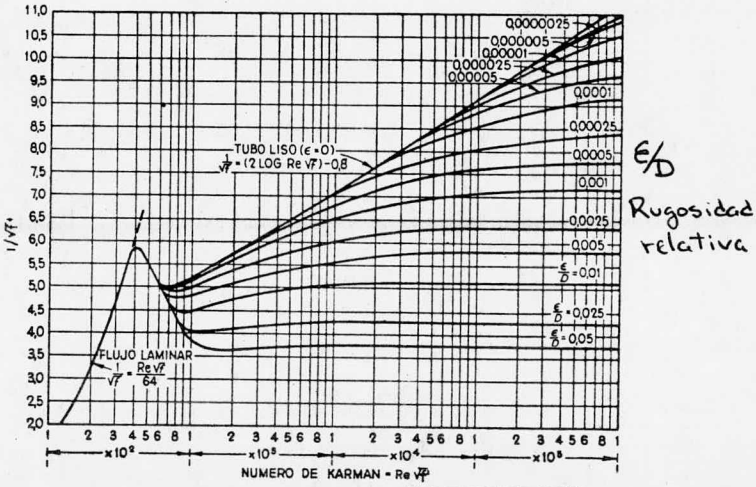


Figura (5.7)

$$\frac{1}{\sqrt{f'}} = \frac{u}{\sqrt{\frac{2gc D Hfs}{Le}}}$$



$$Re\sqrt{f'} = \frac{DQ}{\mu} \sqrt{\frac{2gc D Hfs}{Le}}$$

Figura (5.8) coeficiente de fricción en - función del número de Kármán.

$L_e$  es la longitud del tubo.

La figura (5.8) es equivalente a la figura (4.5). Por eso este método se utiliza como una primera aproximación cuando no se conocen muchas variables. Generalmente se utiliza cuando se escoge ó se tiene una pérdida por fricción y se desea conocer la cantidad de fluido en movimiento que le corresponde.

LONGITUD EQUIVALENTE TOTAL.- La longitud equivalente total comprende la longitud equivalente de tubo recto más la longitud equivalente por accesorios.

$$L_{e_T} = L_e (\text{tubo recto}) + L_e (\text{accesorios})$$

En la tabla (5.1) están tabuladas las longitudes equivalentes en diámetros de tubería de los accesorios.  $L/D$

En la figura (5.9) se tiene a las longitudes equivalentes  $L_e$  y  $L/D$  y a los coeficientes de resistencia  $K$ .

En la figura (5.10) se tiene al coeficiente de resistencia  $K$  debido a entradas y salidas de los tubos.

TUBERIAS, VALVULAS Y ACCESORIOS.- Los fluidos son transferidos de un lado a otro a través de tuberías y tubos con sección transversal circular y de diversos tamaños y grosores así como de numerosos materiales de construcción que pueden ser: acero, vidrio, cemento, asbesto, plásticos, etc. Los materiales más comunes son de acero inoxidable, hierro, cobre y bronce.

La selección del material depende de las propiedades corrosivas del fluido que se maneja y de la presión del flujo.



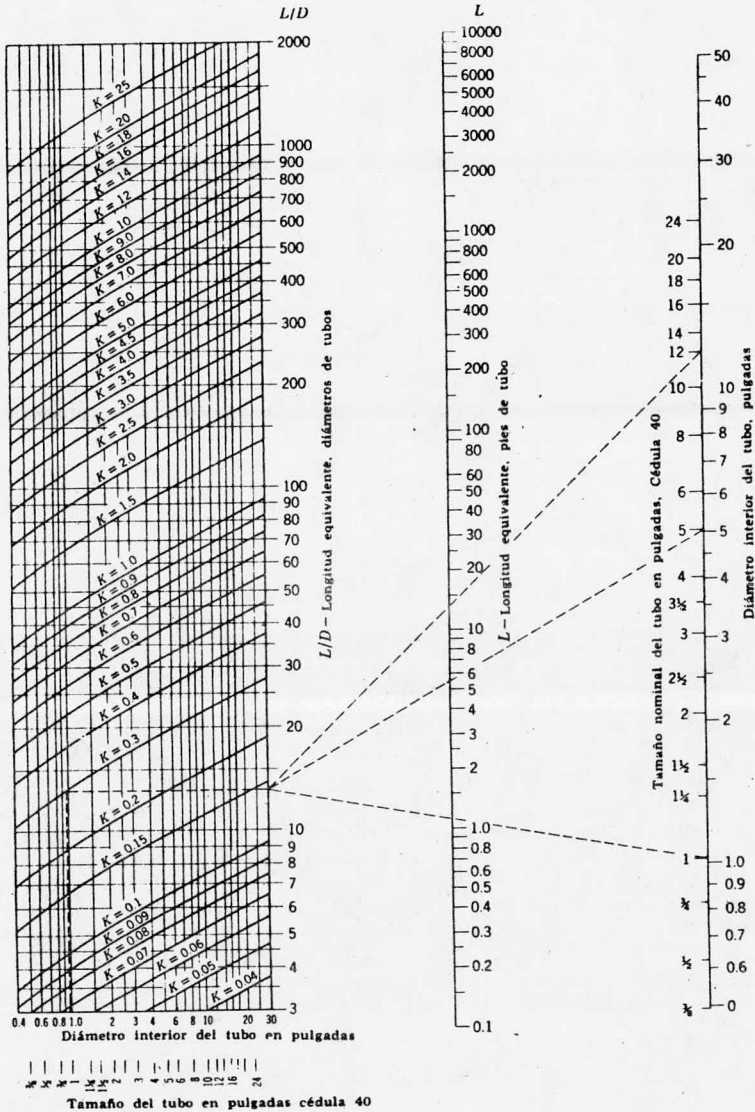


Figura (5.9)

TABLA (5.1)

Largo equivalente representativo en diámetro de -  
tubería (L/D) de varias válvulas y ajustes

Descripción	Largo equivalen te en diámetro- de tubería (L/D)
<b>Válvulas de globo Convencional</b>	
Sin obstrucción en el asiento de tipo pla no, en chaflán, o clavija-Completamente - abierta	340
Con disco de chaveta o de aleta-Completa- mente abierta	450
<b>Modelo Y</b>	
(Sin obstrucción en el asiento de tipo plano, en chaflán o clavija)	
Con vástago a 60 grados del cauce de l a - tubería-Completamente abierta	175
Con vástago a 45 grados del cauce de l a - tubería-Completamente abierta	145
<b>Válvulas angulares Convencional</b>	
Sin obstrucción en el asiento de tipo pla no, en chaflán o de clavija-Completamente- abierta	145
Con disco de chaveta o aleta-Completamente abierta	200
<b>Válvula de compuerta</b>	
Disco de cuña, doble o de clavija	
Completamente abierta	13
Abierta tres cuartas partes	35
Abierta mitad	160
Abierta una cuarta parte	900
<b>Válvulas, lodo</b>	
Completamente abierta	17
Abierta a las tres cuartas partes	50

Abierta una mitad	260
Abierta a la cuarta parte	1200
Tubería Conduit-Completamente abierta	3*

## Válvulas de retención

Giro convencional-0.5 <sup>†</sup> -Completamente abierto.	135
Giro de despeje-0.5 <sup>†</sup> -Completamente abierto	50
Alza o cierre del globo-2.0 <sup>†</sup> -Completamente abierto	igual que para globo
Alza o cierre angular-2.0 <sup>†</sup> -Completamente abierto	igual que para angular
En línea de municiones, 2.5 vertical y 0.25 horizontal -Completamente abierta	150

## Válvulas de aspiración con cedazo

Con disco de tipo alza vertical-0.3 <sup>†</sup> -Completamente abierto	450
Con disco articulado cuero-0.4 <sup>†</sup> -Completamente abierto	75

## Válvulas de mariposa (6 plg y mayores)-Completamente abiertas

20

## Grifos

Directo a través	
Area rectangular de la clavija al 100% del área del tubo-Completamente abierta	18

## Válvulas de tres conductos

Area rectangular de la clavija igual al 80% - del área del tubo (Completamente abierta)	
Flujo directamente a través	44
Flujo a través de bifurcación	140

## Conexiones

Codo normal a 90°	30
Codo normal a 45°	16
Codo de radio largo a 90°	20
Codo de para calle a 90°	50
Codo para calle a 45°	26
Codo para esquina cuadrada	57

## T normal (bifurcación)

Con flujo a todo lo largo	20
Con flujo a través de la rama	60
Patrón cerrado de tubo de retorno	50

- \* El largo equivalente exacto es igual al largo entre las caras de las bridas, o extremos de soldadura
- † La presión de caída mínima calculada,  $(lb/plg^2)$  a través de la válvula para proporcionar suficiente flujo para alzar el disco por completo.

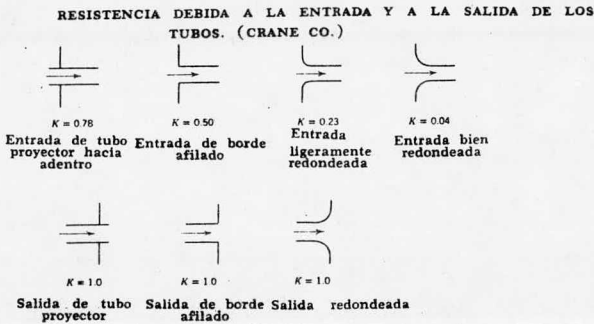


Figura (5.10)

Las secciones de tubería pueden unirse mediante el método de rosca que es el más usual.

Es necesario recurrir a los estándares que existen para determinar el tamaño y material de la tubería. Uno de estos estándares es el de la ASA (American Standards Association). El tamaño de los tubos y el de las conexiones se caracteriza en función del diámetro nominal y del espesor de la pared. El diámetro nominal no es ni el diámetro interno ni el diámetro externo. Tabla (5.2)

El espesor de la pared de los tubos está dado por el nú-

mero de cédula que pueden ser (0, 20, 30, 40, 60, 80, 100, 120, 140 y 160).

El número de cédula está definido como:

$$\text{N}^\circ \text{ de cédula} = 1000 \frac{P}{S} \quad (5.54)$$

$P$  es la presión de trabajo interna en  $\overrightarrow{\text{lb.}}/\text{in.}^2$ ,  $\overrightarrow{\text{kg}}/\text{cm}^2$ .

$S$  es la tensión permisible en  $\overrightarrow{\text{lb.}}/\text{in.}^2$ ,  $\overrightarrow{\text{kg}}/\text{cm}^2$ .

El espesor de la pared del tubo aumenta con el número de cédula.

Accesorios.- En la figura (5.11) tenemos a varias conexiones típicas de tubería.

Válvulas.- Las válvulas son accesorios que controlan el gasto de fluido o ya sea para cerrarlo completamente. Existen varios tipos de válvulas según la función que desempeñen. Las más usadas son las válvulas de globo y las de compuerta. Figura (5.12)

En válvula de globo el fluido pasa a través de una abertura cuya área se controla mediante un disco colocado en forma casi paralela a la dirección del flujo.

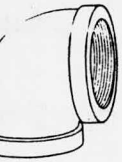
La válvula de compuerta consiste de un disco que se corre normalmente al flujo. Se utiliza para detener o sellar un flujo debido a que mediante ajustes laterales pequeños del disco se obtienen grandes cambios en el área de flujo.

Otros tipos de válvulas son:

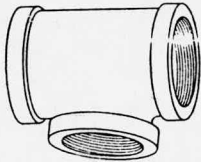
Válvula check.- Esta válvula se utiliza para controlar la dirección del flujo. Este tipo de válvula opera automáticamente.

Válvula de seguridad.- Sirven para controlar la presión.

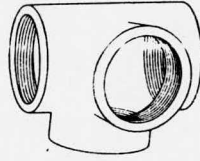
Válvula de diafragma.- Esta válvula elimina la necesidad de empaques. Aquí el diafragma separa el mecanismo de operación del fluido.



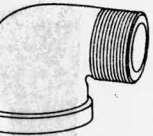
odo a 90°



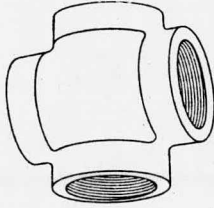
T plana



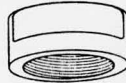
T plana con salida lateral



de reducción a 90°



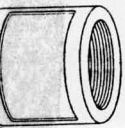
Cruz



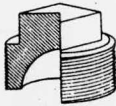
Tapa



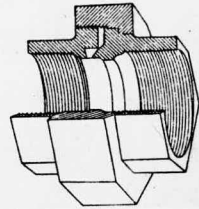
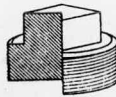
Reducción



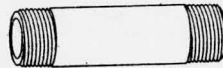
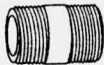
Cople



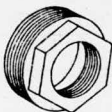
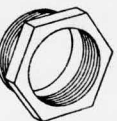
Tapones



Tuerca unión



Niples

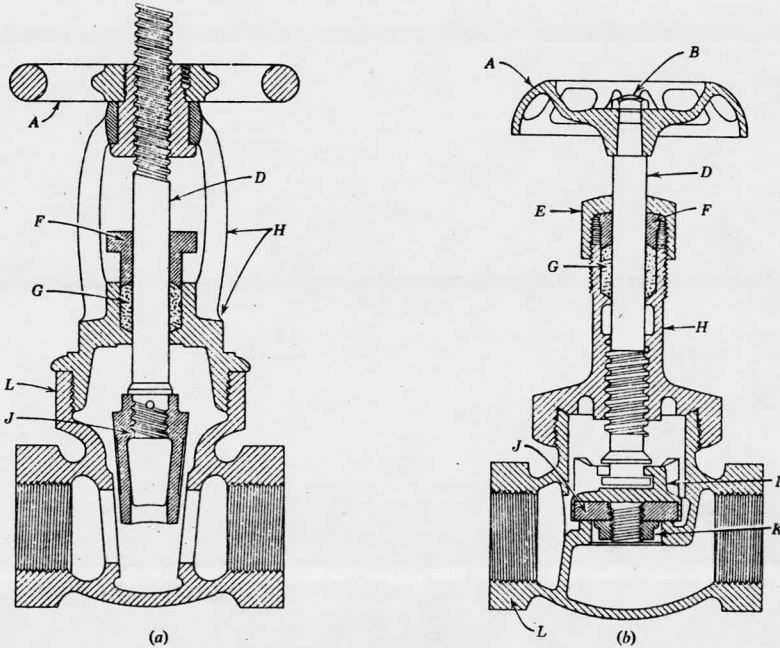


Bushings o casquillos

Figura (5.11)

TABLA (5.2)

DIMENSIONES DE LOS TUBOS DE ACERO NORMALES. (ASA Standards B36.10 1939)					
Tamaño nominal del tubo en plg.	Diámetro exterior en plg.	Cédula No.	Diámetro interior en plg.	Area de la sección -- transv. del metal en plg <sup>2</sup>	Area de la sección interna - en pies <sup>2</sup>
1/8	0.405	40	0.269	0.072	0.00040
		80	0.215	0.093	0.00025
1/4	0.540	40	0.364	0.125	0.00072
		80	0.302	0.157	0.00050
3/8	0.675	40	0.493	0.167	0.00133
		80	0.423	0.217	0.00098
1/2	0.840	40	0.622	0.250	0.00211
		80	0.546	0.320	0.00163
3/4	1.050	40	0.824	0.333	0.00371
		80	0.742	0.433	0.00300
1	1.315	40	1.049	0.494	0.00600
		80	0.957	0.639	0.00499
1 1/4	1.660	40	1.380	0.669	0.01040
		80	1.278	0.881	0.00891
1 1/2	1.900	40	1.610	0.799	0.01414
		80	1.500	1.068	0.01225
2	2.375	40	2.067	1.075	0.02330
		80	1.939	1.477	0.02050
2 1/2	2.875	40	2.469	1.704	0.03322
		80	2.323	2.254	0.02942
3	3.500	40	3.068	2.228	0.05130
		80	2.900	3.016	0.04587
3 1/2	4.000	40	3.548	2.680	0.06870
		80	3.364	3.678	0.06170
4	4.500	40	4.026	3.173	0.08840
		80	3.826	4.407	0.07986
5	5.563	40	5.047	4.304	0.1390
		80	4.813	6.112	0.1263
6	6.625	40	6.065	5.584	0.2006
		80	5.761	8.405	0.1810
8	8.625	40	7.981	8.396	0.3474
		80	7.625	12.76	0.3171
10	10.75	40	10.020	11.90	0.5475
		80	9.564	18.92	0.4989
12	12.75	40	11.938	15.77	0.7773
		80	11.376	26.03	0.7058



Cortes longitudinales de (a) válvula de globo, y (b) válvula de compuerta

A—rueda	E—nut de bloqueo	H—bonete	K—nut del disco
B—tuerca de la rueda	F—linterna	I—sostén del disco	L—cuerpo
C—vástago	G—empaqué	J—disco	

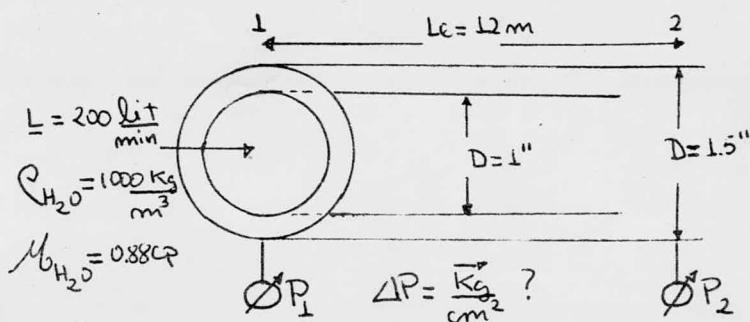
Figura (5.12)



**PROBLEMA.** - Una corriente de agua fluye a razón de 200 - litros por minuto por un conducto anular de 12 metros de longitud que consta de 2 tuberías de 1 y 1.5 pulgadas de diámetro. - Las tuberías son de acero comercial cédula 40. La densidad del agua es de  $1000 \text{ kg/m}^3$  y la viscosidad es de 0.88 centipoises. - Efectuar el balance de energía y calcular la caída de presión.

SOLUCION

1.0 Traducción. - El sistema mencionado puede traducirse al siguiente diagrama de flujo.



2.0 Discusión. - En este problema se tienen dos tuberías por lo que se debe de considerar las pérdidas por fricción para las dos tuberías.

2.1 Balance de energía

$$\left\{ \begin{array}{l} \sum \text{Energías de} \\ \text{entrada} \end{array} \right\} = \left\{ \begin{array}{l} \sum \text{Energías} \\ \text{disipadas} \end{array} \right\}$$

Efectuando el balance de energía entre los puntos 1 y 2 del diagrama de flujo

$$Z_1 \frac{g}{g_c} + \frac{\bar{u}_1^2}{2\alpha g_c} + \frac{P_1}{\rho} + w'f = Z_2 \frac{g}{g_c} + \frac{\bar{u}_2^2}{2\alpha g_c} + \frac{P_2}{\rho} + H_{fs}$$

en esta ecuación:

$Z_1 = Z_2$  en vista de que se tiene el mismo nivel de referencia.  
 $w'f = 0$  no existe trabajo de bomba.

$\bar{u}_1 = \bar{u}_2$  la velocidad lineal media no cambia.

La ecuación del balance de energía nos queda de la siguiente forma:

$$\frac{P_1}{\rho} - \frac{P_2}{\rho} = H_{fs}$$

Como se tienen 2 tuberías se deben de considerar las pérdidas por fricción para las 2 tuberías.

$$\frac{P_1 - P_2}{\rho} = \left( \frac{f' \bar{u}^2 L_e}{2gc Di} \right)_{1"} + \left( \frac{f' \bar{u}^2 L_e}{2gc Di} \right)_{1.5"}$$

con esta ecuación se calcula la caída de presión.

2.2 Area de las secciones transversales para 1" y 1.5"

$$S_{1"} = \frac{\pi}{4} (Di)^2 = m^2.$$

$$S_{1.5"} = \frac{\pi}{4} (Di)^2 = m^2.$$

2.3 Velocidad lineales medias para 1" y 1.5"

$$\bar{u} = \frac{L}{S} = m/\text{seg.}$$

2.4 Número de Reynolds

$$N_{Re} = \frac{Di \bar{u} \rho}{\mu}$$

2.5 La rugosidad relativa y el factor de fricción.

Se lee  $\epsilon/D$  para acero comercial de la figura (5.4)

Se lee  $f'$  de la figura (4.5)

3.0 Cálculos

3.1 Cálculo de las areas de las secciones transversales.

Para el tubo de 1" de diámetro nominal; en la tabla (5.2)

se tiene un diámetro interno de  $Di = (1.045 \text{ in.}) = 2664 \text{ cm.}$

Para el tubo de 1.5" se tiene un diámetro interno de  $Di =$

$(1.610 \text{ in.}) = 4.089 \text{ cm.}$

El área de la sección transversal es:

$$S_{1"} = 0.785 (2.664 \text{ cm.})^2 = 5.571 \text{ cm}^2. = (0.864 \text{ in}^2.)$$

$$S_{1.5"} = 0.785 (4.089 \text{ cm.})^2 = 13.125 \text{ cm}^2. = (2.036 \text{ in}^2.)$$

## 3.2 Cálculo de las velocidades lineales media

$$\bar{u}_{1"} = \frac{200 \text{ lit}}{\text{min}} \times \frac{1 \text{ m}^3}{1000 \text{ lit}} \times \frac{1 \text{ min}}{60 \text{ seg}} \times \frac{1}{5.571 \text{ cm}^2} \times \frac{10^4 \text{ cm}^2}{1 \text{ m}^2}$$

$$\bar{u}_{1"} = 5.983 \text{ m/seg.} = (19.62) \text{ ft./seg.}$$

$$\bar{u}_{1.5"} = \frac{200 \text{ lit}}{\text{min}} \times \frac{1 \text{ m}^3}{1000 \text{ lit}} \times \frac{1 \text{ min}}{60 \text{ seg.}} \times \frac{1}{13.125 \text{ cm}^2} \times \frac{10^4 \text{ cm}^2}{1 \text{ m}^2}$$

$$\bar{u}_{1.5"} = 2.539 \text{ m/seg.} = (8.32 \text{ ft./seg.})$$

## 3.3 Cálculo del Número de Reynolds

Para diámetro de 1" Di = 0.02664 m.

$$N_{Re} = \frac{0.02664 \text{ m} \times 5.98 \text{ m/seg} \times 1000 \text{ Kg/m}^3}{0.88 \text{ cp} \times \frac{1 \text{ gr/cm-sec}}{100 \text{ cp}} \times \frac{1 \text{ Kg}}{1000 \text{ gr}} \times \frac{100 \text{ cm}}{1 \text{ m}}} = 1.81 \times 10^5$$

Para diámetro de 1.5" Di = 0.04089 m.

$$N_{Re} = \frac{0.04089 \text{ m} \times 2.53 \text{ m/seg} \times 1000 \text{ Kg/m}^3}{0.88 \text{ cp} \times \frac{1 \text{ gr/cm-sec}}{100 \text{ cp}} \times \frac{1 \text{ Kg}}{1000 \text{ gr}} \times \frac{100 \text{ cm}}{1 \text{ m.}}} = 1.17 \times 10^5$$

## 3.4 Obtención de la rugosidad y del factor de fricción.

$\epsilon/D$  de la figura (5.4) para  $D = 1"$  de acero comercial es 0.0018 y el  $\epsilon/D$  para  $D = 1.5"$  de acero comercial es 0.00125

Con el valor de  $\epsilon/D$  y el  $N_{Re}$  leemos en la figura (4.5) - el factor de fricción  $f'$  :

Para  $D = 1"$   $f' = 0.023$

Para  $D = 1.5"$   $f' = 0.021$

## 3.5 Cálculo de la caída de presión

$$\frac{P_1 - P_2}{\rho} = \left[ \frac{0.023 \times (5.983 \text{ m/seg})^2 \times 12 \text{ m}}{2 \times 9.78 \frac{\text{Kg-m}}{\text{Kg-sec}^2} \times 0.02664 \text{ m}} \right]_{1"} + \left[ \frac{0.021 \times (2.539)^2 \times 12}{2 \times 9.78 \times 0.04089} \right]_{1.5"} \quad 1.5''$$

$$\frac{P_1 - P_2}{\rho} = 18.9602 \frac{\text{Kg-m}}{\text{Kg}} + 2.0167 \frac{\text{Kg-m}}{\text{Kg}}$$

$$P_1 - P_2 = 20.9769 \frac{\text{kg-m}}{\text{kg}} \times 1000 \frac{\text{Kg}}{\text{m}^3}$$

$$P_1 - P_2 = 20976.9 \frac{\text{kg}}{\text{cm}^2}$$

La caída de presión será de  $2.09 \frac{\text{kg}}{\text{cm}^2}$ .

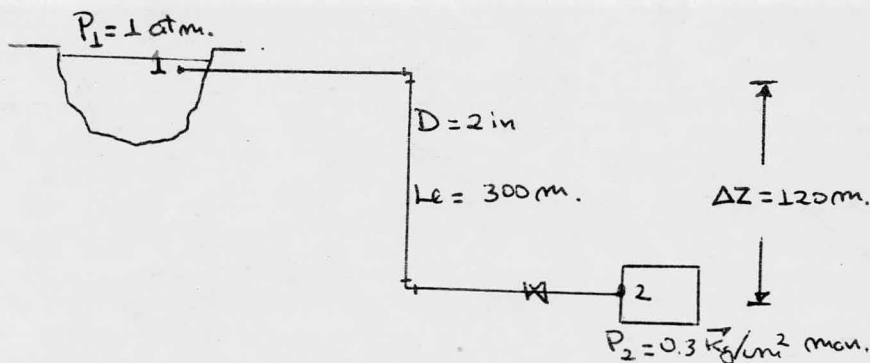
- 4.0 Conclusiones.- Las pérdidas por fricción son mucho mayores en el tubo de 1" debido a que es mayor su área de flujo con respecto al tubo de 1.5". Este problema también se puede resolver aplicando el concepto de diámetro equivalente en el que se debe tener cuidado al tomar el diámetro interno.

**PROBLEMA.**- Una casa se alimenta con agua por medio de una línea desde un manantial que se encuentra 120 metros sobre la casa. La línea está compuesta de 300 metros de tubo recto y es de 2 pulgadas de diámetro de acero comercial cédula 40. Se tienen además 2 codos de  $90^\circ$  y una válvula de compuerta. La línea descarga a un tanque que se encuentra a una presión manométrica de  $0.3 \text{ Kg/cm}^2$ .

Cual es el flujo de agua que se tiene?

### SOLUCION

#### 1.0 Traducción



- 2.0 Discusión.- Se efectúa el balance de energía y se agrupan los términos conocidos en un lado de la ecuación y en el otro lado los términos que no se conocen. Se deben suponer valores para la velocidad lineal media y con esos valores efectuar los cálculos hasta encontrar el valor verdadero.

Se toma en cuenta que las velocidades recomendables para el agua son de 2 m/seg. a 3 m/seg.

### 2.1 Balance de energía

Efectuando el balance de energía entre los puntos 1 y 2

$$Z_1 \frac{g}{g_c} + \frac{\bar{u}_1^2}{2\alpha g_c} + \frac{P_1}{\rho} + w'f = Z_2 \frac{g}{g_c} + \frac{\bar{u}_2^2}{2\alpha g_c} + \frac{P_2}{\rho} + H_{fs}$$

Eliminamos  $w'f$  porque no existe trabajo de una bomba. Si tomamos el punto 2 como referencia  $Z_2 = 0$

$\frac{\bar{u}_1^2}{2\alpha g_c} = 0$  en vista de que la energía cinética en el punto 1 es nula.

El balance nos queda de la siguiente forma:

$$Z_1 \frac{g}{g_c} + \frac{P_1}{\rho} = \frac{\bar{u}_2^2}{2\alpha g_c} + \frac{P_2}{\rho} + H_{fs}$$

en esta ecuación no conocemos  $\bar{u}_2$  y  $H_{fs}$  por lo que agrupamos los términos conocidos en un lado

$$\frac{P_1}{\rho} - \frac{P_2}{\rho} + Z_1 \frac{g}{g_c} = \frac{\bar{u}_2^2}{2\alpha g_c} + H_{fs}$$

### 2.2 Velocidad lineal media $\bar{u}_2$

Se deben suponer valores para la velocidad  $\bar{u}_2^*$  y con esos valores efectuar los cálculos hasta que los dos lados de la ecuación en el inciso (2.1) sean iguales.

### 2.3 Area de la sección transversal

$$S = \pi/4 \text{ Di}^2 = \text{m}^2$$

### 2.4 Gasto volumétrico $\underline{L}$

$$\underline{L} = u^* \times S = \text{m}^3/\text{seg.}$$

### 2.5 Número de Reynolds y el factor $\alpha$

$$N_{Re} = \frac{\text{Di} \bar{u}^* \rho}{\mu} \quad \text{se le } \alpha \text{ de la figura (5.2)}$$

### 2.6 Rugosidad relativa y factor de fricción

La rugosidad  $\epsilon/D$  se lee de la figura (5.4)

$f'$  se lee de la figura (4.5)

## 2.7 Longitud equivalente total

$$Le_T = Le \text{ (tubo recto)} + Le \text{ (accesorios)}$$

## 2.8 Pérdidas por fricción

$$H_{fs} = \frac{f' \bar{u}^2 L_e}{2gc D_i}$$

2.9 Se comprueba ambos lados de la ecuación en el inciso (2.1) hasta que concuerden y una vez que esto sucede se tiene la velocidad correcta y con ello el flujo de agua.

## 3.0 Cálculos

3.1 Cálculo del área de la sección transversal  
La tubería es de 2 pulgadas de diámetro nominal de la tabla (5.2) diámetro interno = (2.067 in.) = 5.25 cm.  
 $S = 0.785 (5.25 \text{ cm.})^2 = 21.635 \text{ cm}^2. = (3.355 \text{ in}^2.)$

3.2 Velocidad lineal media supuesta  $\bar{u}_2^*$

$$\bar{u}^* = 4.35 \text{ m/seg.}$$

3.3 Cálculo del gasto volumétrico

$$\underline{L} = 4.35 \text{ m/seg.} \times 21.636 \text{ cm}^2 \times 1 \text{ m}^2/10^4 \text{ cm}^2$$

$$\underline{L} = 0.009411 \text{ m}^3/\text{seg.} \times 1000 \text{ lit./m}^3 \times 60 \text{ seg./1 min.}$$

$$\underline{L} = 564.69 \text{ lit./min.}$$

3.4 Número de Reynolds

$$\mu_{H_2O} \Big|_{15.5^\circ C} = 1.2 \text{ cp}$$

$$N_{Re} = \frac{0.0525 \text{ m} \times 4.35 \text{ m/seg.} \times 1000 \text{ kg/m}^3}{1.2 \text{ cp} \times \frac{1 \text{ g/cm-sec}}{100 \text{ cp}} \times 1 \text{ kg/1000g} \times \frac{120 \text{ cm}}{1 \text{ m}}} = 1.90 \times 10^5$$

$\alpha$  de la figura (5.2) es 0.95

3.5 Obtención de la rugosidad y del factor de fricción.-  $\epsilon/D$ - para tubo de acero comercial de 2 in. de diámetro se lee de la figura (5.4) y es 0.0009.  $f'$  de la figura (4.5) 0.0204

3.4 Cálculo de la longitud equivalente total

Concepto	No.	L/D	Le unitaria	Le Total
Tubo recto	300	1	1 m (3.28 ft.)	300 m
Entrada del manantial al tubo figura (5.10) K = 0.78	1	40	2.13 m (7 ft.)	2.13 m
Codos 90	2	30	1.52 m (5 ft.)	3.04 m
Válvula de compuerta (totalmente abierta)	1	13	0.76 m (2.5 ft.)	0.76 m
Salida de la tubería al tanque Figura (5.10) K = 1	1	52	2.74 m (9 ft.)	2.74 m
$Le_T = 308.67 \text{ m (1012.43 ft.)}$				

## 3.7 Cálculo de las pérdidas por fricción

$$H_{fs} = \frac{0.0205 \times (4.35 \text{ m/seg})^2 \times 308.67 \text{ m.}}{2 \times 9.78 \text{ kg m/kg-sec}^2 \times 0.0525 \text{ m}} = 116.6 \frac{\text{Kg} - \text{m}}{\text{kg}}$$

## 3.8 Reemplazando los datos obtenidos en el inciso (2.1)

$$\frac{(1.0332 - 1.3332) \text{ Kg/cm}^2}{1000 \text{ kg/m}^3 \times 1 \text{ m}^2 / 10^4 \text{ cm}^2} + \frac{120 \text{ m} \times 9.8}{9.78} = \frac{(4.35 \text{ m/seg})^2}{2 \times 0.95 \times 9.78} + 116.6 \frac{\text{Kg} - \text{m}}{\text{kg}}$$

$$117.24 \frac{\text{Kg} - \text{m}}{\text{Kg}} = 117.61 \frac{\text{Kg} - \text{m}}{\text{kg}}$$

El valor supuesto de 4.35 m/seg. está correcto por lo que el flujo de agua es de 564.69 litros/min.

## 3.9 En la siguiente tabla están tabulados los valores supuestos hasta el valor obtenido de 4.35 m/seg. para la velocidad.

EK

$u^*$ (m/seg)	$L$ (lit/ min)	$u_2^*/2\alpha$ gc	$N_{Re}$	$\alpha$	$f'$	$Hfs$
2	259.62	0.2175	$8.75 \times 10^4$	0.94	0.0225	27.052
3	389.448	0.489	$1.31 \times 10^5$	0.94	0.0215	58.163
4	519.264	0.861	$1.75 \times 10^5$	0.95	0.0208	100.03
4.2	545.226	0.949	$1.83 \times 10^5$	0.95	0.0205	108.69
4.3	558.204	0.995	$1.88 \times 10^5$	0.95	0.0205	112.82
4.35	564.69	1.018	$1.90 \times 10^5$	0.95	0.0205	116.6

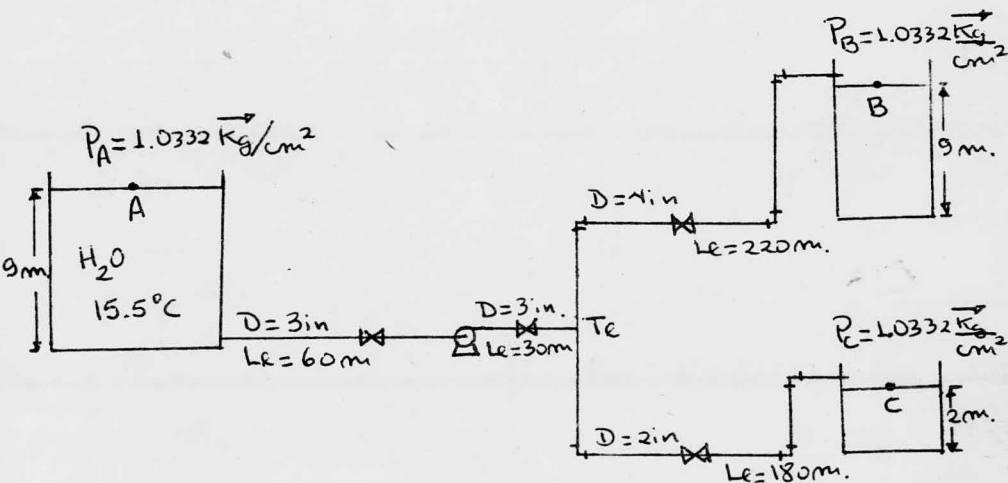
4.0 Conclusiones.- La velocidad obtenida resultó muy alta con respecto a las velocidades que se recomiendan cuando se tiene flujo de agua.

PROBLEMA.- Se bombea agua a  $15.5^\circ\text{C}$  desde el tanque A a los tanques B y C. La tubería desde el tanque A hasta la entrada a la bomba es de 3 pulgadas de diámetro de acero comercial cédula 40 con una longitud equivalente de 60 metros.- La tubería desde la descarga de la bomba a la bifurcación (Te) donde la tubería se divide en dos secciones es de 3 - pulgadas de diámetro con una longitud equivalente de 30 metros. La línea desde la bifurcación al tanque B es de 4 -- pulgadas de diámetro y con una longitud equivalente de 220 metros y la línea desde la bifurcación al tanque C es de 2 pulgadas de diámetro con una longitud equivalente de 180 - metros. Las longitudes equivalentes no incluyen 4 válvulas de compuerta, una entre el tanque A y la bomba, una entre la bomba y la bifurcación y una antes de cada uno de los - tanques B y C que dan un gasto volumétrico de 340 litros - por minuto al tanque B y 180 litros por minuto al tanque - C. También se tienen 6 codos de  $90^\circ$ . El nivel del agua en el tanque A es de 9 metros sobre la bifurcación, en el tan que B el nivel del agua es de 9 metros sobre la bifurca--- ción y en el tanque C el nivel del agua es de 2 metros sobre la bifurcación. Calcular el gasto de agua en la bifurcación (Te). Calcular la presión en la bifurcación (Te) y los HP requeridos por la bomba.



SOLUCION

## 1.0 Traducción



2.0 Discusión.- En este problema se deben efectuar 3 balances de energía. Uno desde el tanque A hasta la bifurcación y - los otros dos desde la bifurcación a los tanques B y C.

2.1 Balance de energía desde el tanque A a la Te.

$$\frac{P_A}{\rho} + \frac{\bar{u}_A^2}{2\alpha g_c} + Z_A \frac{g}{g_c} + w'f = \frac{P_{Te}}{\rho} + \frac{\bar{u}_{Te}^2}{2\alpha g_c} + Z_{Te} + \frac{f' \bar{u}_{Te}^2 L_{eT}}{2 g_c D^5}$$

La energía cinética en A es nula y sitomamos como referencia la Te.  $Z_{Te} = 0$

El balance nos queda de la siguiente forma:

$$\frac{P_A}{\rho} + Z_A \frac{g}{g_c} + w'f = \frac{P_{Te}}{\rho} + \frac{\bar{u}_{Te}^2}{2\alpha g_c} + \frac{f' \bar{u}_{Te}^2 L_{eT}}{2 g_c D^5}$$

De esta ecuación no se conoce  $P_{Te}$ ,  $w'f$ ,  $\bar{u}_{Te}$  y  $f'$

2.2 Balance de energía desde la Te al tanque B.

$$\frac{P_{Te}}{\rho} + \frac{\bar{u}_{Te}^2}{2\alpha g_c} + Z_{Te} \frac{g}{g_c} = \frac{P_B}{\rho} + \frac{\bar{u}_B^2}{2\alpha g_c} + Z_B \frac{g}{g_c} + \frac{f' \bar{u}_B^2 L_{eT}}{2 g_c D^5}$$

El nivel de referencia es la Te.  $Z_{Te} = 0$

La ecuación del balance nos queda:

$$\frac{P_{Te}}{\rho} + \frac{\bar{u}_{Te}^2}{2\alpha g_c} = \frac{P_B}{\rho} + \frac{\bar{u}_B^2}{2\alpha g_c} + Z_B \frac{g}{g_c} + \frac{f' \bar{u}_B^2 L_{eT}}{2g_c D_i}$$

De esta ecuación no se conoce  $P_{Te}$ ,  $\bar{u}_{Te}$ ,  $\bar{u}_B$  y  $f'$

2.3 Balance de energía desde la Te al tanque C.

$$\frac{P_{Te}}{\rho} + \frac{\bar{u}_{Te}^2}{2\alpha g_c} + Z_{Te} \frac{g}{g_c} = \frac{P_C}{\rho} + \frac{\bar{u}_C^2}{2\alpha g_c} + Z_C \frac{g}{g_c} + \frac{f' \bar{u}_C^2 L_{eT}}{2g_c D_i}$$

$$\frac{P_{Te}}{\rho} + \frac{\bar{u}_{Te}^2}{2\alpha g_c} = \frac{P_C}{\rho} + \frac{\bar{u}_C^2}{2\alpha g_c} + Z_C \frac{g}{g_c} + \frac{f' \bar{u}_C^2 L_{eT}}{2g_c D_i}$$

De esta ecuación no se conoce  $P_{Te}$ ,  $\bar{u}_{Te}$ ,  $\bar{u}_C$  y  $f'$ .

2.4 Velocidades lineales medias  $\bar{u}_B$  y  $\bar{u}_C$

$$\bar{u}_B = \frac{L_B}{S_B} = \text{m/seg.} = \text{ft./seg.}$$

$$\bar{u}_C = \frac{L_C}{S_C} = \text{m/seg.} = \text{ft./seg.}$$

2.5 Ecuación de continuidad

$$\bar{u}_{Te} S_{Te} \rho_{Te} = u_B S_B \rho_B + u_C S_C \rho_C$$

$$\bar{u}_{Te} = \frac{\bar{u}_B S_B \rho_B + \bar{u}_C S_C \rho_C}{S_{Te} \rho_{Te}} = \frac{m}{\text{seg}} = \frac{\text{ft.}}{\text{seg}}$$

$\rho = \text{cte.}$

$$\bar{u}_{Te} = \frac{\bar{u}_B S_B + \bar{u}_C S_C}{S_{Te}} = \frac{m}{\text{seg}} = \frac{\text{ft.}}{\text{seg}}$$

2.6 Gasto de agua en la Te

$$\frac{L}{T_{Te}} = \bar{u}_{Te} S_{Te} = \text{m}^3/\text{seg.} = \text{lit./min.} = \text{ft}^3/\text{min.}$$

2.7 Presión en la Te

De la ecuación del balance de energía en 2.3 y despejando  $P_{Te}$ :

$$\frac{P_{Te}}{\rho} = \frac{P_C}{\rho} + \frac{\bar{u}_C^2}{2\alpha g_c} + Z_C \frac{g}{g_c} + \frac{f' \bar{u}_C^2 L_{eT}}{2g_c D_i} - \frac{\bar{u}_{Te}^2}{2\alpha g_c}$$

## 2.7a Número de Reynolds

$$N_{Re} = \frac{D_i \bar{u}_C \rho}{\mu} = \text{se lee } \alpha \text{ de la figura (5.2)}$$

## 2.7b La rugosidad y el factor de fricción

$\epsilon/D$  se lee de la figura (5.4)  
 $f'$  se lee de la figura (4.5)

## 2.7c Longitud equivalente desde la Te al tanque C

Se debe considerar la reducción de la tubería de 3 pulgadas a 2 pulgadas de diámetro

## 2.8 HP requeridos por la bomba

De la ecuación del balance de energía en (2.2) y despejando --

$$w'f: \quad w'f = \frac{P_{Te}}{\rho} - \frac{P_A}{\rho} + \frac{\bar{u}_{Te}^2}{2\alpha g_c} + \frac{f' \bar{u}_{Te}^2 L_{eT}}{2g_c D_i} - Z_A \frac{g}{g_c} = \text{HP}$$

## 2.8a Número de Reynolds

$$N_{Re} = \frac{D_i \bar{u}_{Te} \rho}{\mu} \quad \text{se lee } \alpha \text{ de la figura (5.2)}$$

## 2.8b La rugosidad y el factor de fricción

$\epsilon/D$  se lee de la figura (5.4)  
 $f'$  se lee de la figura (4.5)

## 2.8c Longitud equivalente del tanque A a la Te

## 2.9 Conprobar por medio del balance de energía en (2.2) Si

Si la presión en la Te es la correcta

Despejando  $P_{Te}$  de (2.2)

$$\frac{P_{Te}}{\rho} = \frac{P_B}{\rho} + \frac{\bar{u}_B^2}{2\alpha g_c} + Z_B \frac{g}{g_c} + \frac{f' \bar{u}_B^2 L_{eT}}{2g_c D_i} - \frac{\bar{u}_{Te}^2}{2\alpha g_c}$$

## 2.9a Número de Reynolds

$$N_{Re} = \frac{D_B \bar{u}_B \rho}{\mu} = \text{se lee } \alpha$$

## 2.9b La rugosidad y el factor de fricción

$\epsilon/D$  se lee de la figura (5.4)  
 $f'$  se lee de la figura (4.5)

## 2.9c Longitud equivalente de la Te al tanque B

Se debe considerar una expansión o ensanchamiento de la tubería de 3 pulgadas a 4 pulgadas de diámetro.

### 3.0 Cálculos

#### 3.1 Cálculo de las velocidades $\bar{u}_B$ y $\bar{u}_C$

Diámetro nominal de 4 pulgadas de la tabla (5.2) el diámetro interior es  $D_i = (4.026 \text{ in.}) = 10.226 \text{ cm.}$  Para el de - 2 pulgadas el diámetro interior es  $D_i = (2.067 \text{ in.}) = 5.25 \text{ cm.}$

El área de la sección transversal es:

$$S_B = S_{4''} = 0.785 (10.226 \text{ cm.})^2 = 82.088 \text{ cm}^2. = (12.723 \text{ in}^2)$$

$$S_C = S_{2''} = 0.785 (5.25 \text{ cm.})^2 = 21.636 \text{ cm}^2. = (3.355 \text{ in}^2.)$$

La velocidades  $\bar{u}_B$  y  $\bar{u}_C$  son:

$$\bar{u}_B = \frac{340 \text{ litros/min.} \times 1 \text{ m}^3/1000 \text{ litros} \times 1 \text{ min.}/60 \text{ seg.}}{0.0082 \text{ m}^2}$$

$$\bar{u}_B = 0.69 \text{ m/seg.} = (2.26 \text{ ft./seg.})$$

$$\bar{u}_C = \frac{180 \text{ litros/min.} \times 1 \text{ m}^3/1000 \text{ litros} \times 1 \text{ min.}/60 \text{ seg.}}{0.00216 \text{ m}^2}$$

$$\bar{u}_C = 1.38 \text{ m/seg.} = (4.55 \text{ ft./seg.})$$

#### 3.2 Cálculo de la velocidad en la Te. $\bar{u}_{Te}$

*Ec. Continuidad*

$$\bar{u}_{Te} = \frac{(0.69 \text{ m/seg.})(0.0082 \text{ m}^2) + (1.38 \text{ m/seg.})(0.00216 \text{ m}^2)}{0.004763 \text{ m}^2}$$

$$\bar{u}_{Te} = 1.813 \text{ m/seg.} = (5.94 \text{ ft./seg.})$$

Diámetro nominal de 3 pulgadas tabla (5.2)

Diámetro interno  $D_i = (3.068 \text{ in.}) = 7.79 \text{ cm.}$

$$S_{Te} = 0.785 (7.79 \text{ cm.})^2 = 47.63 \text{ cm}^2. = (7.382 \text{ in}^2.)$$

#### 3.3 Cálculo del gasto en la Te

$$L = 1.813 \text{ m/seg.} \times 0.004763 \text{ m}^2 = 0.008635 \text{ m}^3/\text{seg.}$$

$$L = 0.008635 \text{ m}^3/\text{seg.} \times 1000 \text{ litros}/1 \text{ m}^3 \times 60 \text{ seg.}/1 \text{ min.}$$

$$L = 518.1 \text{ litros/min.} = (18.29 \text{ ft}^3./\text{min.})$$

$$\underline{L} = 518.1 \text{ litros/min.}$$

- 3.4 Cálculo del Número de Reynolds para el balance de energía desde la Te a el tanque C. Reemplazando en (2.7a)

$$\mu_{H_2O} \Big|_{15.5^\circ C} = 1.2 \text{ cP}$$

$$\rho_{H_2O} \Big|_{15.5^\circ C} = 1000 \text{ Kg/m}^3$$

$$N_{Re} = \frac{(0.0525 \text{ m})(1.38 \text{ m/seg})(1000 \text{ Kg/m}^3)}{1.2 \text{ cP} \times \frac{1 \text{ cP}}{100 \text{ cP}} \times \frac{100 \text{ cm}}{1 \text{ m}} \times \frac{1 \text{ Kg}}{1000 \text{ gr}}} = 6.03 \times 10^4$$

$\alpha$  de la figura (5.2) es 0.94

- 3.5 La rugosidad y el factor de fricción

$\epsilon/D$  de la figura (5.4) para 2 in. de diámetro de acero comercial es 0.0009

$f'$  de la figura (4.5) es 0.023

- 3.6 Cálculo de la longitud equivalente total de la Te al tanque C.

Concepto	N°	L/D	Le unitaria	Le Total
Reducción de la tubería de 3 in. a 2 in. Figura (5.7) $K = 0.4$	1	22	(3.7 ft.) 1.12 m	1.12 m
Tubo recto	180	1	(3.28 ft.) 1 m	180.00 m
Válvula de compuerta (totalmente -- abierta)	1	13	(2.5 ft.) 0.76 m	0.76 m
Codos de 90°	4	30	(5 ft.) 1.52 m	6.08 m
Te normal con flujo a través de la rama	1	60	(10 ft.) 3.048 m	3.048 m

Salida de la tubería al tanque C (K = 1) - Figura (5.10)	1	52	(9 ft.) 2.74 m	2.74 m
$Le_{Te} = 193.74 \text{ m. (635.46 ft.)}$				

3.7 Cálculo del Número de Reynolds del tanque A a la  $Te$

$$N_{Re} = \frac{0.0779 \text{ m} \times 1.813 \text{ m} / \text{seg} \times 1000 \text{ Kg} / \text{m}^3}{1.2 \text{ cp} \times 1 \text{ gr} / \text{cm} - \text{seg} / 100 \text{ cp} \times \frac{1000 \text{ g}}{1 \text{ m}} \times \frac{1 \text{ Kg}}{1000 \text{ gr}}} = 1.17 \times 10^5$$

De la figura (5.2)  $\alpha = 0.95$

3.8 Factor de fricción y rugosidad

$\epsilon/D$  de la figura (5.4) para 3 in. de diámetro de acero comercial es 0.0006.

$f'$  de la figura (4.5) es 0.018

3.9 Cálculo de la longitud equivalente total del tanque A a la  $Te$ .

Concepto	N°	L/D	Le unitaria	Le Total
Entrada del tanque al tubo Figura --- (5.10) K = 0.78	1	45	(12 ft.) 3.65 m	3.65 m
Tubo recto	90	1	(3.28 ft.) 1 m	90.0 m
Válvula de compuerta (totalmente --- abierta)	2	13	(3.4 ft.) 1.036	2.072 m
Te normal con flujo atado lo largo	1	20	(5 ft.) 1.52 m	1.52 m
$Le_{Te} = 97.24 \text{ m. (318.94 ft.)}$				

- 3.10 Cálculo de la presión en la Te  
Reemplazando los valores obtenidos en (2.7):

$$\frac{P_{Te}}{\rho} = \frac{10333 \frac{\text{Kg}}{\text{m}^3}}{1000 \frac{\text{Kg}}{\text{m}^3}} + \frac{(1.38 \text{ m/seg})^2}{2 \times 0.94 \times 9.78 \frac{\text{Kg}-\text{m}}{\text{Kg}-\text{seg}^2}} + \frac{2 \text{ m} \cdot 9.8 \text{ m/seg}^2}{9.78 \frac{\text{Kg}-\text{m}}{\text{Kg}-\text{seg}^2}} +$$

$$+ \frac{0.023 \left( \frac{\text{m}}{\text{seg}} \right)^2}{2 \times 9.78 \frac{\text{Kg}-\text{m}}{\text{Kg}-\text{seg}^2}} \cdot 193.74 \text{ m} - \frac{(1.813 \text{ m/seg})^2}{2 \times 0.95 \times 9.78 \frac{\text{Kg}-\text{m}}{\text{Kg}-\text{seg}^2}}$$

$$\frac{P_{Te}}{\rho} = 20.52 \frac{\text{Kg}-\text{m}}{\text{Kg}}$$

- 3.11 Cálculo de los HP requeridos por la bomba  
Reemplazando los valores obtenidos en la ecuación (2.8):

$$W'f = 20.52 \frac{\text{Kg}-\text{m}}{\text{Kg}} - \frac{10.333 \frac{\text{Kg}-\text{m}}{\text{Kg}}}{\text{Kg}} + \frac{(1.813 \text{ m/seg})^2}{2 \times 0.95 \times 9.78 \frac{\text{Kg}-\text{m}}{\text{Kg}-\text{seg}^2}} +$$

$$\frac{0.018 (1.813 \text{ m/seg})^2 \cdot 97.24 \text{ m}}{2 \times 9.78 \frac{\text{Kg}-\text{m}}{\text{Kg}-\text{seg}^2} \times 0.0779 \text{ m}} - \frac{9 \text{ m} \cdot 9.8 \text{ m/seg}^2}{9.78 \frac{\text{Kg}-\text{m}}{\text{Kg}-\text{seg}^2}}$$

$$W'f = 5.12 \frac{\text{Kg}-\text{m}}{\text{Kg}} \times \frac{1 \text{ HP}-\text{min}}{3300 \text{ ft}-\text{lb}} \times \frac{1 \text{ ft}-\text{lb}}{0.1383 \frac{\text{Kg}-\text{m}}{\text{Kg}}} \cdot 518.1 \frac{\text{lit}}{\text{min}} \cdot \frac{1 \text{ Kg}}{1 \text{ lit.}}$$

$$W'f = 5.81 \text{ HP}$$

- 3.12 Revisión del valor calculado de  $P_{Te}$

Número de Reynolds para el balance de la Te al tanque B.

$$N_{Re} = \frac{0.1022 \text{ m} \times 0.69 \text{ m/seg} \times 1000 \frac{\text{Kg}}{\text{m}^3}}{1.2 \text{ cp} \times \frac{1 \text{ cm}}{100 \text{ CP}} \times \frac{100 \text{ cm}}{1 \text{ m}} \times \frac{1 \text{ Kg}}{1000 \text{ gr}}} = 587 \times 10^4$$

De la figura (5.2)  $\alpha = 0.94$

- 3.13 Factor de fricción y rugosidad  
 $E/D$  de la figura (5.4) para 4 in. de diámetro es 0.00045  
 $f'$  de la figura (5.4) es 0.022

- 3.14 Cálculo de la longitud equivalente total de la Te al tanque B.

Concepto	N°	L/D	Le unitaria	Le Total
Ensanchamiento de la tubería de 3 in. a 4 in. de diámetro. Figura (5.7) - K = 0.2	1	12	(4 ft.) 1.21 m	1.21 m
Tubo recto	220	1	(3.28 ft.) 1 m	220.0 m
Válvula de compuerta (totalmente --- abierta)	1	13	(4.4 ft.) 1.34 m	1.34 m
Codos de 90	4	30	(10 ft.) 3.048 m	12.19 m
Te normal con flujo a través de la rama	1	60	(20 ft.) 6.097	6.097 m
Salida de la tubería al tanque B (K = 1) Figura (5.10)	1	60	(20 ft.) 6.097 m	6.097 m
$Le_{Te} = 246.93 \text{ m. (809.93 ft.)}$				

3.15 Reemplazando los valores obtenidos en (2.9):

$$\begin{aligned}
 \frac{P_{Te}}{\rho} &= \frac{10333 \frac{\text{Kg}}{\text{m}^2}}{1000 \frac{\text{Kg}}{\text{m}^3}} + \frac{(0.69 \text{ m/seg})^2}{2 \times 0.94 \times 9.78 \frac{\text{Kg}-\text{m}}{\text{Kg}-\text{seg}^2}} + 9 \text{ m} \frac{9.8 \text{ m/seg}^2}{9.78 \frac{\text{Kg}-\text{m}}{\text{Kg}-\text{seg}^2}} \\
 &+ \frac{0.022(0.69 \text{ m/seg})^2}{2 \times 9.78 \frac{\text{Kg}-\text{m}}{\text{Kg}-\text{seg}^2}} \frac{246.93 \text{ m}}{2 \times 0.1022 \text{ m}} - \frac{(1.813 \text{ m/seg})^2}{2 \times 0.95 \times 9.78 \frac{\text{Kg}-\text{m}}{\text{Kg}-\text{seg}^2}} \\
 \frac{P_{Te}}{\rho} &= 20.4738 \frac{\text{kg} \cdot \text{m}}{\text{kg}}
 \end{aligned}$$



Este valor es casi el mismo que el obtenido en el inciso (3.10)

$$P_{Te} = 20.52 \frac{\overrightarrow{Kg-m}}{Kg} \times 1000 \frac{Kg}{m^3} = 20520 \overrightarrow{Kg/cm^2}$$

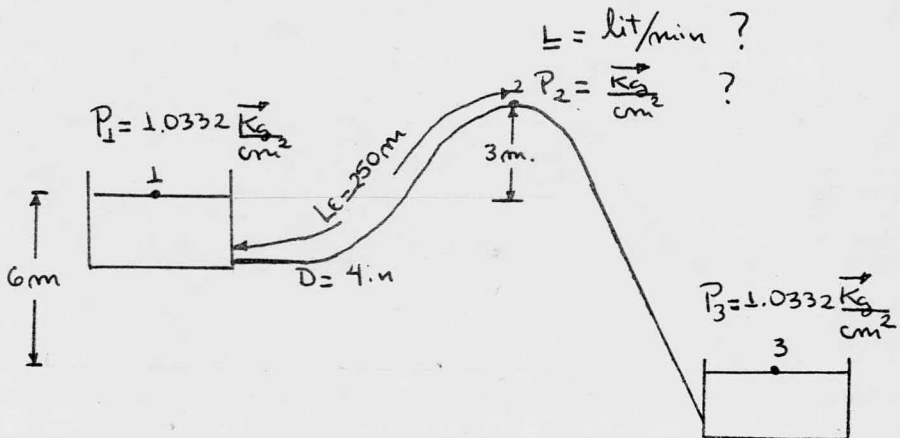
La presión en la bifurcación (Te) será de  $2.052 \overrightarrow{kg./cm^2}$

- 4.0 Conclusiones.- El último balance de energía se efectuó para comprobar que el valor de la presión en la Te estaba correcto.

PROBLEMA.- Una tubería conecta dos recipientes que tienen una diferencia de nivel entre sí de 6 metros. La longitud total de la tubería es de 700 metros y está trazada de tal forma que se eleva 3 metros sobre el nivel de recipiente más alto y la distancia al tope es de 250 metros. La tubería es de 4 pulgadas de diámetro cédula 40 de acero comercial. El líquido que se maneja es agua a 15.5 C. Calcular la presión en el punto más alto de la tubería y el gasto que pasa por el mismo punto en litros por minuto.

#### SOLUCION

##### 1.0 Traducción



- 2.0 Discusión.- Este problema se resuelve por medio del método del Número de Kármán debido a que este método se utiliza cuando se disponen de pocos datos; es un método de aproximación.

### 2.1 Balance de energía

Efectuando el balance de energía entre los puntos 1 y 3

$$Z_1 \frac{g}{g_c} + \frac{\bar{u}_1^2}{2 \times g_c} + \frac{P_1}{\rho} + w'f = Z_3 \frac{g}{g_c} + \frac{\bar{u}_3^2}{2 \times g_c} + \frac{P_3}{\rho} + H_{fs} \Big|_1^3$$

Si tomamos como nivel de referencia el punto 3

$$Z_3 = 0$$

$$\bar{u}_1 = \bar{u}_3$$

$$P_1 = P_3$$

$$w'f = 0$$

La ecuación del balance de energía queda de la siguiente forma:

$$H_{fs} \Big|_1^3 = Z_1 \frac{g}{g_c}$$

$$\frac{f' \bar{u}^2 L_e}{2 g_c D} = Z_1 \frac{g}{g_c}$$

### 2.2 Número de Kármán

$$N_{Re} \sqrt{f'} = \frac{D \rho}{\mu} \sqrt{\frac{2 g_c D H_{fs}}{L_e}}$$

De esta ecuación no conocemos  $H_{fs}$  pero con el inciso (2.1) obtenemos el valor de  $H_{fs}$  y lo reemplazamos para obtener un valor para  $N_{Re} \sqrt{f'}$

### 2.3 La rugosidad relativa

$\epsilon/D$  lo obtenemos de la figura (5.4)

### 2.4 Coeficiente de fricción $\frac{1}{\sqrt{f'}}$

Con el valor de  $N_{Re} \sqrt{f'}$  y  $\epsilon/D$  se obtiene un valor para -

$\frac{1}{\sqrt{f'}}$  de la figura (5.8)

2.5 Velocidad lineal media  $\bar{u}$ Despejando  $\bar{u}$  de la ecuación (5.46)

$$\bar{u} = \frac{1}{\sqrt{f'}} \sqrt{\frac{2gc D H_{fs}}{L_e}}$$

## 2.6 Area de la sección transversal

$$S = \pi/4 D_i^2 = m^2$$

## 2.7 Flujo de agua en el punto 2

$$\underline{L} = \bar{u} \times S = \text{litros/min.}$$

## 2.8 Número de Reynolds

$$N_{Re} = \frac{D_i \bar{u} \rho}{\mu} = \text{se lee } \alpha \text{ de la figura (5.2)}$$

## 2.9 Factor de fricción

Con la rugosidad y el  $N_{Re}$  se lee  $f'$  de la figura (4.5)

## 2.10 Presión en el punto 2

Para obtener la presión en el punto 2 se efectúa un balance de energía entre los puntos 1 y 2 del sistema.

$$Z_1 \frac{g}{gc} + \frac{\bar{u}_1^2}{2\alpha gc} + \frac{P_1}{\rho} + w'f = Z_2 \frac{g}{gc} + \frac{\bar{u}_2^2}{2\alpha gc} + \frac{P_2}{\rho} + H_{fs} \quad \Bigg|_1^2$$

Si tomamos el punto 1 como nivel de referencia  $Z_1 = 0$ La energía cinética en el punto 1 es nula  $\frac{\bar{u}_1^2}{2 \alpha gc} = 0$  $w'f = 0$  en vista de que no existe bomba

La ecuación del balance de energía queda de la siguiente forma:

$$\frac{P_1}{\rho} = Z_2 \frac{g}{gc} + \frac{\bar{u}_2^2}{2\alpha gc} + \frac{P_2}{\rho} + H_{fs} \quad \Bigg|_1^2$$

$$\frac{P_2}{\rho} = \frac{P_1}{\rho} - Z_2 \frac{g}{gc} - \frac{\bar{u}_2^2}{2\alpha gc} - H_{fs} \quad \Bigg|_1^2$$

## 2.11 Longitud equivalente de 1 a 2

## 3.0 Cálculos

## 3.1 Balance de energía del punto 1 al punto 3 (inciso 2.1)

$$H_{fs} \Big|_1^3 = 6m \frac{9.8 \text{ m/seg}^2}{9.78 \text{ kg m/kg-seg}^2} = 6.012 \frac{\text{kg-m}}{\text{kg}}$$

## 3.2 Cálculo del Número de Kármán

Reemplazando en el inciso (2.2) los datos que se tienen:

$$\rho_{\text{H}_2\text{O}} \Big|_{15.5^\circ\text{C}} = 1000 \text{ kg/m}^3$$

$$\mu_{\text{H}_2\text{O}} \Big|_{15.5^\circ\text{C}} = 1.2 \text{ cP} \times \frac{1 \text{ gr/cm-seg}}{100 \text{ cP}} \times \frac{1 \text{ kg}}{1000 \text{ gr}} \times \frac{100 \text{ cm}}{1 \text{ m}} = 0.0012 \frac{\text{kg}}{\text{m-seg}}$$

$$D_i = 4.026 \text{ in.} = 10.22 \text{ cm.}$$

$$N_{Re} \sqrt{f'} = \frac{0.1022 \text{ m} \times 1000 \text{ kg/m}^3}{0.0012 \text{ kg/m-seg}} \sqrt{\frac{2 \times 9.78 \frac{\text{kg-m}}{\text{kg-seg}^2} \times 0.1022 \text{ m} \times 6.012 \frac{\text{kg-m}}{\text{kg}}}{700 \text{ m}}}$$

$$N_{Re} \sqrt{f'} = 85166.66 \times 0.13 = 11071.66$$

## 3.3 Obtención de la rugosidad relativa

$\epsilon/D$  para un diámetro de 4 pulgadas de acero comercial es--  
0.00045

3.4 Obtención de  $\frac{1}{\sqrt{f'}}$ 

Con el valor de  $N_{Re} \sqrt{f'}$  y el  $\epsilon/D$  en la figura (5.8)

Se lee un valor para  $\frac{1}{\sqrt{f'}}$  de 6.8

3.5 Cálculo de la velocidad media  $\bar{u}$  inciso (2.5)

$$\bar{u} = 6.8 \times 0.13 = 0.884 \text{ m/seg.}$$

## 3.6 Cálculo del area de la sección transversal

$$s = 0.785 (0.1022 \text{ m})^2 = 0.008199 \text{ m}^2$$

## 3.7 Cálculo del flujo de agua en el punto 2

$$\underline{L} = 0.884 \text{ m/seg.} \times 0.008199 \text{ m}^2 \times 1000 \text{ lit./l m}^3 \times 60 \text{ seg./1 min.}$$

$$\underline{L} = 434.87 \text{ lit. /min.}$$

## 3.8 Cálculo del Número de Reynolds

$$N_{Re} = \frac{0.1022 \text{ m} \times 0.884 \text{ m/seg.} \times 1000 \text{ kg/m}^3}{0.0012 \text{ kg/m-seg}} = 7.52 \times 10^4$$

$\alpha$  de la figura (5.2) es 0.94

## 3.9 Factor de fricción

De la figura (4.5)  $f'$  es 0.0215

## 3.10 Cálculo de la longitud equivalente del punto 1 al punto 2

Concepto	Nº	L/D	Le unitaria	Le total
Entrada del recipiente al tubo Figura (5.10) K = 0.78	1	46	4.87 m (16ft.)	4.87 m
Tubo recto	250	1	1 m	250 m
$Le_{total} = 254.87 \text{ m (835.97 ft.)}$				

## 3.11 Cálculo de la presión en el punto 2

$$\frac{P_2}{\rho} = \frac{1.0332 \frac{\text{kg}}{\text{cm}^2}}{1000 \frac{\text{kg}}{\text{m}^3}} - 6 \text{ m} \frac{9.8}{9.78} - \frac{0.884 \text{ m/seg.}}{2 \times 0.94 \times 9.78} - \frac{0.0215 (0.884 \frac{\text{m}}{\text{seg.}})^2 254.87 \text{ m}}{2 \times 9.78 \frac{\text{kg-m}}{\text{kg-sec}^2} \times 0.1022 \text{ m}}$$

$$\frac{P_2}{\rho} = 2.13 \frac{\text{Kg.} \cdot \text{m}}{\text{Kg.}}$$

$$P_2 = 2.13 \frac{\text{Kg.} \cdot \text{m}}{\text{Kg.}} \times 1000 \frac{\text{Kg.}}{\text{m}^3}$$

$$P_2 = 2130 \frac{\text{Kg.}}{\text{m}^2} = 0.213 \frac{\text{Kg.}}{\text{cm}^2}$$

La presión en el punto 2 es de 0.213  $\frac{\text{Kg.}}{\text{cm}^2}$

- 4.0 Conclusiones.- Si no se usara el método del número de Kármán este problema se puede resolver a partir de suposiciones para la velocidad.

## C A P I T U L O VI

## MEDIDORES DE FLUJO

Un aparato medidor del gasto de fluidos es un dispositivo que sirve para determinar la cantidad de fluido que circula en la unidad de tiempo. Un medidor de flujo suele estar calibrado desviando la totalidad de la corriente del fluido de su conducto a un depósito dispuesto para ver la medida exacta del fluido en peso o en volumen durante un determinado intervalo de tiempo.

TIPOS DE MEDIDORES.-

- a) Medidores basados en la medida o el pesado directo.-- estos no son muy usados.
- b) Medidores de cabeza variable.- entre estos tenemos al medidor Venturi, orificio, tobera y el tubo de Pitot.
- c) Medidores de area.- son los rotámetros y los vertederos.
- d) Medidores de corriente.- tenemos al tipo tasa o anemómetro, los medidores de venas y tipo turbina o de inducción.
- e) Medidores de desplazamiento positivo.- tenemos a los medidores de disco, pistón, rotatorios y los de diafragma.
- f) Medidores magnéticos.

De todos estos tipos de medidores veremos los más usados que son los medidores de cabeza variable y los de area.

**MEDIDOR VENTURI.-** En la sección corriente arriba de la figura (6.1) se encuentra una sección anular y un número pequeño de anillos los cuales se perforan desde el interior del tubo. El anillo anular y los agujeros constituyen lo que se llama el anillo piezométrico, el cual tiene la función de promediar las presiones individuales que se transmiten a través de todos los agujeros.

La presión promedio se transmite a través de la conexión-

de presión corriente arriba. Un segundo anillo piezométrico se forma en la garganta que es una cámara anular.

Características principales.- En el medidor de Venturi - en el cono corriente arriba la velocidad del fluido aumenta y por consiguiente la presión disminuye, o sea la energía cinética aumenta a expensas de la energía de presión. La caída de presión en el cono corriente arriba se utiliza para medir el flujo a través del instrumento. En el cono corriente abajo la velocidad comienza a disminuir y la presión comienza a recuperarse. Para recuperar la mayor parte de la presión el ángulo del segundo cono debe ser pequeño con el objeto de minimizar las pérdidas por fricción.

Balance de energía en el Venturi

$$\frac{P_1}{\rho} + \frac{\bar{u}_1^2}{2\alpha gc} + z_1 \frac{g}{gc} = \frac{P_2}{\rho} + \frac{\bar{u}_2^2}{2\alpha gc} + z_2 \frac{g}{gc} + \sum_{1}^2 H_{fs} \quad (6.1)$$

$H_{fs}$  se consideran despreciables para efecto de todo el

balance

$$z_1 = z_2$$

el balance nos queda de la siguiente manera:

$$\frac{P_1}{\rho} + \frac{\bar{u}_1^2}{2\alpha gc} = \frac{P_2}{\rho} + \frac{\bar{u}_2^2}{2\alpha gc} \quad (6.2)$$

en la ecuación de continuidad

$$\bar{u}_1 s_1 \rho_1 = \bar{u}_2 s_2 \rho_2$$

$$L_1 = L_2 \text{ en Kg/hr}$$

para fluido incomprensible a temperatura constante  $\rho_1 = \rho_2$



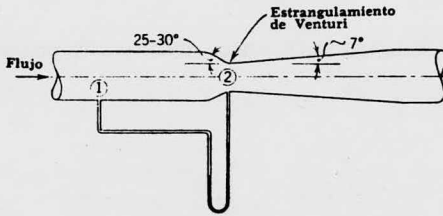


Figura (6.1) medidor venturi

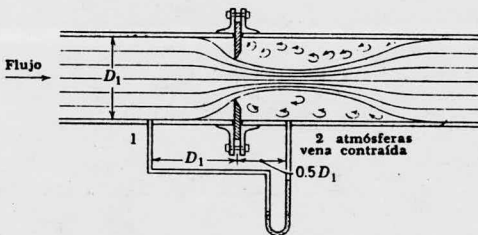


Figura (6.2) medidor de orificio

$$\bar{u}_1 s_1 = \bar{u}_2 s_2$$

$$\bar{u}_1 = \bar{u}_2 \frac{s_2}{s_1}$$

$$s_2 = 0.785 D_2^2$$

$$s_1 = 0.785 D_1^2$$

$$\bar{u}_1 = \bar{u}_2 \frac{D_2^2}{D_1^2}$$

haciendo  $\beta = \frac{D_2}{D_1}$

$$\bar{u}_1 = \bar{u}_2 \beta^2$$

reemplazando este valor en la ecuación (6.2)

$$\frac{\bar{u}_2^2}{2\alpha g_c} = \frac{P_1 - P_2}{\rho} + \frac{\bar{u}_1^2}{2\alpha g_c}$$

$$\frac{\bar{u}_2^2}{2\alpha g_c} = \frac{P_1 - P_2}{\rho} + \frac{\bar{u}_2^2 \beta^4}{2\alpha g_c}$$

$$\frac{\bar{u}_2^2}{2\alpha g_c} - \frac{\bar{u}_2^2 \beta^4}{2\alpha g_c} = \frac{P_1 - P_2}{\rho}$$

$$\frac{\bar{u}_2^2}{2\alpha g_c} (1 - \beta^4) = \frac{P_1 - P_2}{\rho}$$

$$\bar{u}_2^2 = \frac{2\alpha g_c (P_1 - P_2)}{\rho} \frac{1}{1 - \beta^4}$$

$$\bar{u}_2 = \sqrt{\frac{2\alpha g_c (P_1 - P_2)}{\rho}} \sqrt{\frac{1}{1 - \beta^4}}$$

para flujo turbulento  $\alpha = 1$

agrupando todas las pérdidas por fricción en un coeficiente.  $C_v$   
coeficiente de Venturi

$$\bar{u}_2 = \frac{C_v}{\sqrt{1-\beta^4}} \sqrt{\frac{2gc(P_1 - P_2)}{\rho}} \quad (6.3)$$

La ecuación (6.3) es la que se utiliza para calcular la velocidad. Siempre se toma la sección de la garganta.

Cuando  $D_2$  es menor que  $\frac{D_1}{4}$ , la velocidad de acercamiento y el coeficiente  $\beta$  son despreciables.

La ecuación (6.3) queda de la forma:

$$\bar{u}_2 = C_v \sqrt{\frac{2gc(P_1 - P_2)}{\rho}}$$

Para diámetros de tubo de 2" a 8" el coeficiente de Venturi vale 0.98 y para diámetros mayores de 8" el coeficiente vale 0.99.

Limitaciones.- Teóricamente se podría recuperar toda la presión original, es decir volver a tener  $P_1 = P_2$  pero la fricción no se puede eliminar totalmente y siempre existe una pérdida permanente de presión. En un medidor de Venturi bien diseñado la pérdida permanente es del 10% de la  $\Delta P$  o sea que sólo - el 90% se recupera.

Otras limitaciones es que es caro, ocupa un considerable espacio y ni se puede cambiar la relación diámetro de la garganta a diámetro del tubo, para un medidor dado y un sistema de manómetro definido.

MEDIDOR DE ORIFICIO.- En la figura (6.2) tenemos un medidor de orificio que básicamente consiste de una placa perforada maquinada y montada en las bridas con un agujero concéntrico -- con el tubo en el cual se monta. En este caso las tomas de presión una antes y otra después de la placa se instalan y se conectan a un manómetro o aparato similar para medir la presión.

Las posiciones de las tomas son arbitrarias y el coeficiente de orificio depende de la posición de éstas.

En la tabla (6.1) están los tipos de tomas

Tipo de toma	Distancia de la toma corriente arriba	Distancia de la toma corriente abajo
Brida	1 in.	1 in.
Tomas en la vena contracta	1 D tubo	0.3 a 0.8 D
Tomas en el tubo	2 1/2 D tubo	8 veces D

Tabla 6.1

D es el diámetro del tubo, cuando se tiene tomas en la brida corriente arriba y corriente abajo deben ser de 1 pulgada.

La reducción de la sección de la corriente del fluido -- que pasa a través del orificio provoca un aumento en la cabeza de velocidad a expensas de la cabeza de presión y la reducción en la presión se mide por medio de un manómetro o aparato similar.

Balace de energía.-

$$\frac{P_1}{\rho} + \frac{\bar{u}_1^2}{2\alpha g_c} + Z_1 \frac{g}{g_c} = \frac{P_2}{\rho} + \frac{\bar{u}_2^2}{2\alpha g_c} + Z_2 \frac{g}{g_c}$$

$$Z_1 = Z_2$$

$$\frac{P_1 - P_2}{\rho} = \frac{\bar{u}_2^2 - \bar{u}_1^2}{2\alpha g_c}$$

$$u_1 s_1 \rho_1 = \bar{u}_2 s_2 \rho_2$$

$$\bar{u}_1 s_1 = \bar{u}_2 s_2 = \bar{u}_0 s_0$$

$s_2$  es la sección de la vena contracta

$s_0$  es la sección del orificio

$u_0$  es la velocidad en la garganta del medidor de orificio

$$\bar{u}_1 0.785D_1^2 = \bar{u}_2 0.785D_2^2 = \bar{u}_0 0.785 D_0^2$$

$$\bar{u}_1 = \bar{u}_0 \frac{S_0}{S_1} \quad ; \quad \bar{u}_2 = \bar{u}_0 \frac{S_0}{S_2}$$

$$C_c = \frac{S_2}{S_0} < 1 \text{ coeficiente en la vena contracta}$$

$$\beta = \frac{D_0^2}{D_1^2}$$

$$\bar{u}_1 = \bar{u}_0 \beta^2$$

$$\frac{P_1 - P_2}{\rho} = \frac{\left(\bar{u}_0 \frac{S_0}{S_2}\right)^2}{2\alpha g_c} - \frac{\bar{u}_0^2 \beta^4}{2\alpha g_c}$$

$$\frac{P_1 - P_2}{\rho} = \bar{u}_0^2 \left[ \frac{\left(\frac{S_0}{S_2}\right)^2}{2\alpha g_c} - \frac{\beta^4}{2\alpha g_c} \right] \quad (6.4)$$

dividiendo la ecuación (6.4) entre  $\left(\frac{S_0}{S_2}\right)^2$  y

pasando  $2g_c$  al otro miembro

$$\frac{2g_c (P_1 - P_2)}{\left(\frac{S_0}{S_2}\right)^2 \rho} = \frac{\bar{u}_0^2}{\left(\frac{S_0}{S_2}\right)^2} \left[ \frac{\left(\frac{S_0}{S_2}\right)^2}{\alpha} - \frac{\beta^4}{\alpha} \right]$$

sustituyendo el valor de  $C_c$

$$2g_c \frac{(P_1 - P_2) C_c^2}{\rho} = \bar{u}_0^2 \left( \frac{1}{\alpha} - \frac{C_c^2 \beta^4}{\alpha} \right)$$

$$\bar{u}_0 = \sqrt{\frac{2gc(P_1 - P_2) C_c^2}{\rho}} \sqrt{\frac{1}{\frac{1}{\alpha} - \frac{\beta^4 C_c^2}{\alpha}}}$$

$$\bar{u}_0 = \frac{C_c}{\sqrt{\frac{1}{\alpha} - \frac{\beta^4 C_c^2}{\alpha}}} \sqrt{\frac{2gc(P_1 - P_2)}{\rho}}$$

$$C = \frac{C_c}{\sqrt{\frac{1}{\alpha} - \frac{\beta^4 C_c^2}{\alpha}}} \quad C \text{ es el coeficiente del orificio}$$

Las pérdidas por fricción no las tomamos en cuenta para el balance pero en los cálculos se toma en cuenta de acuerdo a la figura (6.3)

$$\bar{u}_0 = C \sqrt{\frac{2gc(P_1 - P_2)}{\rho}} = C_o' \sqrt{H} \quad (6.5)$$

$$H = \sqrt{\frac{P_1 - P_2}{\rho}}$$

$$C_o' = C \sqrt{2gc}$$

$C_o'$  es el coeficiente de descarga

$H$  es la caída de presión

La ecuación (6.5) permite calcular la velocidad del fluido que circula por un orificio cuando se conocen las dimensiones del sistema, la diferencia de presión entre los puntos 1 y 2 y además el coeficiente del orificio.

Cuando el flujo a través del orificio tiene valores de número de Reynolds superiores a 30,000 el coeficiente tiene el valor aproximado de 0.61.

En general para calcular el coeficiente del orificio se tiene la siguiente ecuación

Pérdidas por fricción de un orificio



Figura (6.3)

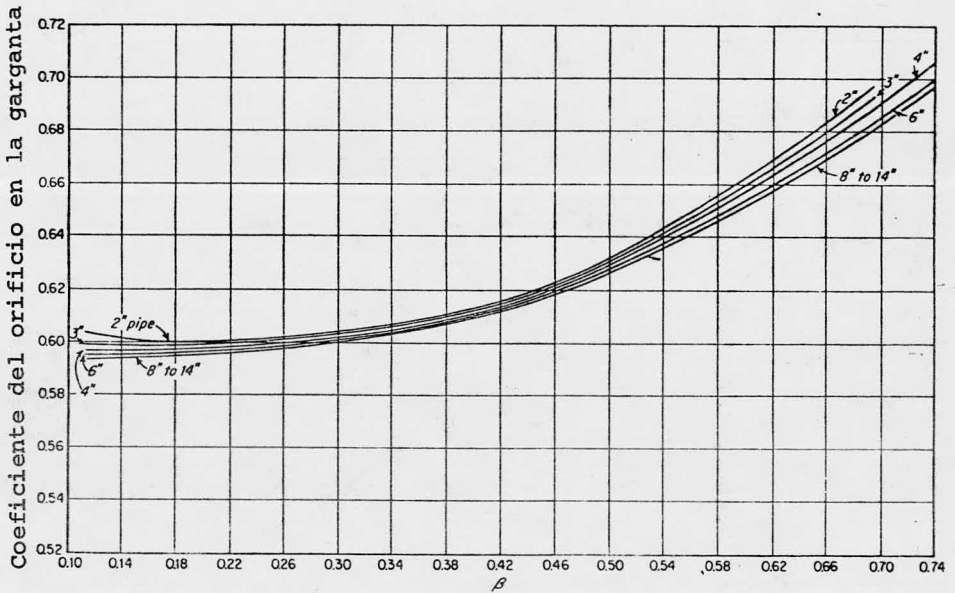


Figura (6.4)

$$C = C_0 F_{Re} Y \quad (6.6)$$

donde:

C es el coeficiente del orificio.  
 C<sub>0</sub> es el coeficiente del orificio en la garganta.  
 F<sub>Re</sub> es una función de N<sub>Re</sub> y se denomina corrección por viscosidad.

Y es un parámetro para extrapolar la ecuación para gases.

En la figura (6.4) se tiene la gráfica para calcular C<sub>0</sub> a partir de la relación  $\beta$  para tapas brindadas.

Existen las siguientes restricciones para aplicar la ecuación (6.6)

- 1.- Para números de Reynolds grandes F<sub>Re</sub> vale 1
- 2.- Para fluidos incomprensibles Y = 1
- 3.- Para tomas en las bridas (caso crítico)

$$F_{Re} = 1 + \frac{\beta D_i}{N_{Re}} \left[ \frac{A + 530}{\sqrt{D_i}} \right] \quad (6.7)$$

D<sub>i</sub> es el diámetro interno del tubo en pulgadas.

A es una función de  $\beta$  y D<sub>i</sub> y su valor se obtiene de la figura (6.5)

- 4.- Para gases ideales

$$Y = 1 - \left[ \frac{0.41 + 0.35 \beta^4}{C_p} \right] \frac{(P_1 - P_2)}{P_1} \quad (6.8)$$

donde el C<sub>p</sub> corresponde al gas.

En general para diseño se utiliza la ecuación (6.5).

TUBO DE PITOT. - Este aparato sirve para medir velocidades puntuales o locales dentro de un tubo. La abertura del tubo de impacto es perpendicular a la dirección de flujo. Figura (6.6). Los dos tubos están conectados a los brazos de un manómetro o aparato similar.

Para medir las diferencias de presión. La abertura de impacto incluye un punto estacionario B. El flujo AB termina -



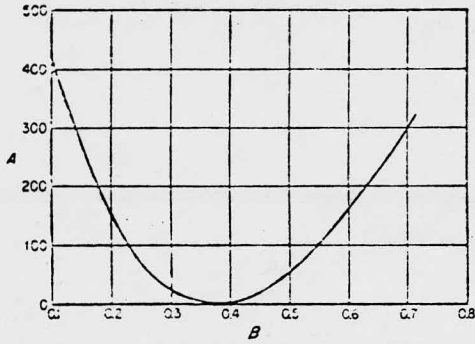


Figura (6.5)

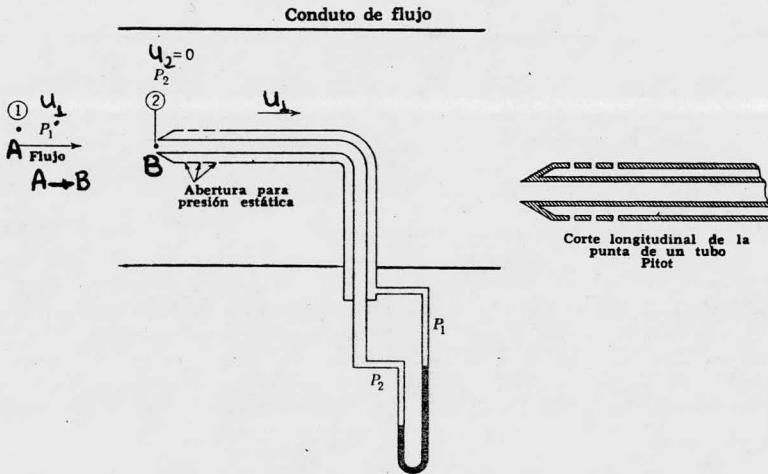


Figura (6.6) Tubo de Pitot

en B.

Construcción.- El instrumento consiste de 2 tubos concéntricos y el tubo interno está en contacto con la corriente y la presión total.  $P_1$  se trasmite a través de él. Las pequeñas aberturas a través de la pared del otro tubo inmediatas a la punta cónica transmiten la presión estática  $P_2$  al espacio anular entre los tubos. El manómetro se conecta entre las conexiones de presión estática y presión total y mide directamente la diferencia de presiones. Para obtener la velocidad promedio se puede hacer por cualquiera de los siguientes métodos:

- 1.- El tubo de Pitot se centra aproximadamente en el eje del tubo y la velocidad promedio se calcula a partir de la velocidad máxima por medio de la gráfica de la figura (6.7). Siempre se debe insertar el tubo de Pitot por lo menos 100 diámetros nominales de tubo a partir de cualquier perturbación para que la distribución de velocidades sea normal.
- 2.- Tomar lecturas a diferentes posiciones en la sección del tubo y promediarlas por medio de una integración gráfica.

Balace de energía.-

$$\frac{P_1}{\rho} + \frac{u_1^2}{2\alpha gc} + Z_1 \frac{g}{gc} = \frac{P_2}{\rho} + \frac{u_2^2}{2\alpha gc} + Z_2 \frac{g}{gc}$$

$P_1$  es la presión estacionaria.

$u_1 = 0$  debido a que está en un punto estacionario.

$$\frac{P_1}{\rho} = \frac{P_2}{\rho} + \frac{u_2^2}{2\alpha gc}$$

$u_2$  es la velocidad local.

$$u_2 = \sqrt{\frac{(P_1 - P_2) 2\alpha gc}{\rho}} \quad (6.9)$$

TOBERA.- En la figura (6.8) tenemos una tobera. Este medidor consiste de una salida corta centrada en el tubo por medio de bridas y es un instrumento intermedio entre el Venturi y el orificio.

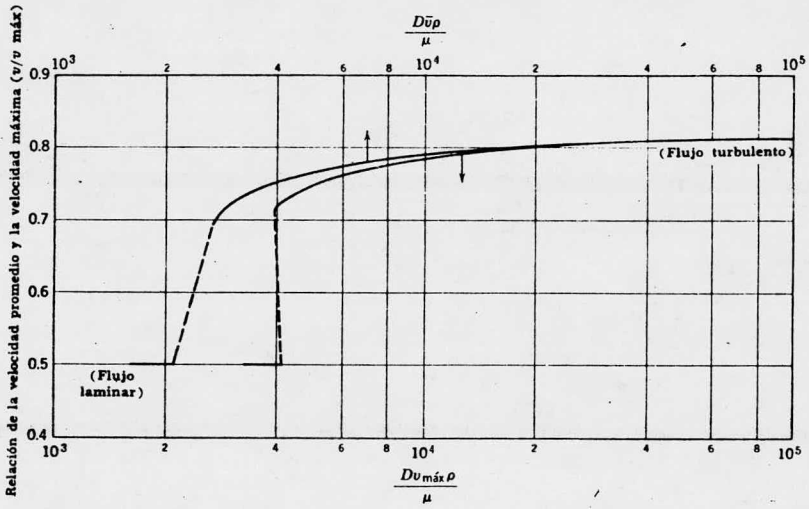


Figura (6.7)

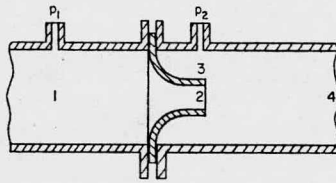


Figura (6.8) Tobera

Las ventajas que tiene la tobera es que provoca caídas - de presión menores que el orificio y generalmente se utiliza pa ra medir vapor y de agua.

## C A P I T U L O VII

## TRANSPORTE DE FLUIDOS

Para producir un flujo de fluido existen varios medios - por los cuales un fluido puede ser transportado a través de un ducto o canal.

Estos medios son:

- 1.- Por la acción de una fuerza centrífuga.- como es el caso de las bombas centrífugas.
- 2.- Por un desplazamiento volumétrico.- como en las bombas y compresores recíprocos y rotatorios.
- 3.- Por un impulso mecánico.- como en las turbinas y compresores de flujo axial.
- 4.- Por transferencia de cantidad de movimiento de otro fluido.
- 5.- Por una fuerza electromagnética.

De todos estos medios los que nos interesan son las bombas y a continuación las describimos.

De acuerdo a estos medios podemos definir una bomba como una máquina que se utiliza para proporcionar energía con el objeto de transportar fluidos y se pueden clasificar en dos grandes grupos:

- 1.- Bombas centrífugas.- que manejan un volumen variable de fluido con una velocidad constante y una cabeza - de la bomba variable.
- 2.- Bombas de desplazamiento positivo.- que manejan un volumen constante de fluido por cada revolución y -- pueden ser bombas recíprocos o rotatorias.

Antes de seleccionar un tipo de bomba es necesario conocer ciertos datos.

- 1.- Naturaleza del fluido.- saber si es corrosivo, su -- viscosidad, presión de vapor, etc.

- 2.- Capacidad en GPM (galones por minuto).
- 3.- Condiciones de succión y descarga.
- 4.- Definir si el servicio será continuo o intermitente.
- 5.- Potencia necesaria.
- 6.- Localización de la bomba.
- 7.- Eficiencia de la bomba.

BOMBAS CENTRIFUGAS.- Son las más usadas en la industria porque son más ventajosas que las otras y a continuación las -- describiremos. Figura (7.1). Desarrollan su presión imponiendo una fuerza centrífuga sobre el líquido que pasa a través de la bomba, estas bombas se aplican generalmente donde se requieran altas capacidades y cabezas pequeñas o medianas. Las partes de que consta son:

El impulsor.- Esto es lo que imparte la energía al fluido para las aplicaciones de proceso. Pueden ser de tres tipos; abierto, totalmente cerrado o semicerrado. El impulsor abierto tiene aplicaciones para cabezas bajas, líquidos con sólidos en suspensión y flujos muy pequeños. El impulsor totalmente cerrado se aplica para cabezas elevadas y presiones altas y el impulsor semicerrado tiene aplicaciones generales y se caracteriza -- por tener venas abiertas a la entrada para romper las partículas en suspensión y prevenir el taponamiento.

La carcasa.- Es la parte de la bomba que contiene las -- partes móviles de ésta. Se construye de diferentes materiales dependiendo de las presiones interiores que se soporten y de -- las características del fluido que se maneja. Existan diseños -- en donde se puede desmantelar esta carcasa sin desconectar las tuberías de succión y descarga.

La flecha.- Es la que mueve el impulsor. Los materiales de la flecha se deben seleccionar en base a las características del fluido manejado.

Los cojinetes.- Deben ser los adecuados para manejar las cargas de la flecha con el objeto de que no tengan un desgaste excesivo considerando que siempre están lubricados. Todos los cojinetes deben de ser de tipo exterior, es decir que no debe -- de estar en contacto con el fluido manejado.

Sellos mecánicos.- Cuando la presión sea mayor de 50 -- psig o el fluido sea corrosivo se deben de proporcionar medios adicionales de sellado. Los sellos siempre los proporciona el fabricante y éstos se deben de limpiar antes de cualquier arranque.

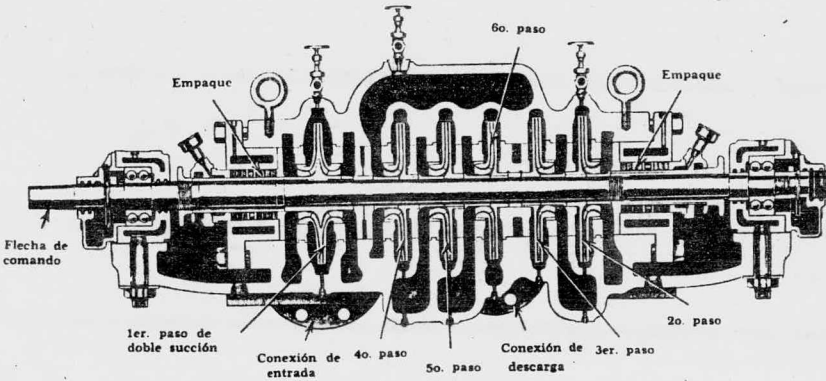


Figura (7.1) Bomba centrífuga

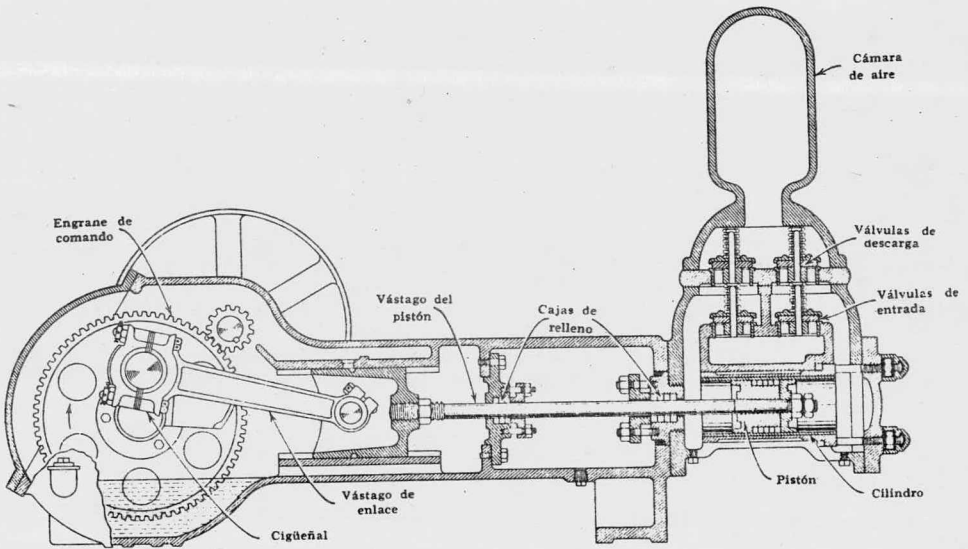


Figura (7.2) Bomba recíprocante de pistón simple

El doble sello.- Sirve para sellado severo, es decir para aquellos casos en donde existe abrasión y corrosión. Las caras de sellado entre los elementos se encuentran en un plano -- normal a la flecha y como características tienen bajo coeficiente de fricción. Para permitir un contacto muy estrecho con poco desgaste, estos sellos normalmente son un interno y otro externo.

#### CARACTERISTICAS BASICAS DE LAS BOMBAS CENTRIFUGAS.-

- 1.- Amplio rango de capacidad, presión y condiciones de operación.
- 2.- Se adapta facilmente a cualquier tipo de accionador; ya sea con motor eléctrico, banda o turbina de vapor.
- 3.- Requiere relativamente poco espacio.
- 4.- Es de bajo costo.
- 5.- Dificil de obtener flujos muy bajos a presiones elevadas o moderadas.
- 6.- Desarrollan turbulencias en todos los fluidos manejados.

#### BOMBAS CENTRIFUGAS TIPO TURBINA.- Características:

- 1.- Desarrolla cabezas elevadas a bajos flujos, está limitada a fluidos no abrasivos y limpios. Con propiedades físicas limitadas.
- 2.- Los HP. de la bomba centrifuga tipo turbina caen al aumentar el flujo, disminuyendo la cabeza por lo que esta bomba se sobrecarga a bajos flujos y debe operarse en un amplio rango de HP.

BOMBAS RECIPROCANTES.- Las bombas reciprocantes suministran energía al fluido por medio de un pistón. En este tipo de bombas el flujo del fluido es determinado por la geometría de la bomba.

El pistón es accionado por un motor que puede ser eléctrico o de vapor. Por cada paso del pistón, la bomba descarga una cantidad fija de fluido. La cantidad de fluido. La cantidad de fluido depende del volumen del cilindro y del número de



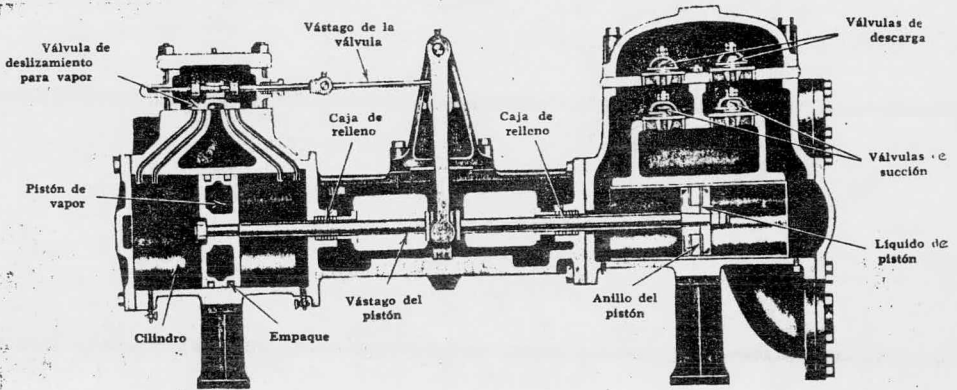


Figura (7.3) Bomba recíproca de pistón de doble acción



Figura (7.4) Corte longitudinal de los engranajes rotativos en bombas rotatorias

veces que se mueve el pistón a través del cilindro.

En las figuras (7.2) y (7.3) tenemos a bombas de pistón simple y de pistón doble respectivamente.

En una bomba recíproca mientras el pistón es retirado en el cilindro, la descarga del fluido se para.

En las bombas de pistón simple, el pistón está conectado a una manivela, la cual es accionada por un motor eléctrico. En las bombas de pistón doble accionadas con vapor una flecha común conecta el pistón de vapor y el pistón de líquido entra al cilindro a través de una válvula de seguridad, la cual se abre debido a la presión externa que actúa sobre el fluido. El flujo del fluido a través de las válvulas de entrada, sigue el movimiento del pistón hacia atrás, a través del cilindro en su recorrido de entrada. Cuando el pistón se mueve hacia adelante, la válvula de entrada se cierra y una segunda válvula se abre forzada por la descarga del líquido.

Las ventajas que ofrecen las bombas recíprocas son que pueden ser utilizadas para bombear fluidos viscosos, para obtener altas presiones.

Entre las desventajas son su tamaño y su alto costo de mantenimiento.

BOMBAS ROTATORIAS. - Se caracterizan por la forma como toman y descargan el fluido. Este tipo de bomba atrapa una cantidad de fluido y lo transporta hasta el punto de descarga. En la figura (7.4) tenemos una vista de los engranajes rotativos, aquí la parte no dentada de los engranes a la entrada de la bomba, proporciona un espacio para ser llenado con el líquido. Cuando el engrane gira, el líquido es atrapado entre el diente y el cuerpo de la bomba y luego es llevado al punto de descarga.

Existen varios tipos de bombas rotatorias como la de engranes, detornillo y de lóbulos.

BOMBAS EN SERIE. - En ocasiones es ventajoso y económico usar dos o más bombas centrífugas en serie con el objeto de alcanzar la presión de descarga deseada. La capacidad del sistema está limitada por la capacidad de la bomba más pequeña (si es que son diferentes) a la velocidad de operación. La presión de descarga total de la última bomba es la suma de las presiones individuales de descarga de cada bomba. En la figura (7.5)

tenemos la representación de 3 bombas en serie.

Para bombas idénticas la capacidad es la de una bomba y la presión de descarga, es la suma de las cabezas individuales de cada bomba, como si actuaran como una unidad simple.

Para 3 bombas idénticas la cabeza de descarga es el triple de la presión impuesta por una bomba al flujo de diseño.

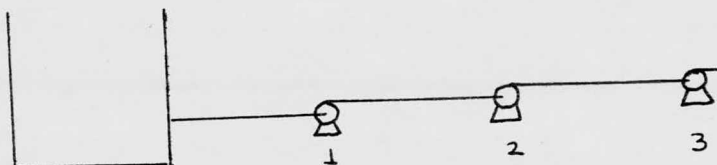


Figura (7.5)

Cuando se diseña para bombas en serie hay que observar que la carga de cada bomba; particularmente la de la última debe de ser de suficiente resistencia como para aguantar la presión total que se desarrolla.

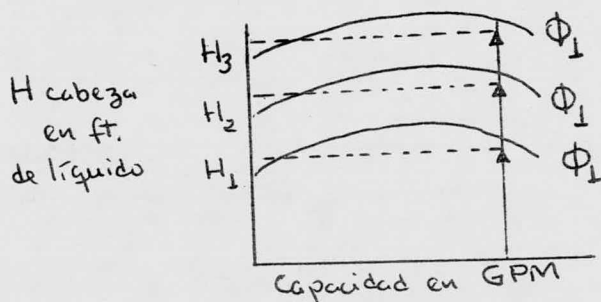


Figura (7.6)

La figura (7.6) muestra las curvas de operación de 3 bombas idénticas colocadas en serie.

**BOMBAS EN PARALELO.** - Las bombas en paralelo generalmente se usan para dividir la carga o el flujo de un sistema en unida

des pequeñas con el objeto de proporcionar capacidad adicional en un sistema para diferentes condiciones de proceso. Figura -- (7.7)

La figura (7.8) muestra las curvas de operación de 4 bombas idénticas acopladas en paralelo. Cada bomba maneja la cuarta parte del gasto total a las condiciones de cabeza del sistema. En el arreglo en paralelo de 4 ó más bombas de igual o di-

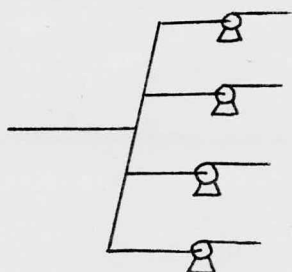


Figura (7.7)

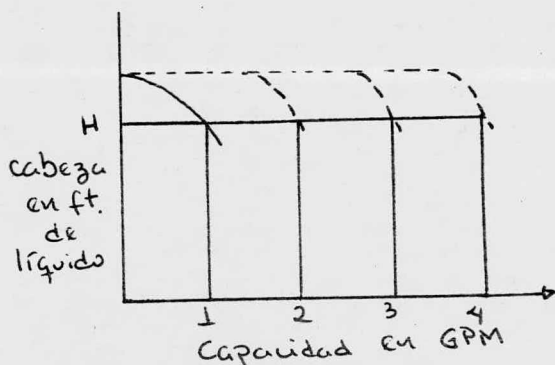


Figura (7.8)

ferentes curvas características las capacidades de las bombas se suman para obtener la capacidad total. Cada bomba no necesariamente tiene que llevar el mismo flujo, lo que se es que debe operar sobre su curva característica y proporcionar la cabeza requerida por el sistema en el punto común de unión en la descarga de todas las bombas la cabeza será la misma independientemente del flujo manejado.

METODO DE LAS CABEZAS PARA CALCULAR EL TRABAJO DE UNA BOMBA. -- Para aplicar este método el balance de energía se debe de efectuar en ft. de líquido y las presiones deben de estar como presiones manométricas. Aquí la presión atmosférica es cero.

Aplicaremos el método para el caso de la figura (7.9).

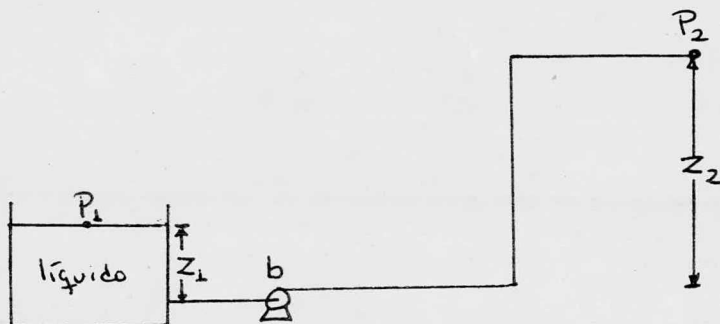


Figura (7.9)

Resolviendo el balance de energía para la figura (7.9)

$$\frac{P_1}{\rho} + \frac{\bar{u}_1^2}{2\alpha g c} + Z_1 \frac{g}{g c} + w'f = \frac{P_2}{\rho} + \frac{\bar{u}_2^2}{2\alpha g c} + Z_2 \frac{g}{g c} + \sum H_{fs} \quad (7.1)$$

El trabajo de una bomba  $w'f$  es conocido también como la cabeza total  $H_T$  y es igual a:

$$w'f = H_T = H_D - H_S \quad (7.2)$$

$H_D$  - es la cabeza total de descarga

$H_S$  - es la cabeza total a la <sup>succión</sup> solución de la bomba

en la ecuación (7.1)

$$H_D = \frac{P_2}{\rho} + \frac{\bar{u}_2^2}{2\alpha g c} + Z_2 \frac{g}{g c} + \sum H_{fs} \Big|_b \quad (7.3)$$

$$H_s = \frac{P_1}{\rho} + \frac{\bar{u}_1^2}{2\alpha g_c} + Z_1 \frac{g}{g_c} - \sum H_{fs} \Big|_1^b \quad (7.4)$$

En estas ecuaciones

$Z_2$  es la cabeza estática de descarga

$Z_1$  es la cabeza estática de succión

$P_2$  es la cabeza de presión a la descarga

$P_1$  es la cabeza de presión en la succión

$$\frac{\bar{u}_2^2}{2\alpha g_c}$$

es la cabeza de descarga de las velocidades

$$\sum H_{fs} \Big|_1^b$$

es la cabeza dinámica de succión

$$\sum H_{fs} \Big|_b^2$$

es la cabeza dinámica de descarga

CABEZA NETA DE SUCCION POSITIVA.- El NPSH en ft. de líquido sobre la presión de vapor del fluido a la temperatura de bombeo es la presión absoluta disponible en la brida de succión de la bomba.

Deducción del NPSH.- En la figura (7.10):

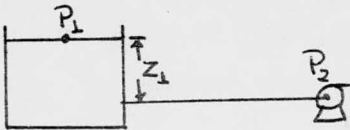


Figura (7.10)

donde tenemos un depósito que contiene un fluido que se va a --- bombear. El balance de energía para este caso sería:

$$\frac{P_1}{\rho} + \frac{\bar{u}_1^2}{2\alpha g_c} + Z_1 \frac{g}{g_c} + w'f = \frac{P_2}{\rho} + \frac{\bar{u}_2^2}{2\alpha g_c} + Z_2 \frac{g}{g_c} + \sum H_{fs} \Big|_1^2 \quad (7.5)$$

aquí  $Z_2 = 0$  porque se tomó como nivel de referencia

$$w'f = 0 \quad \text{y} \quad \bar{u}_1 = 0$$

la ecuación (7.5) se reduce a:

$$\frac{P_1}{\rho} + Z_1 \frac{g}{g_c} = \frac{P_2}{\rho} + \frac{\bar{u}_2^2}{2\alpha g_c} + \sum H_{fs} \Big|_1^2 \quad (7.6)$$

al cambiar de unidades y poner en ft. de líquido el término de densidad desaparece y tenemos

$$P_1 + Z_1 = P_2 + \frac{\bar{u}_2^2}{2\alpha g_c} + \sum H_{fs} \Big|_1^2 \quad (7.7)$$

en el punto de succión

$$P_2 = P_1 + Z_1 - \frac{\bar{u}_2^2}{2\alpha g_c} - \sum H_{fs} \Big|_1^2 \quad (7.8)$$

$$P_2 - P^\circ = (P_1 - P^\circ) + Z_1 - \frac{\bar{u}_2^2}{2\alpha g_c} - \sum H_{fs} \Big|_1^2 \quad (7.9)$$

$$P_2 - P^\circ = \text{NPSH}$$

$P^\circ$  es la presión de vapor del fluido que se maneja

$$\text{NPSH} = (P_1 - P^\circ) \frac{2.31}{\rho_R} + Z_1 - \frac{\bar{u}_2^2}{2\alpha g_c} - \sum H_{fs} \Big|_1^2 \quad (7.10)$$

El NPSH es una consideración muy importante al seleccionar una bomba que puede ser capaz de manejar líquidos en su pun

to de ebullición o cerca de él y líquidos de elevada presión de vapor.

BHP POTENCIA AL FRENO DE LA BOMBA.- Algunas veces es necesario conocer la potencia necesaria de la bomba para vencer las fricciones y se utiliza el BHP o la potencia al freno.

$$\text{BHP} = \frac{P_T}{\eta} \times 100 \quad (7.11)$$

la eficiencia mecánica  $\eta$  está generalmente entre 0.6 y 0.8 la potencia teórica está dada por:

$$P_T = \frac{L w'f}{550}$$

donde L es el gasto másico.

$w'f$  es el trabajo de flecha efectuado por la bomba.



## CAPITULO VIII

## BALANCES DE ENERGIA EN FLUJO DE FLUIDOS COMPRESIBLES

En el balance de energía de fluidos compresibles la solución es más complicada debido a que la densidad varía con respecto a la temperatura y a la presión. Por lo que la ecuación del balance de energía se debe de escribir en forma diferencial.

$$\Delta\left(\frac{\bar{u}^2}{2\alpha_{gc}}\right) + \Delta z \frac{g}{gc} + \sum H_{fs} + \int PdV = - w'f \quad (8.1)$$

cuando  $- w'f = 0$

$$\Delta\left(\frac{\bar{u}^2}{2\alpha_{gc}}\right) + \Delta z \frac{g}{gc} + \sum H_{fs} + \int PdV = 0 \quad (8.2)$$

$$\frac{\bar{u} du}{\alpha_{gc}} + dz \frac{g}{gc} + d\sum H_{fs} = - VdP \quad (8.3)$$

En el flujo de gases para resolver el balance de energía tenemos 2 casos:

- 1.- Gases a baja y media velocidad
- 2.- Gases a alta velocidad

$$\rho = f(P, T)$$

al modificarse la densidad se modifica el gasto y la velocidad. Resolviendo para los casos:

1.- FLUJO DE GASES A BAJA Y MEDIA VELOCIDAD. - Sabemos - que

$$G_u = u \rho$$

$G_u$  = masa velocidad de los gases

Si tenemos un flujo de gases entre dos puntos 1 y 2 debemos calcular la variación en la densidad por medio de:

$$\rho_1 = \frac{PM \text{ lb} / \text{ft}^3}{359} \times \frac{P_1}{14.7 \text{ lb.} / \text{in.}^2} \times \frac{T \text{ } ^\circ\text{F} + 460 \text{ } ^\circ\text{R}}{492 \text{ } ^\circ\text{R}}$$

$$\rho_2 = \frac{PM}{359} \times \frac{P_2}{14.7} \times \frac{T + 460}{492}$$

$$v_1 = \frac{1}{\rho_1} \quad \text{y} \quad v_2 = \frac{1}{\rho_2}$$

generalmente en problemas se toma  $\bar{v}$  que es el volúmen específico medio.

Escribiendo la ecuación (8.3) de la forma:

$$\frac{\bar{u}_2^2 - \bar{u}_1^2}{2 \alpha g_c} + (z_2 - z_1) \frac{g}{g_c} + \sum H_{fs} = \bar{v} (P_1 - P_2) \quad (8.4)$$

Las pérdidas por fricción están dadas por:

$$\sum H_{fs} = \frac{\bar{f}^2 L_e \bar{u}^2}{2 g_c D_e} \quad (8.5)$$

$\bar{f}$  = Fanning promedio entre los puntos 1 y 2 donde  $D_e$  es el diámetro equivalente y está dado por  $D_e = 4r_H$

$r_H$  es el radio hidráulico

$$r_H = \frac{\text{area de flujo}}{\text{perímetro mojado}} = \frac{\pi/4 D_i^2}{\pi D_i} \quad (8.6)$$

para ductos circulares

$$D_e = \frac{4 \pi/4 D_i^2}{\pi D_i} = D_i \quad (8.7)$$

para ductos rectangulares

$$D_e = \frac{4 l^2}{4 l} = l \quad (8.8)$$

$l$  lado del ducto rectangular

por lo que el balance de energía para flujo de gases a baja y media velocidad queda:

$$\bar{v} (P_1 - P_2) = (z_2 - z_1) \frac{g}{g_c} + \frac{\bar{u}_2^2 - \bar{u}_1^2}{2 \alpha g_c} + \frac{\bar{f}^2 L_e \bar{u}^2}{2 g_c D_e} \quad (8.9)$$

2.- FLUJO DE GASES A ALTA VELOCIDAD. - Tenemos la ecuación (8.3)

$$\frac{u du}{\alpha g_c} + dz \frac{g}{g_c} + d \sum H_{fs} = -v dP \quad (8.3)$$

$$G_u = u \rho = \frac{u}{v} \quad (8.10)$$

$$u = G_u v \quad (8.11)$$

diferenciando la ecuación (8.11)

$$du = G_u dv \quad (8.12)$$

si  $G_u = \text{constante}$

$$u du = u G_u dv \quad (8.13)$$

$$u du = G_u v G_u dv \quad (8.14)$$

$$u du = G_u^2 v dv \quad (8.15)$$

reemplazando (8.15) en (8.3)

$$\frac{G_u^2 v dv}{\alpha g_c} + dz + \frac{\bar{f} G_u^2 v^2 dL_e T}{2 g_c D} = -v dP \quad (8.16)$$

Consideraciones:

- 1.- La energía potencial en los gases no tienen ningún efecto industrialmente.

$$dz = 0$$

la ecuación (8.16) queda de la forma

$$-v dP = \frac{G_u^2 v dv}{\alpha g_c} + \frac{\bar{f} G_u^2 v^2 dL_e T}{2 g_c D} \quad (8.17)$$

dividiendo la ecuación (8.17) entre  $v^2$

$$-\frac{dP}{v} = \frac{G_u^2 dv}{\alpha g_c v} + \frac{\bar{f} G_u^2 dL_e T}{2 g_c D} \quad (8.18)$$

2.- Para gases ideales

$$PV = nR_o T$$

cuando  $n = 1$

$$PV = R_o T$$

$$V = \frac{R_o T}{P}$$

$$(8.19)$$

reemplazando (8.19) en (8.18)

$$-\frac{P dP}{R_o T} = \frac{G_u^2 dv}{\alpha g_c v} + \frac{\bar{f} G_u^2 dL_e T}{2 g_c D} \quad (8.20)$$

$$-\int_1^2 \frac{P dP}{R_o T} = \int_1^2 \frac{G_u^2}{\alpha g_c} \frac{dv}{v} + \int_1^2 \frac{\bar{f} G_u^2}{2 g_c D} dL_e T$$

$$-\frac{P_2^2 - P_1^2}{(2R_o T)_{prom}} = \frac{G_u^2}{\alpha g_c} \ln \frac{V_2}{V_1} + \frac{\bar{f} G_u^2 L_e T}{2 g_c D} \quad (8.21)$$

cambiando de signo la ecuación (8.21)

$$\frac{P_1^2 - P_2^2}{(2R_0T)_{\text{Prom.}}} = \frac{G_u^2}{\alpha g_c} \ln \frac{V_2}{V_1} + \frac{\bar{F} G_u^2 L_{eT}}{2 g_c D} \quad (8.22)$$

3.- Para cuando existe una variación de volúmen específico pequeña.

tenemos la ecuación (8.18)

$$-\frac{dP}{V} = \frac{G_u^2}{\alpha g_c} \frac{dV}{V} + \frac{\bar{F} G_u^2 dL_{eT}}{2 g_c D}$$

multiplicando por  $V$

$$-dP = \frac{G_u^2}{\alpha g_c} dV + \frac{\bar{F} G_u^2 dL_{eT}}{2 g_c D} V \quad (8.23)$$

integrando la ecuación (8.23)

$$P_1 - P_2 = \frac{G_u^2}{\alpha g_c} (V_2 - V_1) + \frac{\bar{F} G_u^2 L_{eT} \bar{V}}{2 g_c} \quad (8.24)$$

ECUACION DE WEYMOUTH. - Para deducir esta ecuación se considera flujo horizontal, que no existen efectos químicos, ni se efectúa ningún trabajo. Y tenemos flujo insortémico.

$$PV = ZR_0T \quad (1.6)$$

$$V = \frac{m}{\rho}$$

$$V = \frac{1}{\rho} \text{ volúmen específico}$$

reemplazando en (1.6)

$$\bar{V} = \frac{ZR_0T}{PM \bar{P}} \quad (8.25)$$

Escribimos la ecuación (8.3) sin considerar la energía -- potencial.

$$V dP + \frac{u du}{\alpha g_c} + \frac{\bar{F} \bar{u}^2 dL_{eT}}{2 g_c D} = 0 \quad (8.3)$$

reemplazando la ecuación (8.25) en la ecuación (8.3)

$$\frac{ZR_0T}{PM \bar{P}} dP + \frac{u du}{\alpha g_c} + \frac{\bar{F} \bar{u}^2 dL_{eT}}{2 g_c D} = 0 \quad (8.26)$$

multiplicando la ecuación (8.26) por  $\frac{2g_c}{\bar{u}^2}$

$$\frac{2g_c ZR_0T}{\bar{u}^2 PM \bar{P}} dP + \frac{2g_c}{\bar{u}^2} \frac{u du}{\alpha g_c} + \frac{\bar{F} \bar{u}^2 dL_{eT}}{2 g_c D \bar{u}^2} = 0$$

$$\frac{2gc Z R_0 T}{\bar{u}^2 P M P} dP + \frac{2du}{\bar{u} \alpha} + \frac{\bar{f} dL_{eT}}{D} = 0 \quad (8.27)$$

si el flujo es turbulento  $\alpha \rightarrow 1$

$\frac{2du}{\bar{u}}$  despreciable  
sabemos que la velocidad u

$$\bar{u} = \frac{\bar{V}G}{A} \quad (8.28)$$

$\bar{V}$  es el volúmen específico medio  
G es el flujo en masa por unidad de tiempo  
A es el area de flujo

Si elevamos al cuadrado la ecuación (8.28) y la reemplazamos en la ecuación (8.27)

$$\bar{u}^2 = \frac{\bar{V}^2 G^2}{A^2}$$

$$\frac{2gc Z R_0 T}{\frac{\bar{V}^2 G^2}{A^2} P M P} dP + \frac{\bar{f} dL_{eT}}{D} = 0 \quad (8.29)$$

reemplazando  $\bar{V}^2$  por su valor de la ecuación (8.25) en la ecuación (8.29)

$$\frac{2gc Z R_0 T}{\frac{Z^2 R_0^2 T^2 G^2}{(PM)^2 P^2 A^2} P M P} dP + \frac{\bar{f} dL_{eT}}{D} = 0$$

$$\frac{2gc A^2 P M P}{Z R_0 T G^2} dP + \frac{\bar{f} dL_{eT}}{D} = 0$$

$$\frac{2gc A^2 P M}{Z R_0 T G^2} P dP = - \frac{\bar{f} dL_{eT}}{D}$$

$$P dP = - \frac{\bar{f} dL_{eT}}{D} \frac{Z R_0 T G^2}{2gc A^2 P M}$$

integrando:

$$\int P dP = - \int \frac{\bar{f} dL e_T}{D} \frac{Z R_o T G^2}{2 g_c A^2 P M}$$

$$\frac{P_2^2 - P_1^2}{2} = - \frac{\bar{f} L e_T Z R_o T G^2}{2 g_c A^2 P M D}$$

$$P_2^2 - P_1^2 = - \frac{\bar{f} L e_T Z R_o T G^2}{g_c A^2 P M D} \quad (8.30)$$

Esta es la llamada ecuación de Weymouth que se aplica cuando la caída de presión  $\Delta P$  es del 10 al 50% del total ó cuando  $P_1 - P_2$  es  $\leq 0.5 P_1$ .

NUMERO DE MACH. - El número de Mach está definido como la relación de la velocidad de flujo de un gas entre la velocidad del sonido en este mismo gas a las condiciones de flujo.

$$N^{\circ} \text{ Ma} = \frac{u}{u_s} \quad (8.31)$$

VELOCIDAD DEL SONIDO. -  $u_s$  es la velocidad de una onda de compresión en movimiento adiabático sin fricción através de un medio material continuo.

$$u_s = \sqrt{\gamma g_c P \bar{V}} = \sqrt{\frac{\gamma g_c P}{\rho}} = \sqrt{\frac{\gamma g_c T R_o}{P M}} \quad (8.32)$$

donde  $\gamma = \frac{C_p}{C_v}$

$$P \bar{V} = R_o T$$

$$P = \frac{R_o}{P M} \rho T$$

$$R_o = 1545 \frac{\text{lb-ft}}{\text{lb-}^{\circ}\text{R}}$$

La velocidad del sonido y el número de Mach de un gas ideal para una trayectoria isentrópica sigue las siguientes ecuaciones

$$P \rho^{-\gamma} = \text{cte.} \quad (8.33)$$

$$TP^{-(1-\frac{1}{\gamma})} = \text{cte.} \quad (8.34)$$

Cuando el número de Mach es igual a 1, o sea que la velocidad del fluido es igual a la velocidad del sonido en el mismo fluido  $u = u_s$  se dice que se tiene la condición estérica y se denota por  $T^*$ ,  $\rho^*$ ,  $P^*$  y  $H^*$  a la temperatura, densidad, presión y entalpia.

El flujo se llama subsónico cuando el número de Mach es menor que 1. Flujo sónico cuando es igual o cercano a la unidad y flujo supersónico cuando es mayor que 1.

LA TEMPERATURA ESTACIONARIA .- La temperatura estacionaria de un fluido a alta velocidad está definida como la temperatura que el fluido alcanzaría si estuviera en reposo, adiabáticamente y sin trabajo mecánico.

La temperatura estacionaria está representada por la siguiente ecuación:

$$T_S = T + \frac{u^2}{2gc J C_p} \quad (8.35)$$

la entalpia estacionaria está definida como:

$$H_S = H + \frac{u^2}{2gc J} \quad (8.36)$$

J es el equivalente mecánico de calor y es igual a 778  $\frac{\text{lb-ft}}{\text{BTU}}$

TOBERAS.- Una tobera es un conducto apropiado para flujo isentrópico. En la figura (8.1) tenemos una tobera que consiste de una sección convergente y una sección divergente --- unidas por una garganta, donde la pared del conducto es paralela con el eje de la tobera.

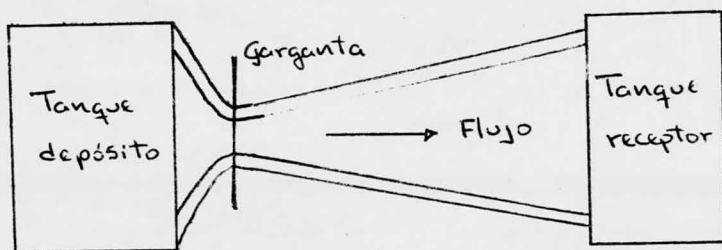


Figura (8.1)

Si un fluido compresible se expande a través de la tobera su velocidad aumenta y su volumen también aumenta cuando disminuye la presión. Si la expansión se efectúa en forma reversible y no existen pérdidas por fricción tenemos que

$$\int \bar{v} dP + \frac{\Delta u^2}{2gc} = 0$$

En toda tobera que opera bajo condiciones establecidas, la masa velocidad permanece constante y es posible determinar la sección del fluido como una función de la presión y de las propiedades conocidas del fluido.

FLUJO ISENTROPICO.- En este proceso el área transversal de el conducto cambia, aquí la temperatura estacionaria no cambia en el conducto debido a que el proceso es adiabático.

Los cambios de la temperatura y de la densidad de el gas a través de un flujo isentrópico están dadas por las ecuaciones (8.33), 7 (8.34). Las constantes son evaluadas a las condiciones del depósito de donde viene el gas. A éstas las llamamos condiciones del depósito y están denotadas por  $P_0$ ,  $\rho_0$ ,  $T_0$ , etc.

$$\frac{P}{\rho^{\gamma}} = \frac{P_0}{\rho_0^{\gamma}} \quad (8.37)-$$

$$\frac{T}{P^{1-1/\gamma}} = \frac{T_0}{P_0^{1-1/\gamma}} \quad (8.38)-$$

Las ecuaciones (8.37) y (8.38) se aplican a flujos subsónico y supersónico sin fricción.

La velocidad en la tobera la calculamos haciendo un balance de energía y escribiéndolo en forma diferencial.



$$\frac{dP}{\rho} + d\left(\frac{\alpha \bar{u}^2}{2gc}\right) + \frac{g}{gc} dz + dH_{fs} = 0$$

suponiendo  $dz = 0$  y  $\alpha = 1$

$$\frac{dP}{\rho} + d\left(\frac{\bar{u}^2}{2gc}\right) + dH_{fs} = 0$$

$$dH_{fs} = \frac{\bar{f} dL e_T \bar{u}^2}{2gc r_H}$$

$$\frac{dP}{\rho} + d\left(\frac{\bar{u}^2}{2gc}\right) + \frac{\bar{f} \bar{u}^2 dL e_T}{2gc r_H} = 0 \quad (8.39)$$

como no hay fricción el balance de energía queda:

$$\frac{dP}{\rho} = -d\left(\frac{\bar{u}^2}{2gc}\right) \quad (8.40)$$

eliminando  $\rho$  sustituyendo por su valor en la ecuación (8.37) e integrando,

$$\int_0^u d\left(\frac{u^2}{2gc}\right) = -\frac{P_0^{1/\gamma}}{\rho_0} \int_{P_0}^P \frac{dP}{P^{1/\gamma}}$$

integrando para valores de  $P = P_0$ ,  $\rho = \rho_0$  y  $u = 0$  hasta  $u$

$$\frac{u^2}{2gc} = \frac{\gamma P_0^{1/\gamma}}{(\gamma-1)\rho_0} (P_0^{1-1/\gamma} - P^{1-1/\gamma})$$

$$u^2 = \frac{2\gamma gc P_0}{(\gamma-1)\rho_0} \left[ 1 - \left(\frac{P}{P_0}\right)^{1-1/\gamma} \right] \quad (8.41)$$

de la ecuación (8.41) podemos encontrar una ecuación para el número de Mach al cuadrado.

De las ecuaciones (8.31) y (8.32)

$$u_s = \sqrt{\frac{\gamma gc P}{\rho}} = \sqrt{\frac{\gamma gc T R_0}{PM}} \quad (8.42)$$

$$N_{Ma}^2 = \frac{\rho u^2}{gc \gamma P} = \frac{u^2}{gc \gamma T R_0 / PM}$$

sustituyendo el valor de  $u^2$  de la ecuación (8.41) en la ecuación (8.42)

$$N_{Ma}^2 = \frac{2}{\gamma - 1} \frac{P_0}{P} \frac{\rho}{\rho_0} \left[ 1 - \left( \frac{P}{P_0} \right)^{1-1/\gamma} \right]$$

$$N_{Ma}^2 = \frac{2}{\gamma - 1} \left[ \left( \frac{P_0}{P} \right)^{1-1/\gamma} - 1 \right] \quad (8.43)$$

despejando  $\frac{P}{P_0}$  de la ecuación (8.43)

$$\frac{P}{P_0} = \frac{1}{\left( 1 + \frac{\gamma-1}{2} N_{Ma}^2 \right)^{1/(1-1/\gamma)}} \quad (8.44)$$

De la ecuación (8.44) podemos encontrar la relación crítica de presión al reemplazar  $P^*$  por  $P$  y 1 por el  $N_{Ma}$

$$\gamma_c = \frac{P^*}{P_0} = \left( \frac{2}{\gamma+1} \right)^{1/(1-1/\gamma)} \quad (8.45)$$

El gasto másico  $G_u$  es encontrado al reemplazar los valores de  $\rho$  y  $u$  de las ecuaciones (8.37) y (8.41)

$$G_u = u\rho = \sqrt{\frac{2\gamma g_c P_0}{(\gamma-1)\rho_0} \left[ 1 - \left( \frac{P}{P_0} \right)^{1-1/\gamma} \right]} \rho_0 \left( \frac{P}{P_0} \right)^{1/\gamma}$$

$$G_u = \sqrt{\frac{2\gamma g_c P_0 \rho_0}{\gamma-1}} \left( \frac{P}{P_0} \right)^{1/\gamma} \sqrt{1 - \left( \frac{P}{P_0} \right)^{1-1/\gamma}} \quad (8.46)$$

FLUJO ADIABATICO EN CONDUCTOS CON FRICCIÓN.- El flujo a través de un conducto de sección constante es adiabático cuando la transferencia de calor a través de la pared de la tubería es cero. Figura (8.2).

En este caso la velocidad del gas depende de la longitud y el diámetro del conducto y de la presión de descarga. En tuberías largas y con una presión de salida baja la velocidad-

del gas puede alcanzar la velocidad sónica. No es posible para un gas tras pasar la barrera del sonido en una tubería. Si el gas entra a la tubería a un número de Mach mayor de 1 o sea a un flujo supersónico, el número de Mach disminuirá hasta 1 pero no será menor de 1 y si se intenta alargando la longitud de la tubería y manteniendo la presión de descarga constante para forzar a que el gas cambie de flujo supersónico a subsónico o viceversa, el flujo másico del gas disminuirá para prevenir -- dicho cambio.

En este tipo de flujo el efecto de la fricción está dado por el parámetro de fricción  $\frac{fL}{YH}$

La temperatura y la viscosidad del gas cambian el igual que el número de Reynolds no es constante y para flujo supersónico el factor de fricción puede tomarse como la mitad del factor de fricción en flujo subsónico para el mismo número de Reynolds.

Las ecuaciones para calcular los cambios en presión, -- temperatura y densidad son:

$$\frac{P_a}{P_b} = \frac{N_{Ma,b}}{N_{Ma,a}} \sqrt{\frac{1 + \frac{\gamma-1}{2} N_{Ma,b}^2}{1 + \frac{\gamma-1}{2} N_{Ma,a}^2}} \quad (8.47)$$

$$\frac{T_a}{T_b} = \frac{1 + \frac{\gamma-1}{2} N_{Ma,b}^2}{1 + \frac{\gamma-1}{2} N_{Ma,a}^2} \quad (8.48)$$

$$\frac{\rho_a}{\rho_b} = \frac{N_{Ma,b}}{N_{Ma,a}} \sqrt{\frac{1 + \frac{\gamma-1}{2} N_{Ma,a}^2}{1 + \frac{\gamma-1}{2} N_{Ma,b}^2}} \quad (8.49)$$

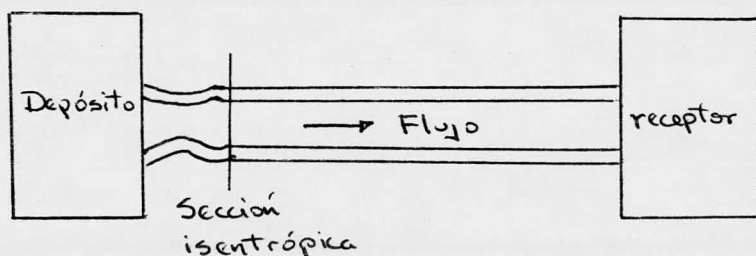


Figura (8.2)

Ecuación para calcular la máxima longitud del conducto

$$\frac{\bar{f} L_{max.}}{\gamma_H} = \frac{1}{\gamma} \left[ \frac{1}{N_{Ma,a}^2} - 1 - \frac{\gamma+1}{2} \ln 2 \frac{(1 + \frac{\gamma-1}{2} N_{Ma,a}^2)}{N_{Ma,a}^2 (\gamma+1)} \right] \quad (8.50)$$

para calcular la velocidad másica del gas

$$G_u = \rho N_{Ma} \sqrt{\frac{g_c \gamma T R_o}{PM}} \quad (8.51)$$

$$G_u = N_{Ma} \sqrt{\rho g_c \gamma P} \quad (8.52)$$

FLUJO ISOTERMICO CON FRICCIÓN. - Para mantener constante la temperatura en flujo compresible a través de un conducto de sección constante es necesario una transformación de calor a través de la pared del conducto. Para pequeños números de Mach la presión en flujo isotérmico es casi la misma que para flujo --- adiabático para las mismas condiciones de entrada.

La velocidad máxima accesible en flujo isotérmico es:

$$a' = \sqrt{\frac{g_c T R_o}{P M}} = \sqrt{\frac{g_c P}{\rho}} \quad (8.53)$$

$$a' = a^2 / \gamma \quad (8.54)$$

$$a = \sqrt{\gamma a'} \quad (8.55)$$

Para aire donde  $\sqrt{\gamma} = \sqrt{1.4} = 1.2$  la velocidad del sonido es aproximadamente 20 por ciento más grande que  $a$ . El número de Mach para flujo isotérmico está dado por el parámetro

$$N_i = \frac{u}{a'} \quad (8.56)$$

Un proceso isotérmico no puede pasar las condiciones límites en donde  $N_i = 1.0$ . Si el flujo es subsónico debe de seguir así. La velocidad que se obtiene en flujo isotérmico es menor que en la de flujo adiabático debido a que  $a$  es menor que  $a$ .

La ecuación básica para flujo isotérmico la obtenemos introduciendo la masa velocidad  $G_u$  en la ecuación (8.39) que es la ecuación del balance de energía para fluidos compresibles.

$$\frac{dP}{\rho} + d\left(\frac{u^2}{2g_c}\right) + \frac{\bar{f} u^2 dL_T}{2g_c r_H} = 0 \quad (8.39)$$

multiplicando la ecuación (8.39) por  $\rho^2$

$$\rho dP + \frac{\rho^2 u du}{g_c} + \frac{\rho^2 u^2 \bar{f} dL}{2g_c r_H} = 0 \quad (8.57)$$

$$G_u = u \rho$$

$$u du = \frac{G_u}{\rho^3} d\rho$$

$$\rho = \frac{P M}{R_o T}$$

reemplazando estas ecuaciones en la ecuación (8.57)

$$\frac{P M}{R_o T} P dP + \frac{G_u^2 d\rho}{g_c \rho} + \frac{G_u^2 \bar{f} dL}{2g_c r_H} = 0 \quad (8.58)$$

$$\frac{PM}{2R_0T} (P_a^2 - P_b^2) + \frac{G_u^2}{gc} \ln \frac{P_a}{P_b} = \frac{G_u^2 f \Delta L}{2gc r_H} \quad (8.59)$$

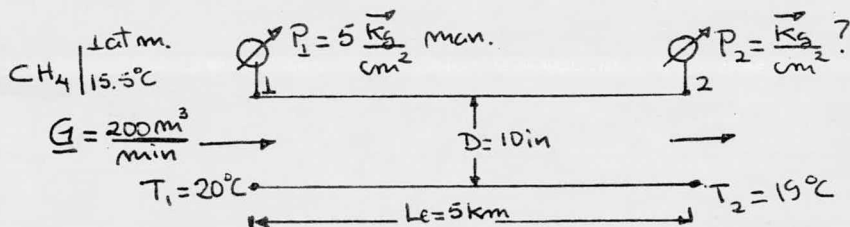
$\frac{P_a}{P_b}$  puede ser usada en lugar de  $\frac{P_a}{P_b}$

La ecuación (8.59) se usa para un gas que influye através de un conducto de sección constante en un proceso isotérmico.

**PROBLEMA.**— Determinar la pérdida de presión en una tubería que maneja gas natural a una temperatura de 20 °C. El ducto es horizontal. El diámetro es de 10 pulgadas cédula 40 de acero comercial y la longitud del conducto es de 5 km. El gas entra a la tubería a una presión de 5 Kg./cm<sup>2</sup>. manométricas, con un gasto volumétrico de 200 m<sup>3</sup>/minuto medidos a 15.5 °C y 1 atmósfera de presión. La temperatura de salida del gas es de 19 °C.

#### SOLUCION

##### 1.0 Traducción



2.0 Discusión.— En este problema se desconocen algunas propiedades del gas en el punto 2; por lo que se procede a calcularlas por medio de una presión que se supone para el punto 2.

2.1 Caída de presión para flujo de gases a alta velocidad. Para calcular la pérdida de presión se aplica la ecuación (8.24) que resulta de efectuar el balance de energía para gases que fluyen a alta velocidad.

$$P_1 - P_2 = \frac{G_u^2}{gc} (V_2 - V_1) + \frac{f' G_u^2 L_e T \bar{V}}{2gc D_i} \quad (8.24)$$

De esta ecuación desconocemos  $P_2$ ,  $G_u$ ,  $V_1$ ,  $V_2$ ,  $\bar{f}'$  y  $\bar{V}$ .

A partir de los datos del problema se puede calcular  $G_u$  y  $V_1$ . El resto se determinará a partir de suposiciones de valores de  $P_2^*$ .

2.2 Determinar la densidad a las condiciones de flujo.

$$\rho_{CH_4} = \frac{PM_{CH_4}}{22.4 \text{ lit}} \times \frac{P_1 + P_{atm.}}{1.0332 \text{ Kg/cm}^2} \times \frac{T^\circ K + 0^\circ C}{T^\circ K + T_1^\circ C} = \frac{\text{Kg}}{\text{m}^3}$$

2.3 Determinar  $V_1$

$$V_1 = \frac{1}{\rho} = \frac{\text{m}^3}{\text{Kg}}$$

2.4 Determinar el gasto volumétrico  $\underline{G}$  a las condiciones de flujo.

$$\underline{G} = 200 \frac{\text{m}^3}{\text{min}} \times \frac{P_{atm.}}{P_1} \times \frac{T^\circ K + T_1^\circ C}{T^\circ K + T^\circ C} = \frac{\text{m}^3}{\text{min}}$$

2.5 Determinar el area de la sección transversal  $S$ .  
Diámetro interior  $D_i$

$$S = \frac{\pi}{4} D_i^2 = \text{m}^2$$

2.6 Determinar la velocidad  $\bar{u}$

$$\bar{u} = \frac{\underline{G}}{S} = \frac{\text{m}}{\text{seg.}}$$

2.7 Determinar la masa velocidad  $G_u$

$$G_u = \bar{u} \rho = \frac{\text{Kg.}}{\text{seg.} \cdot \text{m}^2}$$

2.8 Suponer un valor de  $P_2^*$

Se supone un valor para la presión en el punto 2 - basándose en  $P_1$ . En  $\text{Kg. /cm}^2$ .

2.9 Determinar  $\rho_2$

Con el valor supuesto de  $P_2^*$  se determina la densidad en el punto 2.

$$\rho_{\text{CH}_4} \Big|_2^2 = \frac{PM_{\text{CH}_4}}{22.4 \text{ lit}} \times \frac{P_2^* + P_{\text{atm.}}}{10332 \text{ Kg/cm}^2} \times \frac{T_1^\circ\text{K} + 0^\circ\text{C}}{T_1^\circ\text{K} + T_2^\circ\text{C}} = \frac{\text{Kg}}{\text{m}^3}$$

2.10 Determinar  $V_2$

$$V_2 = \frac{1}{\rho_2} = \frac{\text{m}^3}{\text{Kg.}}$$

2.11 Determinar  $\bar{V}$

$$\bar{V} = \frac{V_1 + V_2}{2} = \frac{\text{m}^3}{\text{Kg.}}$$

2.12 Determinar la viscosidad a las condiciones 1 y 2-

$$\mu_{\text{CH}_4} \Big|_{20^\circ\text{C}}^1 = \text{Kg/m-sec}$$

$$\mu_{\text{CH}_4} \Big|_{19^\circ\text{C}}^2 = \text{Kg/m-sec}$$

2.13 Determinar el Número para las condiciones en 1 y-

2.

$$N_{\text{Re}1} = \frac{D_i G_{u1}}{\mu_1} \quad \text{se lee } \alpha \text{ de la figura (5.2)}$$

$$N_{\text{Re}2} = \frac{D_i G_{u2}}{\mu_2} \quad \text{se lee } \alpha \text{ de la figura (5.2)}$$

2.14 Determinar la rugosidad relativa y el factor de fricción  $E/D$  para  $D=10$  in. se lee de la figura (5.4)

$f'$  se lee de la figura (4.5)

Se leen dos valores  $f'_1$  y  $f'_2$  y se toma el valor medio

dio

$$\bar{f}' = \frac{f'_1 + f'_2}{2}$$

2.15 Reemplazar los valores obtenidos en la ecuación-- (8.24) de tal forma que:

$$P_1 - P_2^* = A$$



$$\frac{G_u^2}{\text{kgc}} (V_2 - V_1) = B$$

$$\frac{f' G_u^2 L_T \bar{V}}{2 g_c D_i} = C$$

donde  $A = B + C$

Si se cumple esta igualdad la  $P_2^*$  es la correcta.

### 2.16 Caída de Presión

$$\Delta P = P_1 - P_2 = \quad \text{Kg. /cm}^2$$

### 3.0 Cálculos

3.1 Cálculo de la densidad  $\rho_1$  a las condiciones de -- flujo.

$$\rho_{\text{CH}_4} \Big|_1 = \frac{16 \text{ g}}{22.4 \text{ lit}} \times \frac{6.0332 \text{ Kg/cm}^2}{1.0332 \text{ Kg/cm}^2} \times \frac{273^\circ \text{K}}{293^\circ \text{K}} = 3.88 \frac{\text{Kg}}{\text{m}^3}$$

3.2 Cálculo de  $V_1$  volúmen específico en el punto 1

$$V_1 = \frac{1}{3.88 \text{ Kg/m}^3} = 0.257 \frac{\text{m}^3}{\text{Kg}}$$

3.3 Cálculo del gasto volumétrico  $\underline{G}$  a las condiciones de flujo.

$$\underline{G} = \frac{200 \text{ m}^3}{\text{min.}} \times \frac{1.0332 \text{ Kg/cm}^2}{6.0332 \text{ Kg/cm}^2} \times \frac{(273+20)^\circ \text{K}}{(273+15.5)^\circ \text{K}} = 34.78 \frac{\text{m}^3}{\text{min}}$$

### 3.4 Cálculo del area de la sección transversal $S$

Para un diámetro nominal de 10 pulgadas se tiene un diámetro-- interno de (10.02 in.) o 25.45 cm. para cédula 40 de acero comercial (tabla 5.2).  $D_i = 0.2545 \text{ m}$ .

$$S = 0.785 (0.2545 \text{ m})^2 = 0.0508 \text{ m}^2 = (0.546 \text{ ft}^2)$$

3.5 Cálculo de la velocidad  $\bar{u}$

$$\bar{u} = \frac{34.78 \text{ m}^3/\text{min} \times \frac{1 \text{ min}}{60 \text{ seg}}}{0.0508 \text{ m}^2} = 11.41 \frac{\text{m}}{\text{seg}} = (37.42 \frac{\text{ft}}{\text{seg}})$$

3.6 cálculo de la masa velocidad  $G_u$

$$G_u = 11.41 \frac{\text{m}}{\text{seg}} \times 3.88 \frac{\text{Kg}}{\text{m}^3} = 44.27 \frac{\text{Kg}}{\text{m}^2 \cdot \text{seg}}$$

3.7 Se supone un valor para  $P_2^*$

$$P_2^* = 4.24 \frac{\text{Kg}}{\text{cm}}$$

3.8 cálculo de  $\rho_2$  a partir del valor de  $P_2^*$

$$\rho_{\text{CH}_4} \Big|_2 = \frac{16 \text{ gr}}{22.4 \text{ lit}} \times \frac{(4.24 + 1.0332) \text{ Kg/cm}^2}{1.0332 \text{ Kg/cm}^2} \times \frac{273^\circ \text{K}}{292^\circ \text{K}} = 3.408 \frac{\text{Kg}}{\text{m}^3}$$

3.9 Cálculo de  $v_2$

$$v_2 = \frac{1}{3.408 \text{ Kg/m}^3} = 0.293 \frac{\text{m}^3}{\text{Kg}}$$

3.10 cálculo de  $\bar{v}$

$$\bar{v} = \frac{0.257 + 0.293}{2} = 0.275 \frac{\text{m}^3}{\text{Kg}}$$

3.11 Determinación de la viscosidad

$$\mu_{\text{CH}_4} \Big|_{20^\circ \text{C}}^1 = 0.012 \text{ cP} \times \frac{1 \text{ cP}}{100 \text{ cP}} \times \frac{1 \text{ Kg}}{1000 \text{ gr}} \times \frac{100 \text{ cm}}{1 \text{ m}}$$

$$\mu_{\text{CH}_4} \Big|_{20^\circ \text{C}}^1 = 0.12 \times 10^{-4} \frac{\text{Kg}}{\text{m} \cdot \text{seg}}$$

$$\mu_{\text{CH}_4} \Big|_{19^\circ \text{C}}^2 = 0.0115 \text{ cP} = 0.115 \times 10^{-4} \frac{\text{Kg}}{\text{m} \cdot \text{seg}}$$

3.12 Cálculo del Número de Reynolds en 1 y 2

$$N_{Re \perp} = \frac{0.2545 \text{ m} \times 44.27 \text{ Kg/m}^2 \cdot \text{seg}}{0.12 \times 10^{-4} \text{ Kg/m} \cdot \text{seg}} = 9.38 \times 10^5$$

$\alpha$  de la figura (5.2) es 0.96

$$N_{Re_2} = \frac{0.2545 \text{ m} \times 44.27 \text{ Kg./m}^2\text{-seg}}{0.115 \times 10^{-4} \text{ Kg./m-seg}} = 9.79 \times 10^5$$

$\alpha$  es 0.96.

3.13 Determinación de la regosidad relativa y del factor de fricción medio.

$\epsilon/D$  para  $D = 10$  in. es 0.00018 para acero comercial en la figura (5.4)

$$f'_1 = 0.014 \quad \text{de la figura (4.5)}$$

$$f'_2 = 0.0142 \quad \text{de la figura (4.5)}$$

$$\bar{f}' = \frac{0.014 + 0.0142}{2} = 0.0141$$

3.14 Cálculo de A, B y C.

Con los valores obtenidos reemplazados en el inciso ---  
(2.15) de tal forma que  $A = B + C$

$$A = 5 \overrightarrow{\text{Kg.}} / \text{cm}^2 - 4.24 \overrightarrow{\text{Kg.}} / \text{cm}^2 = 0.76 \overrightarrow{\text{Kg.}} / \text{cm}^2$$

$$B = \frac{(44.27 \text{ Kg./m}^2\text{-seg})^2 (0.293 - 0.257) \text{ m}^3/\text{kg}}{0.96 \times 9.78 \text{ Kg.-m} / \text{Kg.-seg}^2} = 7.514 \overrightarrow{\text{Kg.}} / \text{m}^2$$

$$B = 0.0007514 \overrightarrow{\text{Kg.}} / \text{cm}^2$$

$$C = \frac{0.0141 (44.27 \text{ Kg./m}^2\text{-seg})^2 \times 5000 \text{ m} \times 0.275 \text{ m}^3/\text{kg}}{2 \times 9.78 \text{ Kg.-m} / \text{Kg.-seg}^2 \times 0.2545 \text{ m}}$$

$$C = 7632 \overrightarrow{\text{Kg.}} / \text{m}^2 = 0.7632 \overrightarrow{\text{Kg.}} / \text{cm}^2$$

$$0.76 \overrightarrow{\text{Kg.}} / \text{cm}^2 \cong 0.0007514 \overrightarrow{\text{Kg.}} / \text{cm}^2 + 0.7632 \overrightarrow{\text{Kg.}} / \text{cm}^2$$

$$0.76 \text{ Kg.} / \text{cm}^2 \cong 0.764 \overrightarrow{\text{Kg.}} / \text{cm}^2$$

$$P_2 \text{ es } 4.24 \overrightarrow{\text{Kg.}} / \text{cm}^2$$

3.15 Caída de presión

$$\Delta P = 5 \overrightarrow{\text{Kg.}} / \text{cm}^2 - 4.24 \overrightarrow{\text{Kg.}} / \text{cm}^2 = 0.76 \overrightarrow{\text{Kg.}} / \text{cm}^2$$

Tabla de resultados y valores supuestos.- A continua---

ción se colocan los valores supuestos y los resultados obtenidos hasta llegar a la  $P_2$  verdadera.

$P_2^* \frac{Kg}{cm^2}$	$\rho_2 \text{ Kg/m}^3$	$v_2 \text{ m}^3 / \text{Kg}$	$\bar{v} \text{ m}^3 / \text{Kg}$	A	B	C
4	3.253	0.307	0.282	1	0.00104	0.7827
4.1	3.317	0.301	0.279	0.9	0.000918	0.7743
4.2	3.382	0.295	0.276	0.8	0.0007932	0.766
4.22	3.395	0.294	0.275	0.78	0.000772	0.7632
4.24	3.408	0.293	0.275	0.76	0.000751	0.7632

## CAPITULO IX

## FLUJO EN DOS FASES

LIQUIDO - GAS.- El flujo concurrente de líquido y gas - en tuberías ha sido objeto de numerosos estudios e investigaciones.

TIPOS DE TRAYECTORIAS DE FLUJO PARA TUBERIAS HORIZONTALES.- En el flujo en dos fases líquido - gas existen los siguientes tipos de trayectorias de flujo:

- ✓ 1.- Flujo de burbujas.- En el cual las burbujas del gas están dispersadas entre el líquido o están formando espuma. Este tipo de flujo ocurre para velocidades superficiales de 1 a 5 ft. /seg. del líquido y para velocidades superficiales del gas de 1 a 10 ft. /seg.

Las velocidades superficiales están desde por:

$$u_L = \frac{L}{S} \quad (9.1)$$

$$u_G = \frac{G}{S} \quad (9.2)$$

$u_L$  es la velocidad superficial en la fase líquida, en ft./seg.

$u_G$  es la velocidad superficial en la fase gaseosa en ft./seg.

$L$  es el gasto volumétrico en la fase líquida en ft<sup>3</sup> /seg.

$G$  es el gasto volumétrico en la fase gaseosa en ft<sup>3</sup> / seg.

$S$  es el area transversal de la tubería en ft.<sup>2</sup>

- ✓ 2.- Flujo tapón.- En el cual se internan cilindros de vapor y de líquido que se mueven a lo largo de la parte superior del tubo. Este tipo de flujo ocurre para velocidades superficiales de líquido menores de 2ft./seg. y para velocidades superficiales de gas menores de 3ft./seg.
- ✓ 3.- Flujo ondular.- En este tipo de flujo el gas está fluyendo en la parte superior del tubo y el líquido cluye formando olas en la parte inferior del tubo. - Esto ocurre para velocidades superficiales de líquido menores de 1ft./seg., y para velocidades superficiales de gas de 15ft./seg.
- 4.- Flujo en capas.- En el cual el líquido y el gas fluyen formando capas. Este tipo de flujo ocurre para velocidades superficiales de líquido menores de 0.5-ft./seg. y para gas desde 2ft./seg. hasta 10ft./seg.
- 5.- Flujo de burbujas de gas fluyendo através del líquido.- Esto ocurre para altas velocidades superficiales de líquido y de gas.
- ✓ 6.- Flujo anular.- En este tipo de flujo el líquido fluye formando continuos anillos en la pared del tubo y el gas fluye por el centro del tubo. Este tipo de flujo ocurre para velocidades superficiales de gas de 20ft./seg.
- ✓ 7.- Flujo disperso.- En el cual el gas y el líquido fluyen dispersados. Esto ocurre para velocidades superficiales de gas mayores de 200ft./seg.

CAIDA DE PRESION EN FLUJO EN DOS FASES.- Para el cálculo de la caída de presión en flujo en dos fases debido a la fricción en tuberías horizontales existen varias correlaciones. Describiremos dos de los principales.

CORRELACION DE LOCKHART Y MARTINELLI.- Se basa en que la caída de presión en las dos fases es igual a la caída de presión simple para cada fase multiplicado por un factor que es una función de las caídas de presión simples de las dos fases.

$$\left(\frac{\Delta P}{\Delta L}\right)_{TP} = Y_L \left(\frac{\Delta P}{\Delta L}\right)_L \quad (9.3)$$

$$\left(\frac{\Delta P}{\Delta L}\right)_{TP} = Y_G \left(\frac{\Delta P}{\Delta L}\right)_G \quad (9.4)$$

donde  $Y_L = F_1 (X)$  (9.5)

$$Y_G = F_2 (X) \quad (9.6)$$

$$X = \sqrt{\frac{(\Delta P / \Delta L)_L}{(\Delta P / \Delta L)_G}} \quad (9.7)$$

$$Y_G = X^2 Y_L \quad (9.8)$$

$(\Delta P / \Delta L)_L$  y  $(\Delta P / \Delta L)_G$  que son los gradientes de presión para la fase líquida y gaseosa respectivamente los calculamos por medio de la ecuación de Fanning, suponiendo que cada fase está fluyendo sola en el tubo. Aquí se usan las velocidades superficiales.

$$\Delta P = \frac{2f' L u^2}{D \text{ gc}} \quad \Delta P \text{ en } \frac{\text{lb}}{\text{ft}^2}$$

En las ecuaciones anteriores Y y X son parámetros para la caída de presión en el flujo líquido - gas y  $F_1$  y  $F_2$  son funciones que están graficadas en la figura (9.1). Las curvas están separadas para cada régimen de flujo. Así tenemos en la figura (9.1) que el criterio de transición para flujo viscoso y flujo turbulento no está claramente definido. Para criterios de diseño se toma como un flujo de una sola fase donde el flujo viscoso está considerado para  $N_{Re} \leq 2000$  y para el flujo turbulento para  $N_{Re} > 2000$ . Donde el número de Reynolds está basado en la velocidad superficial.

A continuación describiremos otro método para evaluar la caída de presión.

LA CORRELACION DE BAKER. - La caída de presión para un sistema de tubería horizontal y vertical es la suma de la ---

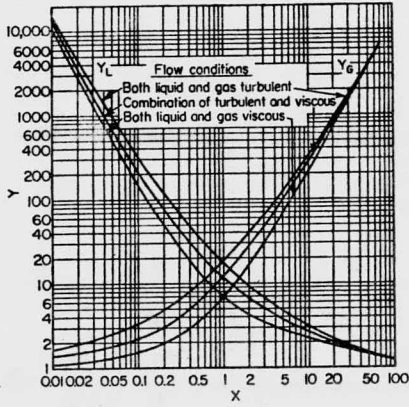


Figura (9.1)

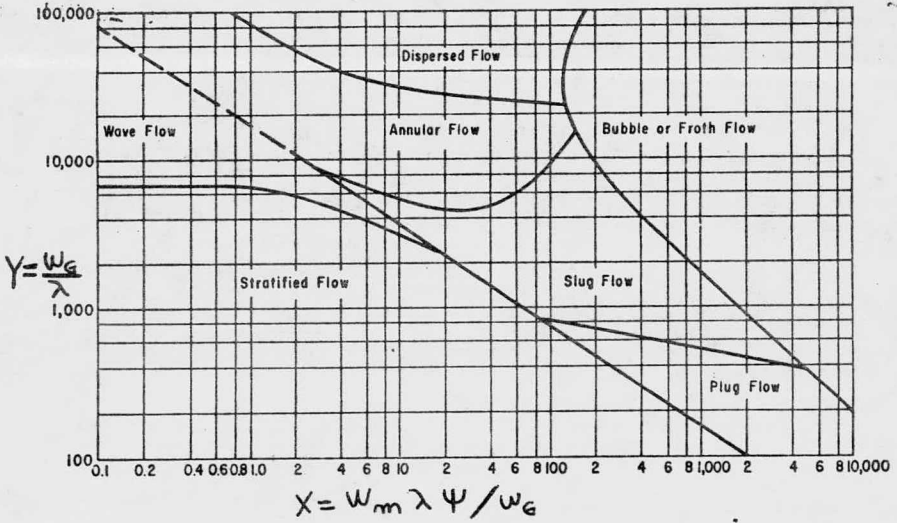


Figura (9.2)



caída de presión horizontal más la caída adicional atribuida a cada elevación vertical prescindiendo de las elevaciones iniciales y finales de la tubería.

Esta correlación se basa en la siguiente ecuación:

$$\Delta P_{TPH} = \Delta P_{PT} \text{ (tubería horizontal)} + \frac{n h F_e \rho_L}{144} \quad (9.9)$$

$\Delta P_{TPH}$  es la caída de presión total debida a la fricción esta dada en  $\frac{\text{psi}}{\text{ft. de longitud}}$

$\Delta P_{PT}$  es la caída de presión de la porción horizontal en  $\frac{\text{psi}}{\text{ft.}}$

$n$  es el número de elevaciones verticales en la tubería.

$h$  altura promedio de todas las elevaciones verticales en ft.

$F_e$  factor de elevación.

$\rho_L$  densidad del líquido.

Metodología.-

Primero se debe de determinar el tipo más probable de flujo en dos fases utilizando la figura (9.2).

1.- Se debe de calcular el factor X

$$X = \frac{W_m \lambda \psi}{W_G} \quad (9.10)$$

donde  $W_m$

$$W_m = \frac{L}{0.785 D^2} \quad (9.11)$$

$L$  es la velocidad de flujo de líquido en lb/hr.

$$W_G = \frac{G}{0.785 D^2} \quad (9.12)$$

$G$  es la velocidad de flujo de gas en lb/hr.

$$\lambda = \sqrt{\frac{\rho_G}{0.075} \frac{\rho_L}{62.3}} \quad (9.13)$$

$$\psi = \frac{73}{\sigma} \sqrt[3]{\mu_L \left(\frac{62.3}{\rho_L}\right)^2} \quad (9.14)$$

$\sigma$  es la tensión superficial en dinas/cm.

$\mu_L$  es la viscosidad del líquido en centipoises.

2.- Se calcula el factor  $Y$

$$Y = \frac{W_G}{\lambda} \quad (9.15)$$

3.- En la figura (9.2) se lee la intersección de la --- abscisa y de la ordenada para identificar el probable tipo de flujo.

4.- Se calcula por separado las caídas de presión del líquido y del gas.

Por medio de la siguiente ecuación se puede calcular  $\Delta P_L$  o'  $\Delta P_G$

$$\Delta P_L \text{ ó } \Delta P_G = \frac{3.36 f L e G^2 (10^{-6})}{d^5 \rho} \quad (9.16)$$

$G$  es la velocidad de flujo en  $\frac{\text{lb.}}{\text{hr.}}$

5.- Se calcula el factor

$$X = \sqrt{\frac{\Delta P_L}{\Delta P_G}} \quad (9.17)$$

6.- Se calcula  $\phi_{GTT}$  para tipos de flujo seleccionados de la figura (9.2). En la tabla (9.1) se tienen las ecuaciones de  $\phi$ .

Tipo de flujo	Ecuación para $\Phi$
Burbuja	$= 14.2 X^{0.75} / W_m^{0.1}$
Tapón	$= 27.315 X^{0.855} / W_m^{0.17}$
En capas	$= 15400 X / W_m^{0.8}$
Burbujas de gas através del líquido	$= 1190 X^{0.185} / W_m^{0.5}$
Anular	$= (4.8 - 0.3125 D) X^{0.343 - 0.021 D}$

aquí  $D$  vale 10 para tuberías de  
diámetro mayores de 10 in

Tabla (9.1)

7.- Se calcula la caída de presión en dos fases para la porción horizontal por medio de la siguiente ecuación para todos los tipos de flujo excepto para flujo en ondas y disperso.

$$\Delta P_{TP} = \Delta P_G \Phi^2 \text{ GTT} \quad \text{en } \frac{\text{psi}}{\text{ft.}} \quad (9.18)$$

para flujo en ondas se utiliza

$$\Delta P_{TP} = f_{TP} (G_u g)^2 / 193.2 d \rho_G \quad \text{en } \frac{\text{psi}}{\text{ft.}} \quad (9.19)$$

$$f_{TP} = 0.0043 (W_m / M_L / G / M_G)^{0.214} \quad (9.20)$$

donde  $f_{TP}$  es el factor de fricción para flujo ondular

$G_u$  es la velocidad másica en lb./seg.ft.<sup>2</sup>  
para el flujo disperso este método no se puede aplicar.

- 8.- Calcular la caída de presión que incluye a las secciones vertical y horizontal por unidad de longitud

$$\Delta P_{TPH} = \Delta P_{TP} L + m h F_e \frac{Q}{L} / 144 \quad (9.21)$$

$F_e$  es el factor de elevación usando la velocidad -- superficial del gas  $u_G$

$$F_e = 0.00967 W_m^{0.5} / u_G^{0.7} \quad (9.22)$$

La ecuación (9.22) se utiliza para velocidades superficiales del gas mayores de 10ft./seg. Para velocidades superficiales menores de 10ft./seg. se utiliza la figura (9.3).

Para flujo disperso se sugiere utilizar la correlación de Martinelli y multiplicar el resultado por 2.

BIBLIOGRAFIA

- Brown G. colaboradores  
 "Unit Operations"  
 John Wiley & Sons, inc. New York 1950
- Coulson and Richardson  
 "Chemical Engineering" Vol. I  
 Mc Graw-Hill Book Co. 1955
- Crane Co.  
 " Flow of Fluids"  
 Technical paper No. 410
- Foust Alan S. y colaboradores  
 "Principles of Unit Operations"  
 John Wiley & Sons, inc. New York
- Himmelblau David M.  
 "Principios y Cálculos básicos de la Ingeniería Química"  
 Editorial CECSA
- Knudsen y Katz  
 "Fluid Dynamics and Heat Transfer"  
 Mc Graw-Hill Book Co. 1958.
- Ludwig Ernest  
 "Applied process design for Chemical and Petrochemical Plants"  
 Vol. 1 Gulf Publishing Co.
- Mc Cabe and Smith  
 "Unit Operations of Chemical Engineering"  
 Mc Graw-Hill Book Co.
- Ocón y Tojo  
 "Problemas de Ingeniería Química"  
 Tomo I Editorial Aguilar
- Perry John H.  
 "Chemical Engineer's Handbook"  
 Fourth Ed. Mc Graw-Hill Book Co.
- Schmidt and List  
 "Material and Energy Balances"  
 Prentice-Hall Englewood cliffs N.J. 1962

Streeter

"Handbook of Fluid Dynamics"

Mc Graw-Hill Book Co. 1961

Walker, Lewis, Mc Adams and Gilliland

"Principles of Chemical Engineering"

Mc Graw-Hill Book Co.

Whitwell John C. and Richard K. Toner

"Conservation of Mass and Energy"

Mc Graw-Hill Book Co. 1969.

Centrifugal Pumps

"Chemical Engineering July 4 1966 "

Flow of Fluids

"Chemical Engineering June 13 1960"

ESTA TESIS SE IMPRIMIO POR COMPUTADORA EN LOS  
TALLERES DE TESIS DE GUADALAJARA, S. A.  
FRENTE A LA FACULTAD DE MEDICINA  
MEDICINA # 25. CIUDAD UNIVERSITARIA.

TELEFONOS: 550-72-57

548-62-15

550-87-43

548-62-29

548-33-44

548-87-46